

UDK 62-523.8 (043.2)

UNIVERZITET U BANJALUCI  
ELEKTROTEHNI^KI FAKULTET  
BANJA LUKA

BRANKO D. BLANU[A

ALGORITAM ZA MINIMIZACIJU SNAGE  
GUBITAKA VEKTORSKI REGULISANOG  
ASINHRONOG POGONA ZASNOVAN NA  
PRIMJENI FAZI LOGIKE

MAGISTARSKI RAD

BANJALUKA, decembar 2001.

# SADR@AJ

<b>1. UVOD .....</b>	<b>1</b>
1.1 UVODNA RAZMATRANJA .....	1
1.2 KRATAK SADR@AJ I ORGANIZACIJA RADA .....	2
<b>2. PREGLED DOSADA [NJIH RJE[ENJA MINIMIZACIJE GUBITAKA U ELEKTRI^NIM POGONIMA SA ASINHRONIM MOTOROM .....</b>	<b>4</b>
2.1 PREGLED ALGORITAMA ZA MINIMIZACIJU SNAGE GUBITAKA U ELEKTRI^NIM POGONIMA SA ASINHRONIM MOTOROM.....	4
2.2 TRENDYOVI RAZVOJA POGONSKIH PRETVARA^A U CILJU SMANJENJA ENERGETSKIH GUBITAKA .....	14
<b>3. ENERGETSKI BILANS U POGONIMA SA ASINHRONIM MOTOROM .....</b>	<b>18</b>
3.1 GUBICI ELEKTRI^NE ENERGIJE U ASINHRONOM MOTORU .....	18
3.2 ENERGETSKI GUBICI U POGONSKOM PRETVARA^U.....	21
3.3 MODELOVANJE GUBITAKA U POGONU SA ASINHRONIM MOTOROM.....	23
<b>4. SINTEZA REGULATORA ZA POVE]ANJE STEPENA KORISNOG DEJSTVA VEKTORSKI REGULISANOG POGONA SA ASINHRONIM MOTOROM.....</b>	<b>29</b>
4.1 GRADIJENTNA METODA I KRITERIJUMSKA FUNKCIJA.....	29
4.2 OSNOVNE POSTAVKE FAZI LOGIKE .....	32
4.3 PROGRAMSKI ALATI ZA SINTEZU FAZI SISTEMA .....	39
4.4 PROJEKTOVANJE OPTIMIZACIONOG REGULATORA ZA MINIMIZACIJU SNAGE GUBITAKA VEKTORSKI REGULISANOG ASINHRONOG POGONA.....	43
4.5 TESTIRANJE I VERIFIKACIJA ALGORITMA ZA MINIMZACIJU GUBITAKA ELEKTRI^NIH POGONA SA ASINHRONIM MOTOROM.....	52
4.6 PORE\ENJE KARAKTERISTIKA PREDLO@ENOGL ALGORITMA SA SLI^NIM PUBLIKOVANIM ALGORITMIMA ZA MINIMIZACIJU GUBITAKA.....	58
<b>5. PRAKTI^NA REALIZACIJA .....</b>	<b>63</b>
5.1 OPIS HARDVERA.....	63
5.1.1 Upravlja-ki modul .....	64
5.1.2 Pogonski pretvara~.....	67
5.2 OPIS PROGRAMSKE REALIZACIJE .....	70

<i>ZAKLJU^AK</i> .....	82
<i>PRILOG</i> .....	84
<i>LITERATURA</i> .....	85

## 1. UVOD

### 1.1 UVODNA RAZMATRANJA

Predmet nau~ne rasprave u okviru rada je razvoj algoritma za smanjenje snage gubitaka vektorski upravljanog elektri~nog pogona sa asinhronim motorom primjenom fazi logike.

U poslijednjih 10 godina primjena elektri~nih pogona sve je ve}a, od jednostavnih pogona kao {to su pumpe, kompresori, ventilatori, pa do servopogona visokih performansi koje karakteri{e brzi odziv, preciznost i {irok opseg regulisane brzine. Zbog svojih jednostavnih regulacionih karakteristika dugo vremena motor jednosmjerne struje (*DC* motor) bio je nezamjenjiv u servopogonima. Relativno slo`eni algoritmi upravljanja i potreba izra~unavanja obrtnih transformacija nemogu}avali su primjenu asinhronih elektri~nih pogona u servoaplikacijama. Me|utim, u drugoj polovini 80-tih i 90-im godinama primjenom digitalnih sistema kao {to su mikroprocesori i mikrokontroleri, te energetskih pretvara-a na bazi impulsno-{irinske modulacije (*PWM*) omogu}ena je upotreba asinhronih motora (*AM*) i u servosistemima.

[ta vi{e, zbog svoje jednostavnosti, ni`e cijene i ve}e robustnosti u odnosu na *DC* motore, asinhroni motori zamjenjuju *DC* motore ~ak i u onim primjenama gdje su doskora bili nezamjenjivi.

Upotreba asinhronih pogona u servoaplikacijama bazirana je na konceptu vektorskog upravljanja (*VU*). Premda su mnogi upravlja-ki algoritmi u konceptu *VU* rje{eni i {iroko prihva}eni, postoje mnogi nerje{eni ili, na nezadovoljavaju}i na-in rje{eni problemi. To su: nesavr{enost energetskog pretvara-a (postojanje mrtvog vremena, pad napona na prekida~ima, promjena napona u me|ukolu, ka{njenje zbog procesiranja strujne informacije itd.), osjetljivost kvaliteta odziva na varijacije parametara motora, posebno sa promjenom temperature i u~estanosti, te problemi vezani sa mehani~kim podsistemom pogona kao {to su nesavr{enost prenosnog mehanizma, valovitost momenta, podr`ane oscilacije, mehani~ka rezonancija itd. Tako|e, zna~ajna istra`ivanja u oblasti elektri~nih pogona postoje i na rje{avanju slijede}ih problema:

- smanjenje zagrijavanja, energetskih gubitaka, buke i elektromagnetskih smetnji;
- smanjenje broja senzora koji se koriste u pogonu, potrebnog broja kablova i veza ~ime bi se zna~ajno smanjila cijena pogona;
- nove topologije konvertora (regulacija elektromagnetne interferencije *EMI*, omogu}enje regenerativnog ko~enja, smanjenje veli~ine komponenata u jednosmjernom me|ukolu itd.);
- integrisanje energetskog pretvara-a i motora u jedinstveno ku}i{te.

Zna~ajno i vrlo aktuelno podru~je istra`ivanja jeste i smanjenje gubitaka snage u elektri~nim pogonima. Ako se uzme u obzir da u industrijski razvijenim zemljama elektri~ni pogoni tro{e vi{e od 2/3 ukupno proizvedene energije [9], ova problematika vi{e dobija na zna~aju.

Elektri~ni gubici se grubo mogu podijeliti na gubitke u bakru, gubitke u gvo~ju i gubitke u pretvara~u. Me|utim, funkcija gubitaka u op{tem slu~aju je nelinearna i nestacionarna funkcija. Optimalna vrijednost zavisi od vi{e faktora: u~estanost, zagrijavanje, oblik ~ljebova, te dodatnih gubitaka koji se ne mogu predvidjeti i unaprijed izra~unati. Sve su ovo razlozi zbog kojih bi optimizacioni model trebao biti nelinearan i adaptivan. U realizaciji ovakvih algoritama poslijednjih godina sve vi{e se koriste fazi kontroleri (*FC*), neuronske mre`e (*NN*) ili njihov spoj u vidu neuro-fazi kontrolera. Njihova prednost u ovakvim aplikacijama ogleda se u njihovoj nelinearnoj strukturi i adaptivnom karakteru.

Danas najra{ireniji, a samim tim i najzna~ajniji su pogoni sa asinhronim motorom. Dominantan koncept u upravljanju asinhronim pogonima je vektorsko upravljanje. Ovakav na~in upravljanja omogu}uje raspregnuto upravljanje momentom i fluksom. U okviru koncepta vektorskog upravljanja razvijaju se i razli~ite metode za smanjenje elektri~nih gubitaka u pogonu.

Za odre|eno mehani~ko optere}enje i uz uslov da elektromagnetski moment obezbje|uje ravnote`u sa mehani~kim podsistom pogona postoji ta~no odre|ena vrijednost fluksa u ma{ini za koji se dobijaju najmanji energetski gubici u pogonu. Ovaj zaklju~ak mo`e biti interesantan za primjenu u optimizacionim metodama.

## 1.2 KRATAK SADR@AJ I ORGANIZACIJA RADA

Predmet rasprave u ovom radu je realizacija algoritma za minimizaciju gubitaka na bazi strategije pretra~ivanja i kori{tenjem fazi kontrolera. Potrebni elektromagnetski moment dobija se proizvodom struje i fluksa, odnosno proizvodom odgovaraju}ih struja u *d-q* domenu. Isti elektromagnetski moment mo`e se dobiti na osnovu proizvoljno mnogo parova ( $\mathbf{Y}, \mathbf{I}$ ), odnosno ( $i_d, i_q$ ). Me|utim, pored ograni~enja u pogledu maksimalno dozvoljene struje i magnetizacione karakteristike ma{ine, mo`e se uvesti i dopunsko ograni~enje pri izboru para ( $i_d, i_q$ ). To ograni~enje mo`e biti uslov za uslov za minimizaciju gubitaka snage, {to je slu~aj u ovom radu. Snaga gubitaka ( $P_g$ ) je paraboli~na funkcija fluksa i za odre|ene uslove rada pogona ona ima jedinstveni minimum. To zna~i da je potrebno u odgovaraju}im trenucima ra~unati funkciju snage gubitaka i tako definisati potrebiti fluks u ma{ini i aktivnu komponentu struje statora da funkcija:

$$P_g = P_g(\Psi) \quad (1.1)$$

ima minimalnu vrijednost.

Ciljevi i zadaci koji su postavljeni u okviru ovog rada su slijede}i:

1. Realizacija takvog algoritma koji }e na bazi izra~unatih gubitaka u pogonu i rezerve elektromagnetskog momenta obezbjediti brzu i glatku konvergenciju fluksa prema vrijednosti za koju se imaju najmanji gubici;
2. Kroz razradu algoritma provjeriti na~in na koji se mogu smanjiti nedostatci algoritama pretra~ivanja kao {to su talasnost momenta, spora konvergencija i osjetljivost pogona na promjenu optere}enja;
3. Na osnovu teoretske razrade algoritma izvr{iti i njegovo modeliranje u programskom paketu Matlab-Simulink;

4. Ovaj model uključiti u model cijelog pogona i izvršiti analizu njegovog rada putem simulacije;
5. Rezultate dobijene ovim metodom, uporediti sa rezultatima dobijenim drugim metodama;
6. Rezultate dobijene simulacijom provjeriti eksperimentalno, mjeranjem ulazne snage jednosmernog motora.

Rad se sastoji iz 5 poglavlja.

Prvo poglavlje je uvodno. U ovom poglavlju je ukazano na značaj oblasti koja predstavlja predmet istraživanja. Takođe, dati su kratak sadržaj i organizacija rada.

Kategorizacija pristupa koji se koriste u rješavanju problema smanjenja gubitaka u pogonima sa *AM* i osnove pojedinih metoda koje su objavljene u literaturi opisani su u drugom poglavlju. Navedene su i neke prednosti i nedostaci ove metode, te problematika interesantna za istraživanje.

U trećem poglavlju dat je energetski bilans pogona sa asinhronim motorom i ukazano je na faktore koji bitno utiču na gubitke. Izvršen je i proračun gubitaka u motoru i pretvaraču. Budući da se u ovom radu snaga gubitaka određuje kao razlika ulazne snage mjerene u međukolu i snage elektromehaničke konverzije izvršeno je modeliranje mjerjenja ulazne snage u programskom paketu Matlab -Simulink.

U četvrtom poglavlju prikazana je struktura algoritma za minimizaciju i njegov simulacioni model. Izvršena je analiza pojedinih elemenata algoritma i njihova funkcija u optimizacionom modelu. Metod optimizacije baziran je na upotrebi fazi logike tako da je opisan postupak obuke fazi kontrolera. Model optimizatora je uključen u model pogona i izvršena je simulacija njegovog rada i analiza dobijenih rezultata.

Rezultati eksperimentalnih mjerena opisani su u petom poglavlju. Dat je kratak opis upotrebljenog hardvera i softvera u toku eksperimenta. Upoređeni su rezultati mjerena snage gubitaka sa onima koji su dobijeni simulacijom.

U zaključku su sumirani postignuti rezultati. Upoređeno je ono što se postavilo kao cilj rada sa onim što je dobijeno kao rezultat simulacija i mjerena.

Na kraju rada dat je i pregled referentne literature i prilog sa parametrima motora za koga su vršene simulacije i eksperimentalna mjerena.

## 2. PREGLED DOSADA[NJIH RJE[ENJA MINIMIZACIJE GUBITAKA U ELEKTRI^NIM POGONIMA SA ASINHRONIM MOTOROM

### 2.1 PREGLED ALGORITAMA ZA MINIMIZACIJU SNAGE GUBITAKA U ELEKTRI^NIM POGONIMA SA ASINHRONIM MOTOROM

Asinhroni motor danas je naj-e{}e kori{ten elektri~ni motor i veliki potro{a-elektri~ne energije. Sve je vi{e aplikacija u kojima se zahtijeva rad ovog motora sa promjenjivom brzinom. Za ovakav rad motora potreban je konvertor koji omogu}uje promjenu u~estanosti komutacija i amplitude statorskog napona. Standardno se u asinhronim pogonima sa brzinskom regulacijom fluks u ma{ini odr`ava na nominalnoj vrijednosti. U ovakvim primjenama pogona sa asinhronim motorom optere}enje je ~esto manje od nominalnog, pa odr`avanje fluksa na nominalnoj vrijednosti nije optimalno sa stanovi{ta snage gubitaka. Smanjenjem fluksa smanji}e se gubici u gvo`ju, ali }e se pove}ati gubici u bakru, zbog pove}anja aktivne komponente struje. Cilj je da suma ovih gubitaka bude minimalna. Na osnovu prethodno re~enog, zadatak metode za optimizaciju mogao bi se formulisati na sljede{i na-in [12]: " Za datu izlaznu snagu (elektromagnetski momenat i brzinu) odrediti sinhronu u~estanost i amplitudu statorskog napona za koje }e se imati minimalna ulazna snaga."

Metode za minimizaciju gubitaka mogu se podijeliti u 3 kategorije:

- metode koje se zasnivaju na pode{avanju promjenjive u pogonu (*Simple state control*);
- metode zasnovane na modelu motora (*Model based control*);
- algoritmi pretra`ivanja (*Search control*).

Prva strategija zasniva se na kontroli jedne od promjenjivih stanja u pogonu, koja se mjeri u pogonu, ili izvodi iz mjereneh veli~ina. Ta veli~ina koristi se za upravljanje motorom u povratnoj sprezi, a u cilju rada motora prema zadatoj referenci.

U drugoj strategiji modeliraju se gubici u motoru i pogonu, a zatim se ovaj model koristi da bi se odredio optimalan rad pogona.

U tre}oj strategiji razvija se algoritam po kojem se u realnom vremenu mjeri i minimizira ulazna snaga, ili snaga gubitaka, tra`enjem optimalne vrijednosti fluksa.

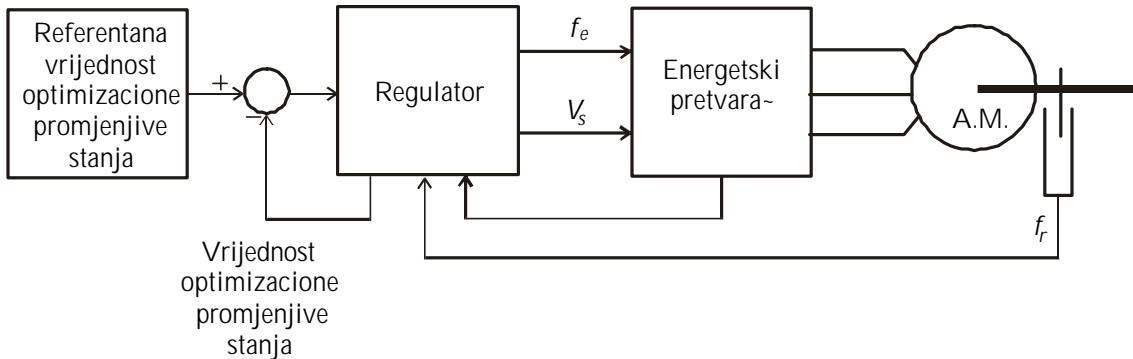
#### Metode koje se zasnivaju na kontroli promjenjive stanja u pogonu

Kod ovih metoda optimizacije jedna promjenjiva stanja se mjeri, ili izvodi iz mjereneh veli~ina i koristi u petlji povratne sprege sa ciljem dobijanja referentne vrijednosti. Kao optimizacione promjenjive stanja naj-e{}e se koriste frekvencija klizanja, ili faktor snage (sl. 2.1 i sl. 2.2). Koja promjenjiva se koristi prvenstveno zavisi o tome koje veli~ine u pogonu se mijere. Da bi se regulisala frekvencija klizanja mora se mjeriti brzina obrtanja rotora motora, a da bi se regulisao faktor snage potrebno je poznavati prividnu i aktivnu ulaznu snagu, ili fazni stav izme|u statorske

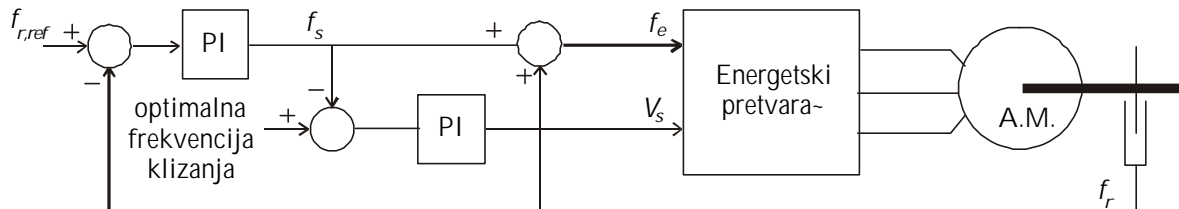
## 2. Pregled dosada{njih rje{enja minimizacije gubitaka u elektri~nim pogonima sa asinhronim motorom

struje i statorskog napona. Ove dve veli~ine se koriste kao optimizacione promjenjive iz dva razloga:

- asinhroni motor ima skoro najbolji stepen korisnog dejstva kada se one odr`avaju na nominalnim vrijednostima,
- kriva zavisnosti stepena korisnog dejstva od statorske u~estanosti i kriva stepena korisnog dejstva u zavisnosti od faktora snage motora zaravnjene su u blizini optimuma, tako da malo odstupanje veli~ina koje se kontroli{u, daje malo odstupanje stepena korisnog dejstva u odnosu na optimum.



**Slika 2.1. Blok dijagram modela za pove}anje stepena korisnog dejstva koji koristi optimizacionu promjenjivu stanja.**



**Slika 2.2. Jedan primjer u kome se frekvencija klizanja koristi kao optimizaciona promjenjiva u modelu za optimizaciju stepena korisnog dejstva.**

U svom radu Kim, Soul i Park [21] modifikovali su standardnu upravlja~ku strukturu koja radi sa nominalnim fluksom dodavanjem upravlja~kih elemenata. Jedan upravlja~ki element vr{i korekciju izlazne veli~ine iz brzinskog regulatora u cilju dobijanja optimalne vrijednosti u~estanosti klizanja, a drugi koriguje vrijednost statorske struje, tako da se pri smanjenom fluksu ostvari zadati momenat (sl. 2.2). Da bi se ostvarilo optimalno upravljanje s obzirom na efikasnost motora, u~estanost klizanja treba da ima konstantnu optimalnu vrijednost pri malim optere}enjima. Sa porastom optere}enja, njena vrijednost treba da se poklapa sa onom, koja bi se imala pri upravljanju motorom tako da se fluks odr`ava na nominalnoj vrijednosti. Odgovaraju}e upravlja~ke akcije se ostvaruju na osnovu *look-up* tabele, dobijenih na osnovu modela gubitaka u motoru i memorisanih u memoriji mikroprocesora. Iz ove tabele vr{i se zadavanje referentne vrijednosti u~estanosti klizanja. Ovom metodom se minimiziraju osnovni gubici u motoru, a za njenu implementaciju potrebno je

## 2. Pregled dosada{njih rje{enja minimizacije gubitaka u elektri~nim pogonima sa asinhronim motorom

poznavanje parametara motora. Eksperimentalno je dobijeno da se primjenom ove metode minimizacije snage gubitaka dobija stabilan rad i zadovoljavaju}i dinami~ki odziv pogona. Ako se frekvencija klizanja koristi kao referenca, obavezno je imati informaciju o brzini motora, bilo da se ona mjeri, ili estimira.

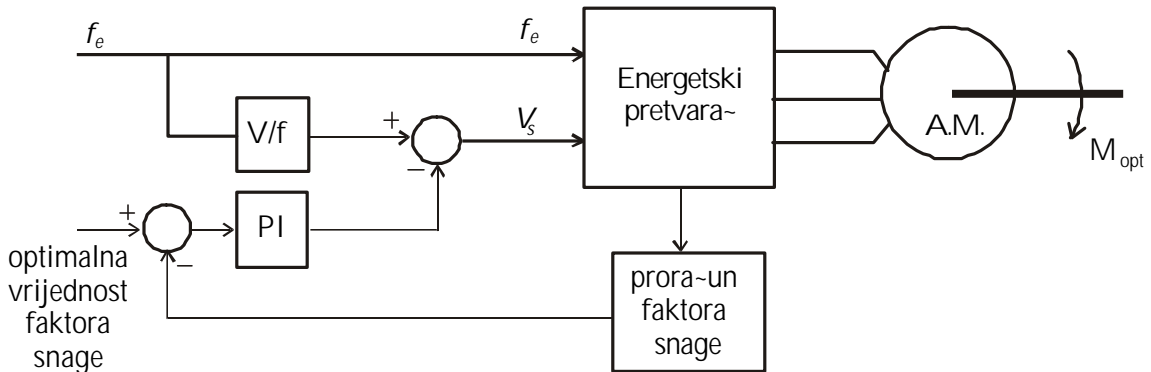
Nedostatak ovog pristupa u pove}anju stepena korisnog dejstava ogleda se u tome {to je optimalna vrijednost u~estanosti klizanja osjetljiva na parametre motora, posebno na promjene rotorske otpornosti uslijed zagrijavanja i promjene parametara motora uslijed zasi}enja magnetnog kola.

Ako se faktor snage, izra~unat kao odnos aktivne i prividne ulazne snage, koristi kao referentna veli~ina osnovni problem je na~in na koji je zadati. Upravlja~ka struktura za pove}anje stepena korisnog dejstva na osnovu primjene faktora snage kao optimizacione promjenjive prikazana je na sl. 2.3. Najjednostavnije rje{enje je da ona bude konstantna vrijednost. Me|utim, u ovom slu~aju nije osiguran optimalan rad pogona u cijelom radnom podru~ju, a mogu se javiti i problemi vezani za stabilnost sistema.

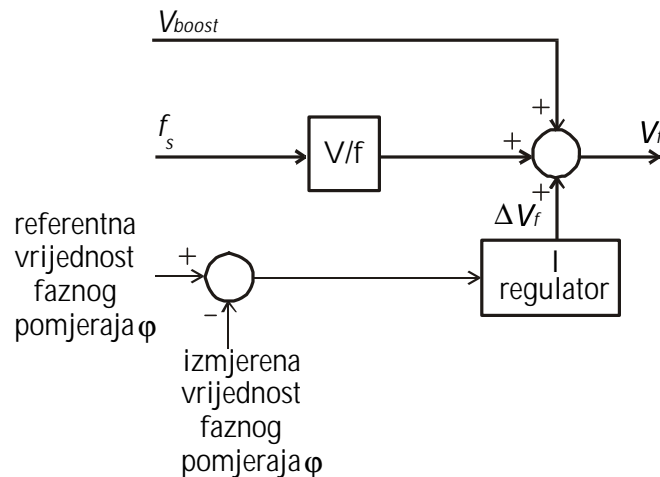
Andersen i Pedersen [22] (sl. 2.4) odre|uju referencu u zavisnosti od statorske frekvencije. Prema ovoj metodi optimalna radna ta~ka se nalazi regulacijom faznog pomjeraja izme|u statorskog napona i struje, koji se odre|uje na osnovu mjerena struje u jednosmjernom me|ukolu. Jedan kontroler integralnog tipa (sl. 2.4) proizvodi dodatni napon pri postoje}oj osnovnoj  $V/f$  regulaciji, da bi se prilagodio fazni pomjeraj u kvazi-stacionarnom stanju rada.  $K_{V/f}$  je nominalni odnos napona i frekvencije,  $V_{boost}$  je dodatni napon pri pove}anju optere}enja,  $f_s$  je statorska u~estanost,  $\Delta V_f$  je napon iz kontrolera integralnog tipa, a  $V_f$  je statorski napon koji se dobija kao rezultat optimizacije. Optimalna vrijednost faznog pomjeraja  $j$  je funkcija ulazne statorske u~estanosti:

$$j = c + bf_s + af_s^2, \quad (2.1)$$

gdje su  $a$ ,  $b$  i  $c$  koeficijenti za konkretni pogon u slu~aju paraboli~ne promjene faktora snage.



**Slika 2.3. Jeden primjer u kome se faktor snage koristi kao optimizaciona promjenjiva u cilju pove}anja stepena korisnog dejstva motora.**



**Slika 2.4. Model optimizacije faktora korisnog dejstva regulacijom faktora snage motora.**

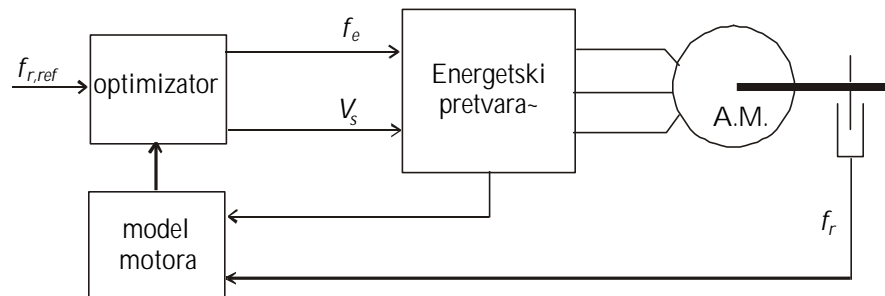
Pored paraboli~ne postoje i konstantna i linearna promjena faktora snage.

Katanaka i Kuwahara [23] referentnu vrijednost faktora snage odre|uju kao funkciju statorske frekvencije i statorskog napona. Neki autori referencu odre|uju u zavisnosti od detektovanog optere}enja pogona. Kod ovih metoda nije potrebno mjeriti brzinu, ali je potrebno poznavati prividnu i aktivnu ulaznu snagu, ili fazni stav izme|u statorskog napona i struje.

Prednost metoda za pove}anje stepena korisnog dejstva koji koriste faktor snage kao optimizacionu promjenjivu ogleda se u njihovoj jednostavnosti, a tako|e, nije potreban ni senzor brzine. Nedostatak je {to referentna vrijednost faktora snage vrijedi samo za motor za koji je odre|ena. Efikasnost optimizacije osjetljiva je na varijacije parametara motora.

### Metode zasnovane na modelu motora

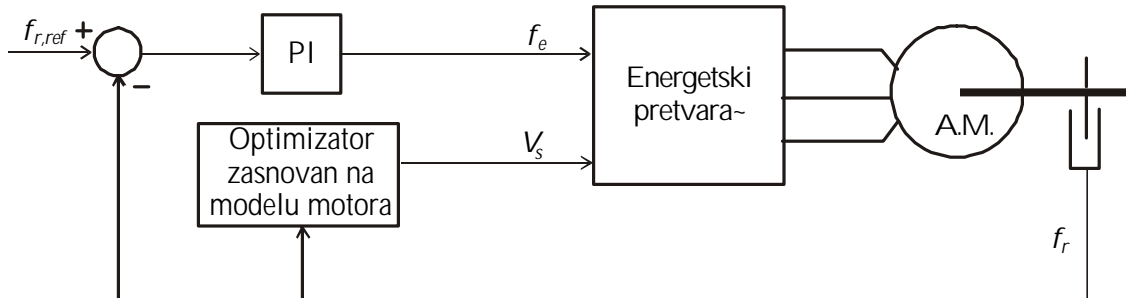
Karakteristika ove strategije je da se gubici u motoru i konvertoru modeliraju, a zatim se ovaj model koristi da bi se odredio optimalan rad pogona (sl. 2.5). Svi parametri u modelu moraju biti poznati.



**Slika 2.5. Blok dijagram upravlja~ke strukture za pove}anje stepena korisnog dejstva zasnovane na modelu motora.**

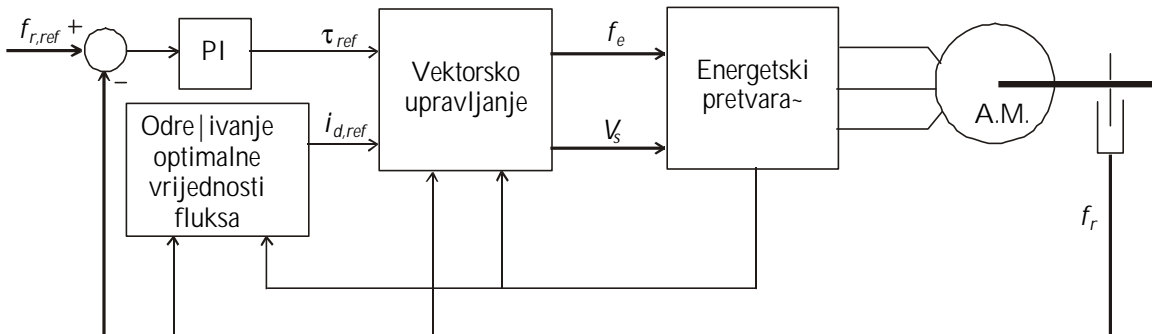
## 2. Pregled dosada{njih rje{enja minimizacije gubitaka u elektri~nim pogonima sa asinhronim motorom

Pedersen i Blaabjerg [24] (sl. 2.6) koriste}i ovu strategiju na osnovu poznavanja brzine i optere}enja vr{e prora~un optimalnih uslova rada pogona. Parametri u modelu moraju biti poznati, a u model obavezno mora biti uklju~en i uticaj zasi}enja magnetnog kola. Na osnovu ovog prora~una optimizator ra~una statorsku u~estanost i statorski napon.



**Slika 2.6. Blok dijagram upravlja~ke strukture za pove}anje stepena korisnog dejstva zasnovan na jednofaznom ekvivalentnom modelu motora u stacionarnom stanju.**

Autori u radu [25] primjenili su ovu strategiju na vektorski regulisan pogon (sl. 2.7). Prednost rotacionog sistema ogleda se i u tome {to se magnetizacija kontroli{e samo jednom promjenjivom ( $d$ -komponentom vektora statorske struje). Optimizacija se realizuje tako da se klizanje pode}ava na osnovu estimiranog optere}enja, a smanjenje gubitaka se ostvaruje smanjenjem fluksa za manja optere}enja. Smanjenje fluksa se vr{i tako, da to bude kompromis izme|u smanjenja energetskih gubitaka i prihvatljive rezerve elektromagnetskog momenta. U ovom slu~aju ne mora biti postignut rad motora u optimalnoj radnoj ta~ki.



**Slika 2.7. Blok dijagram upravlja~ke strukture za pove}anje stepena korisnog dejstva koji se zasniva na modelu motora i koji je primijenjen na vektorski regulisan asinhroni pogon.**

U radu Abrahamsena, Pedersena i Blaabjerga [12] opisan je metod u kome je mjerena ulazna snaga motora, pa je na osnovu modela motora izra~unata vrijednost statorskog napona kao funkcije ulazne snage i statorske u~estanosti.

Osnovni nedostatak ovog pristupa ogleda se u potrebi preciznog modeliranja gubitaka u pogonu. U tom modelu figuri{u i parametri motora koji su osjetljivi na promjenu temperature, promjenu u~estanosti, zasi}enje magnetnog kola, prisustvo vi{ih harmonika, tako da je ovaj optimizacioni metod veoma osjetljiv na varijacije parametara pogona.

### Algoritmi pretra`ivanja

Princip rada adaptivnih kontrolera, ili kako se ~esto u literaturi zovu *search* kontroleri zasniva se na minimizaciji ulazne aktivne snage. Naime, ulazna snaga se mjeri u sistemu, a zatim se njena vrijednost smanjuje promjenom jednog od parametara motora, frekvencije klizanja, magnetizacione komponente vektora statorske struje, ili statorskog napona. Za vrijeme optimizacije izlazna snaga mora biti konstantna. Zadatak adaptivnog kontrolera je pode{avanje promjenjive (u~estanost klizanja, *d*-komponente statorske struje, ili statorski napon), tako da ulazna snaga ima minimalnu vrijednost za konstantnu izlaznu snagu. Zna~ajna i dobra strana ove strategije je da njena primjena ne zavisi od parametara motora.

U radu [19] Berizintu, Rotar (sl.2.8) minimizaciju ulazne snage vr{ili su minimizacijom struje u jednosmjernom me|ukolu. Uz pretpostavku da je napon *DC* me|ukola konstantan, srednja vrijednost struje *DC* linka proporcionalna je aktivnoj snazi asinhronog motora. Na ovaj na-in minimizacijom *DC* struje izvr{ena je minimizacija gubitaka u pogonu.

Na osnovu aproksimativnog izraza za efikasnost asinhronog motora:

$$\mathbf{h} = \frac{R_r \left( \frac{1}{f_{sl}} - \frac{1}{f_s} \right)^2}{\left[ \left( \frac{R_s}{f_s} + \frac{R_r}{f_{sl}} \right)^2 + [2\mathbf{p}(L_{ss} + L_{sr})]^2 \right] f_e G_{Fe} + \frac{R_s}{f_s} + \frac{R_r}{f_{sl}}}, \quad (2.2)$$

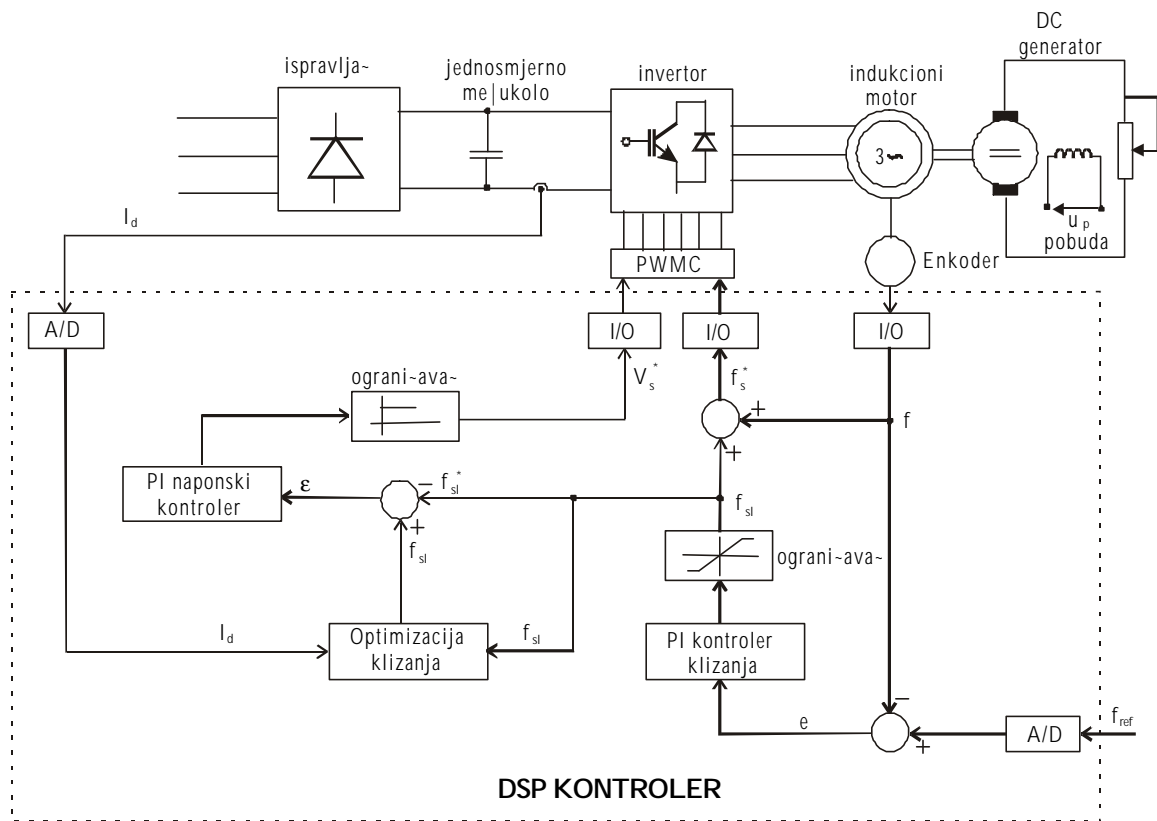
slijedi da je za konstantnu brzinu motora diferencijal statorske frekvencije  $df_s$  ekvivalentan onom za frekvenciju klizanja  $df_{sl}$ . Optimalna u~estanost klizanja s obzirom na efikasnost motora dobija se rje{avanjem jedna~ine:

$$d\mathbf{h}/df_{sl}=0. \quad (2.3)$$

Za optimalnu u~estanost klizanja  $f_{sl}^*$  izra~unava se referentna statorska u~estanost:

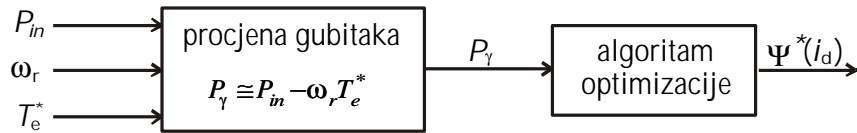
$$f_s^* = f_{sl}^* + f_r. \quad (2.4)$$

Pode{avanje frekvencije klizanja prema optimalnoj vrijednosti vr{i se u koracima, tako da struja u me|ukolu bude manja nego u prethodnom koraku (sl. 2.8). Vrijednost statorskog napona odre|uje se na osnovu zahtijeva za potrebnim elektromagnetskim momentom koji }e obezbjediti ravnote`u za mehani~kim podsistemom pogona.



**Slika 2.8. Blok dijagram upravlja~ke strukture za pove}anje stepena korisnog dejstva koji se zasniva na optimizaciji u~estanosti klizanja.**

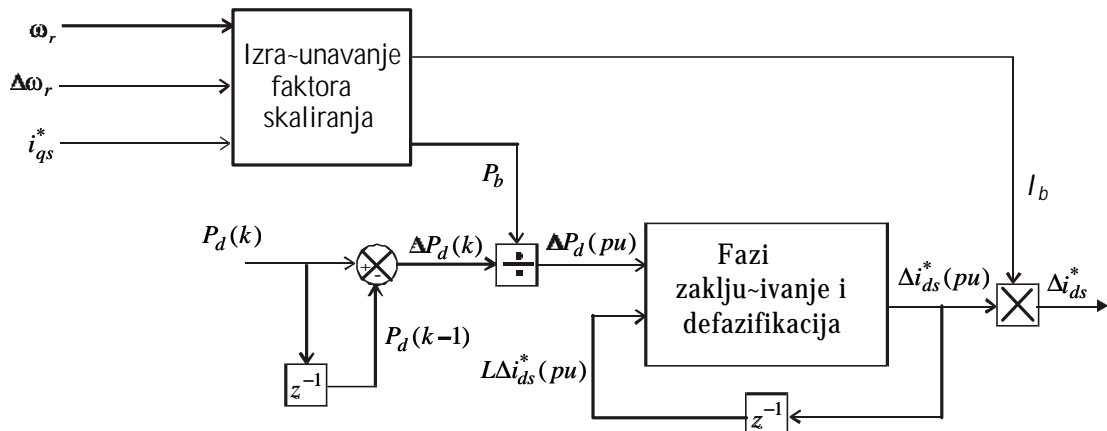
Vukosavi} [1] (sl. 2.9) koristi podatke kojima raspola`e digitalni kontroler pri vektorskom upravljanju o brzini i komandovanoj vrijednosti elektromagnetskog momenta. Mno`enjem ovih veli~ina dobija se informacija o izlaznoj snazi. Procjena gubitaka vr{i se oduzimanjem ovog proizvoda od izmjerene ulazne snage. Algoritam je organizovan tako da se struja  $i_d$  mijenja u ekvidistantnim trenucima, dovoljno udaljenim, da bi se omogu}ilo smirenje prelaznog procesa uspostavljanjem nove vrijednosti fluksa i aktivne komponente statorske struje. Amplituda fluksa se kontroli{e kroz sukcesivno inkrementiranje, ili dekrementiranje komande fluksa na osnovu gubitaka procijenjenih u svakom koraku. Ako se snaga gubitaka smanjuje, smjer promjene magnetizacione komponente statorske struje se zadr`ava, u protivnom ovaj smjer se mijenja. Konstantan smjer promjene struje ukazuje na sukcesivno smanjenje gubitaka, pa je korak promjene magnetizacione struje velik. Promjenjivi smjer promjene snage gubitaka ukazuje na blizinu optimuma i tada se korak smanjuje zbog preciznijeg pode{avanja i smanjenja amplitude oscilacija magnetizacione struje oko optimalne vrijedosti.



**Slika 2.9. Mehanizam prilago{enja fluksa momentu optere}jenja.**

Bose i Patel [14] vr{i ili su *on-line search* optimizaciju vektorski regulisanog pogona na bazi fazi logike. Fluks se smanjuje u koracima, sve dok mjerena ulazna snaga ne dostigne svoju minimalnu vrijednost. U toku postupka minimizacije optere}jenje i brzina ne mijenjaju svoju vrijednost. Veli~ina promjene statorskog fluksa u svakom koraku dobijena je iz fazi skupa i tabele pravila kroz postupak fazi zaklju~ivanja i defazifikacije. Ovakva kontrola obezbje|uje brzu konvergenciju uz adaptivnu veli~inu koraka optimizacione promjenjive. To zna-i da se na po~etku promjena fluksa vr{i sa velikim korakom i postepeno smanjuje sa pribli`avanjem minimumu, ~ime se ostvaruje brza konvergencija. Dodatna prednost ogleda se i u tome {to fazi kontroler mo`e prihvatiti signal uz koji je prisutan i {um.

Sousa, Bose i Cleland [13] vr{i ili su *on-line* optimizaciju na bazi fazi logike za indirektno vektorski kontrolisani asinhroni motor. U stacionarnom stanju fazi kontroler adaptivno smanjuje struju me|ukola na osnovu izmjerene ulazne snage, tako da za dato optere}jenje i brzinu pogon radi sa minimalnom ulaznom snagom, odnosno maksimalnom efikasno{ju. Na sl. 2.10 predstavljen je model koji se koristi za pove}anje efikasnosti. Ulazna snaga se mjeri u fiksnim koracima i poredi sa vrijedno{ju u prethodnom koraku da bi se odredila promjena snage gubitaka. Na osnovu ove vrijednosti i znaka promjene struje  $i_d$  u prethodnom koraku odre|uje se novi korak struje  $i_d$  ( $\Delta i_d$ ), iz skupa fazi pravila, kroz proces fazi zaklju~ivanja i defazifikacije [27].



**Slika 2.10. Blok dijagram upravlja~kog modela za pove}anje stepena korisnog dejstva.**

## 2. Pregled dosada{njih rje{enja minimizacije gubitaka u elektri~nim pogonima sa asinhronim motorom

---

Poja~anja  $P_b$  i  $I_b$  (sl. 2.10) generi{u se sa ciljem konvertovanja ulaznih i kontrolnih promjenjivih u relativne jedinice, tako da se fazi pravila mogu koristiti za razli~ite radne uslove (brzina i momenat) ma{ine. Ulazno poja~anje  $P_b$  je funkcija brzine ma{ine  $\mathbf{w}_r$  i dato je sa:

$$P_b = a\mathbf{w}_r + b, \quad (2.5)$$

gdje su koeficijenti  $a$  i  $b$  dobijeni simulacijom. Izlazno poja~anje  $I_b$  je izra~unato na osnovu brzine  $\mathbf{w}_r$  i estimiranog momenta ma{ine  $\hat{M}_{em}$ :

$$I_b = C_1 \mathbf{w}_r - C_2 \hat{M}_{em} + C_3, \quad (2.6)$$

gdje je

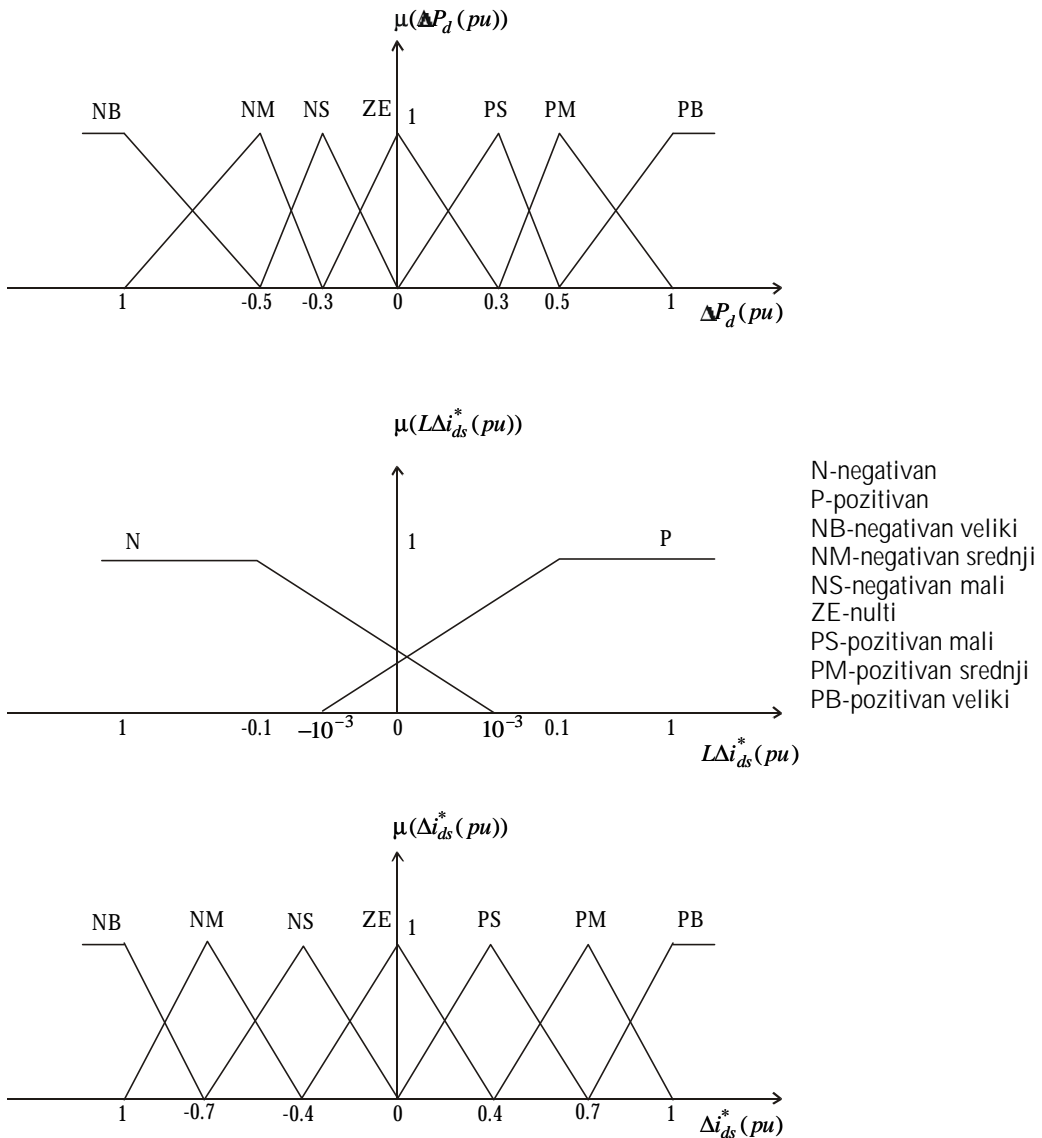
$$\hat{M}_{em} = k_1 i_d^* i_q^*. \quad (2.7)$$

Tako {e, odgovaraju}i koeficijenti  $C_1$ ,  $C_2$  i  $C_3$  dobijeni su simulacijom. Koeficijent  $k_1$  predstavlja vezu izme|u elektromagnetskog momenta i proizvoda komponenti vektora statorske struje. Jedna~ina (2.7) uklju~uje i znanje da je optimalna vrijednost struje  $i_d^*$  pored brzine i funkcija momenta. Tako {e, za razli~ite vrijedosti brzine i elektromagnetskog momenta ista promjena struje  $i_d (\mathbf{D}i_d^*(p.u))$  u relativnim jedinicama rezultova}e razli~itom stvarnom promjenom struje  $i_d (\mathbf{D}i_d^*)$ , u cilju dobijanja brze konvergencije prema optimumu. Dodatna prednost upotrebe relativnih jedinica ogleda se i u tome {to se isti fazi kontroler mo`e koristiti za razli~ite ma{ine jednostavnom promjenom koeficijenata ulaznog i izlaznog poja~anja.

Na sl. 2.11 prikazane su funkcije ~lanice fazi kontrolera. Kao posljedica skaliranja prostora promjenjivih je normalizovan na interval [-1 1]. Provjereno je da je potrebno 7 fazi skupova za kontrolnu promjenjivu  $\mathbf{DP}_g$  da bi se dobila dobra osjetljivost kontrolera, dok su za promjenjivu  $(\Delta i_d^* (k-1))$  potrebna samo 2 fazi skupa, jer je glavna informacija koju ona nosi znak promjena struje  $i_d$ .

Osnovna ideja u ovom metodu za minimizaciju gubitaka ogleda se u smanjenju snage jednosmjernog me|ukola, postupkom tra`enja, pri ~emu je upravlja~ko djelovanje pribli~no proporcionalno promjeni snage u jednosmjernom me|ukolu. U slu~aju da poslijednje upravlja~ko djelovanje rezultira smanjenjem  $P_d (\mathbf{DP}_d < 0)$ , smjer tra`enja ostaje nepromijenjen. U suprotnom smjer tra`enja se mijenja, a korak  $\Delta i_d^*$  smanjuje da bi se ubla`ile oscilacije u procesu tra`enja.

Nedostatak ovog algoritma ogleda se u tome {to struja  $i_d$  ne posti`e vrijednost za koju su gubici minimalni, ve} sa malim korakom osciluje oko te vrijednosti. Kao posljedica, imaju se ne`eljene oscilacije momenta na niskim frekvencijama koje uzrokuju talasnost brzine, a mo`e do}i i do pojave mehani~ke rezonancije. Ovo je i razlog zbog koga se primjenjuju kompenzacione metode kojima se komandni elektromagnetski moment odr`ava konstantnim, bez obzira na promjene struje  $i_d$ , odnosno rotorskog fluksa.



Slika 2.11. Funkcije pripadnosti kontrolera za pove}janje stepena korisnog dejstva [13].

Svaka od metoda za minimizaciju gubitaka ima svoje dobre i lo{e strane. U ovoj oblasti jo{ uvijek ne postoji standard i op{te prihva}en algoritam. Glavni nedostatak metoda koje koriste optimizacione promjenjive stanja i metode zasnovane na modelu motora je to, da one zahtjevaju poznavanje parametara motora. S druge strane, metode sa optimizacionim promjenjivim stanje mogu biti veoma jeftine za implementaciju. Posebno, metode koje koriste faktor snage, jer ne zahtjevaju brzinski senzor. Poslijednjih godina prijavljeno je i nekoliko patenata u kojima su implementirane metode sa faktorom snage kao optimizacionim promjenjivim. Naj{ira istra`ivanja, posebno na akademskom nivou, su u oblasti search metoda. Bitna

prednost ove kategorije algoritama u odnosu na ostale jeste njegova nezavisnost od varijacije parametara ma{ine. Ona ima i svoje zna~ajne nedostatke, kao {to su: talasnost momenta pri promjeni fluksa, spora konvergencija i osjetljivost pogona na iznenadne promjene optere}enja. Na eliminisanju nedostataka *search* algoritama se intenzivno istra`uje.

Smanjenje snage jednosmjernog me|ukola, za konstantnu brzinu i optere}enje u stacionarnom stanju, mo`e se koristiti i za pode{avanje nekih parametara motora.

Zhen i Xu [15] vr{ili su minimizaciju ulazne snage sa ciljem pode{avanje rotorske vremenske konstante u uslovima konstantne brzine i optere}enja i za malu brzinsku gre{ku. U tu svrhu upotrebljen je fazi kontroler. Uz pretpostavku da razde{enost ( $T_{r,stvarno} \neq T_{r,izra-unato}$ ) nastaje kao posljedica zagrijavanja, brzinski kontroler }e zahtijevati ve}u struju  $i_q$  da bi se odr`ala brzina. U takvim slu~ajevima razde{enost je skrivena malom brzinskom gre{kom. Kao posljedica, ima}e se ve}e klizanje, ve}a statorska struja i manji fluks ako je  $T_{r,stvarno} > T_{r,izra-unato}$ , odnosno manje klizanje i ve}i fluks, ako je  $T_{r,stvarno} < T_{r,izra-unato}$ . U oba slu~aja ( $T_{r,stvarno} \neq T_{r,izra-unato}$ ) za male ma{ine struja je ve}a. Premda ovaj pristup ne}e mo`da obezbijediti uslov

$$\frac{T_{r,stvarno}}{T_{r,izracunato}} = 1, \quad (2.8)$$

ma{ina }e raditi u u uslovima maksimalnog odnosa momenat/struja. Za male i srednje ma{ine ovakav pristup obezbjedi}e dobru orijentaciju rotorskog fluksa.

## 2.2 TREND OVI RAZVOJA POGONSKIH PRETVARA^A U CILJU SMANJENJA ENERGETSKIH GUBITAKA

Pored istra`ivanja u cilju smanjenja gubitaka snage u asinhronom motoru, vrlo intenzivna istra`ivanja su i u podru~ju smanjenja gubitaka u pogonskom pretvara~u. To se prije svega odnosi na smanjenje prekida~kih gubitaka koji su dominantni kada su u pitanju gubici u pretvara~u. Na ove gubitke prvenstveno uti~e izbor prekida~kog elementa i na~in upravljanja pretvara~em. Sve vi{e se kao prekida~ki elementi koriste BiMOS strukture kao {to je bipolarni tranzistor sa izolovanim gejtom- *IGBT* (engl. *Insulated-Gate Bipolar Transistor*) i MOS tiristor - *MCT* (*MOS Controlled Thyristor*). U upravljanju pogonskim invertorom najra{irenije su metode na bazi impulsno-{irinske modulacije (*PWM*) i modulacije prostornim vektorom (*SVM*). Realizovane su i razli~ite topologije rezonantnih jednosmjernih me|ukola i rezonantnih invertora.

U radu Williamsona i Canna [26] dat je pregled gubitaka snage u invertoru i motoru za razli~ite *PWM* metode. ^etiri *PWM* strategije koje su prou~avane su:

- *PWM* tehnika gdje se uglovi paljenja prekida~a dobijaju u presjeku trougaonog moduli{u}eg sa pravougaonim nose}im signalom;
- sinusna *PWM* gdje se uglovi paljenja prekida~a dobijaju u presjeku trougaonog nose}eg talasa sa sinusnim referentnim;
- *PWM* sa eliminacijom harmonika i
- *PWM* sa minimizacijom distorzije.

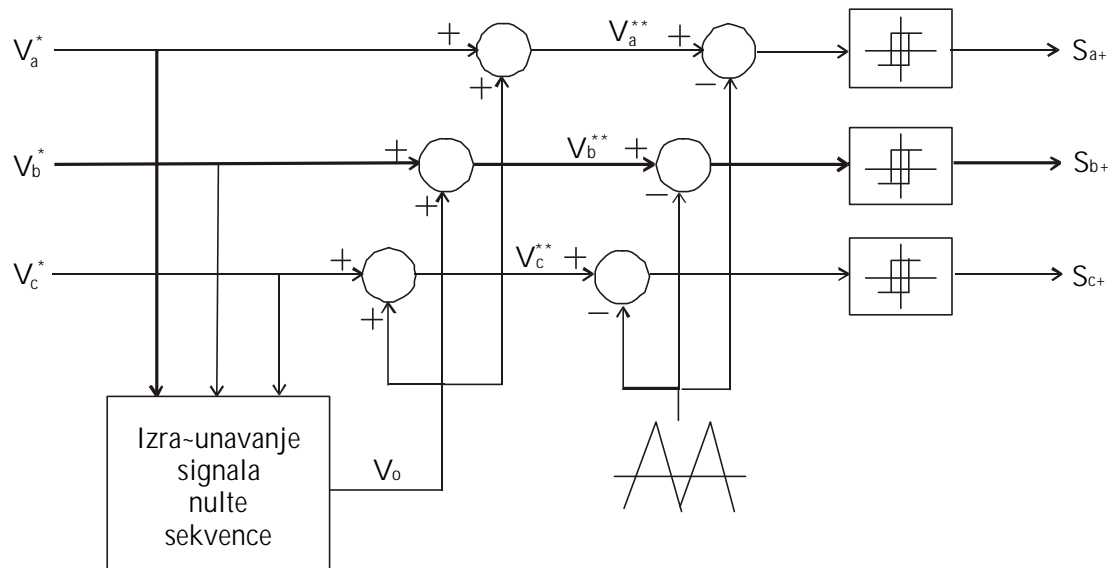
Najbolje rezultate u cjelokupnom opsegu momenta i brzine pokazala je PWMtehnika sa minimizacijom distorzije, mada je i tehnika sinusne modulacije pokazala dobre rezultate u ostvarenju visokog stepena korisnog dejstva za ni`e izlazne u~estanosti.

Hava i Kerkman [18] analizirali su nekoliko tehnika za generisanje modulacionog talasa kod naponskih PWM invertora (*PWM-VSI*) s obzirom na dvije bitne karakteristike pretvara~a, strujnu talasnost i prekida~ke gubitke. U cilju pobolj{anja kvaliteta signala i zna~ajnog smanjenja prekida~kih gubitaka, signal nulte sekvence (*zero-sequence*) se injektuje u referentni moduli{u}i talas (sl. 2.12). Premda teoretski mo`e postojati beskona~no mnogo *zero-sequence* signala, karakteristike i ograni~enja realizovanih *PWM-VSI* pretvara~a smanjuju mogu}nost prakti~ne primjene ovih signala samo na mali broj.

S obzirom na tehniku modulacije koja se koristi, analiza je izvr{ena za dvije vrste modulatora:

- sa kontinualnom impulsno-{irinskom modulacijom (*CPWM*);
- sa diskontinualnom impulsno-{irinskom modulacijom (*DPWM*).

Karakteristike prekida~kih gubitaka za *CPWM* i *DPWM* metode su razli~ite. Kod *CPWM* metode doga|aju se komutacije u toku svakog perioda nose}eg signala. Stoga su za sve *CPWM* metode prekida~ki gubici isti i nezavisni od faznog ugla struje optere}enja. Kod *DPWM* metoda na prekida~ke gubitke zna~ajno uti~u modulacioni metod i ugao faktora snage optere}enja. Tako|e, faktor snage optere}enja i modulacioni metod zajedno odre|uju vremenski interval u kojem struja optere}enja ne komutira. S obzirom na prekida~ke gubitke, najbolje rezultate pokazale su *DPWM* metode, posebno kod visokih modulacionih opsega.



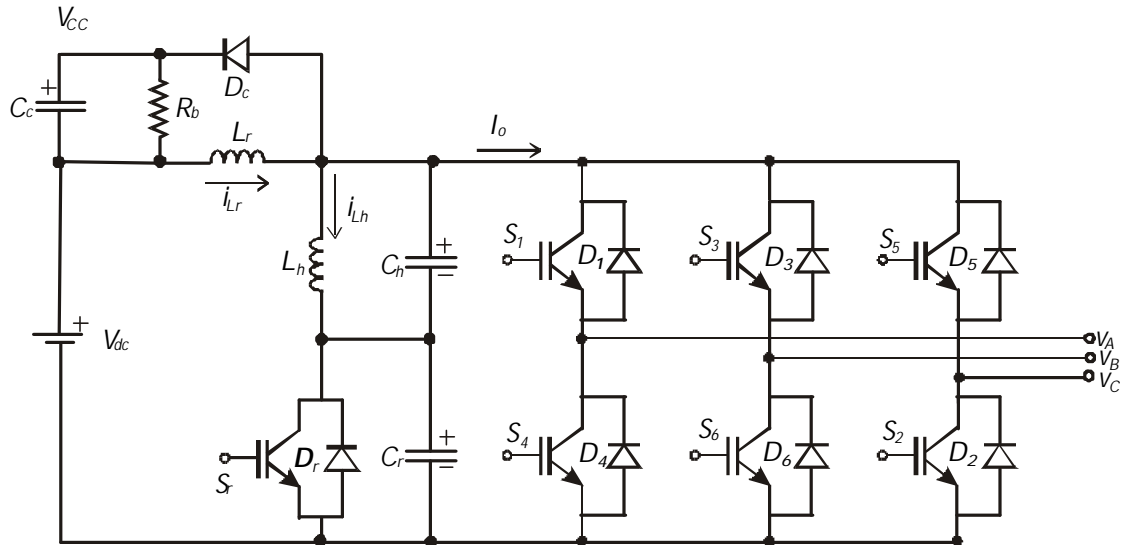
**Slika 2.12. Generalizovani blok dijagram PMW tehnike sa trougaonim nose}im signalom i injektovanjem signala sa nultom sekvencom.**

U radu Deshpade i Doradla [16] dali su detaljnu analizu uticaja razli~itih parametara: karakteristi~ne impedanse,  $Q$  faktora, ulaznog  $DC$  napona i rezonantne frekvencije na gubitke u rezonantnom me|ukolu za rezonantna me|ukola sa redukovanim naponom ( $RVRL$ ) (sl. 2.13).

Mogu se izvesti sljede}i zaklju~ci :

- Smanjenjem karakteristi~ne imedanse ( $z_{rh}$ ) rezonantnog me|ukola gubici u me|ukolu rastu. Me|utim, smanjenje  $z_{rh}$  ima i svoje prednosti, jer rezultuje pove}anjem vrijednosti kapacitivnosti  $C_r$ . Ve}ja kapacitivnosti  $C_r$ apsorbuje ve}u koli~inu elektriciteta uz manji porast napona, te za prekida~  $S_r$  obezbje|uje ve}u za{titnu funkciju. Manja karakteristi~na impedansa smanjuje i naponske skokove napona me|ukola kad god se struja me|ukola mijenja sa pozitivne na negativnu vrijednost.
- Pove}anjem napona me|ukola ( $V_{dc}$ ) rastu i struje kroz induktivnosti  $L_r$  ( $i_{Lr}$ ) i  $L_h$  ( $i_{Lh}$ ), pa se pove}avaju i gubici  $P_g$
- Faktor dobrote  $Q$  mora biti dovoljno velik da bi se smanjili gubici.
- Promjene rezonantne frekvencije ( $f_0$ ) ne uti~u zna~ajnije na  $i_{Lr}$ ,  $i_{Lh}$  i  $P_g$

Sa stanovi{ta gubitaka upore|ene su i dvije topologije rezonantnih me|ukola, sa redukovanim naponom i aktivnim pridr`avanjem ( $ACRL$ ).  $RVRL$  pokazuje uspje{an rad me|ukola ~ak i kada se struja me|ukola mijenja brzo. Porede}i gubitke kod  $RVRL$  i  $ACRL$  topologije u stabilnim uslovima rada, kod  $RVRL$  topologije gubici mogu biti smanjeni i do 25%.

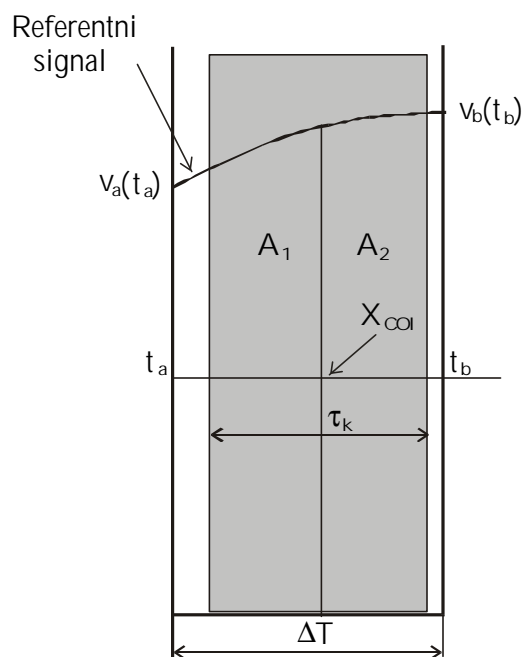


**Slika 2.13. Topologija rezonantnog me|ukola sa redukovanim naponom.**

Varjani, Perera i Chicharo [17] istra~ivali su  $PWM$  prekida~ku strategiju zasnovanu na odre|ivanju centra integracije ( $CBT$ ). Ova tehnika na{la je prakti~nu primjenu u elektri~nim pogonima sa promjenjivom brzinom, gdje vi{i harmonici koji se pojavljuju u spektru izlaznog napona invertora uti~u na performanse pogona.

## 2. Pregled dosada{njih rje{enja minimizacije gubitaka u elektri~nim pogonima sa asinhronim motorom

Ova PWM prekida-ka strategija, u pore|enju sa drugim sinusnim prekida-kim tehnikama, daje bolje performanse u pogledu eliminacije harmonika, harmonijske distorzije (*THD*) i prekida-kih gubitaka. *CBT* je nov pristup za odre|ivanje pozicije svakog impulsa za svaki period odmjeravanja. U ovoj tehnici {irina PWMimpulsa je odre|ena uslovom da povr{ina ispod PWM signala (pravougaonik osnove  $\tau_k$ ) bude jednaka povr{ini ispod referentnog talasa, dok je pozicija PWMimpulsa uravnata sa centrom integracije (*COI*) koji dijeli ukupnu povr{inu ispod referentnog talasa (za vrijeme perioda  $\Delta T$ ) na dvije jednake povr{ine (sl. 2.14). U pore|enju sa sinusnim PWM prekida-kim strategijama; sa prirodnim odmjeravanjem (*UNPS*) i unipolarnim pravilnim asimetri-nim odmjeravanjem (*UPRAS*), pokazano je da se ovom tehnikom mo`e osvariti niska *THD* -ak i uz smanjenje prekida-ke frekvencije, ~ime se smanjuju prekida-ki gubici.



**Slika 2.14. Tehnika zasnovana na odre|ivanju centra integracije.**

Pregledom novije publikovane literature evidentno je {iroko i intenzivno istra`ivanje tehnika za upravljanje radom pretvara-a u asinhronim pogonima. Jedan od najzna~ajnijih ciljeva ovih prekida-kih strategija, pored dobijanja odgovaraju}eg napona, odnosno struje (smanjenje *NF* harmonika, smanjenje harmonijske distorzije), jeste i smanjenje prekida-ih gubitaka, a time i gubitaka u pretvara-u.

### 3. ENERGETSKI BILANS U POGONIMA SA ASINHRONIM MOTOROM

#### 3.1 GUBICI ELEKTRI^KNE ENERGIJE U ASINHRONOM MOTORU

Kao polazna ta~ka za analizu energetskih gubitaka asinhronog motora mo`e se koristiti dobro poznata ekvivalentna ~ema motora u stacionarnom stanju (sl. 3.1) [2]. Gubici u elektri~noj ma{ini predstavljeni su na ekvivalentnoj ~emi topotom koja se razvija na otporima  $R_s$  (gubici u bakru statora  $P_{Cus}$ ),  $R_r$  (gubici u bakru rotora  $P_{Cur}$ ) i  $R_m$  (gubici u gvo`ju  $P_{Fe}$ ). Ovi gubici iznose prema D`ulovom zakonu:

$$P_{Cus} = 3R_s I_s^2 \quad (3.1)$$

$$P_{Cur} = 3R_r I_r^2 \quad (3.2)$$

$$P_{Fe} = 3\frac{E^2}{R_m} \quad (3.3)$$

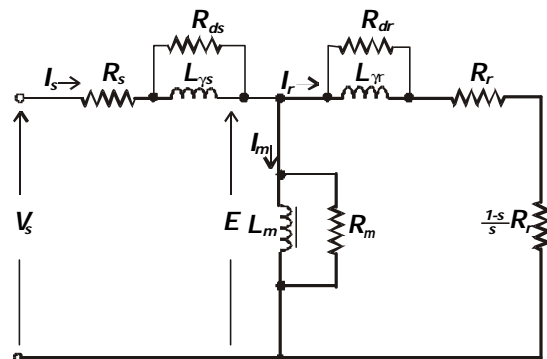
Snaga koja se razvija na preostalom otporu i koja iznosi:

$$P_c = 3\frac{1-s}{s} R_r I_r^2 \quad (3.4)$$

naziva se snaga elektromehani~ke konverzije ( $P_c$ ). To je snaga koja se dobije kada se od ulazne snage u ma{ini ( $P_s$ ) odbiju ukupni gubici u bakru i gvo`ju. Kada se od ove snage oduzmu gubici u trenju dobija se mehani~ka snaga ( $P$ ). Snaga:

$$P_o = 3\frac{R_r}{s} I_r^2 \quad (3.5)$$

koja se dobije poslije odbijanja gubitaka u bakru statora i gubitaka u gvo`ju zami{lja se kao snaga koja se prenosi sa statora ka rotoru i naziva se snagom obrtnog polja.



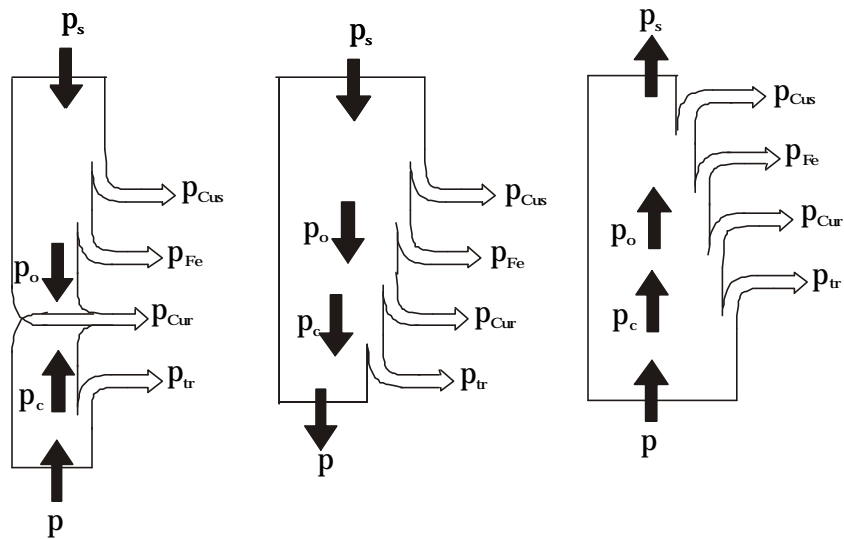
Slika 3.1. Stati~ka ekvivalentna ~ema asinhronog motora.

Na sl. 3.2c prikazan je bilans asinhronog generatora, a na sl. 3.2a bilans kadaje asinhrona ma{ina u ko-nom re`imu. Iako se oba slu-aja odlikuju obrnutom konverzijom (mehani~ka energija se pretvara u elektri~nu), izme|u njih postoji zna~ajna razlika. U generatorskom re`imu (sl. 3.2c) kada je brzina rotora ve}a od sinhronne mehani~ke snage se po odbijanju gubitaka proslje|uje u pravcu izvora. U ko-nom re`imu (sl. 3.2a) kada je  $s > 1$ , tj. kada je brzina suprotnog smjera u odnosu na brzinu polja, mehani~ka energije ( $P$ ), poslije pokrivanja mehani~kih gubitaka ( $P_{tr}$ ) i pretvaranja u elektri~nu snagu ( $P_c$ ), ide na pokrivanje gubitaka u bakru rotora. U ovom re`imu rada tro{i se i elektri~na energija. Ona pokriva gubitke u statoru i u-estvuje u pokrivanju gubitaka u bakru rotora. Prema izrazima (3.4) i (3.5) udio pokrivanja gubitaka u bakru rotora od strane obrtnog magnetnog polja prema udjelu pretvaranja u mehani~ku energiju je u odnosu  $1/(1-s)$ .

Mo`e se zaklju~iti da su dominantni gubici u ma{ini; gubici u bakru i gubici u gvo~ju. Pored ovih gubitaka postoje i dodatni elektri~ni, te mehani~ki gubici. Dodatni elektri~ni gubici nastaju kao posljedica rasipnog fluksa u strukturnim djelovima ma{ine, te prisustva vi{ih harmonika u spektru napona i struje napajanja. Budu}i da algoritam koji je opisan u ovom radu ne zahtjeva detaljno modelovanje gubitaka i da uticaj dodatnih gubitaka u konkretnom slu-aju nije veliki, pa` nja u analizi gubitaka u motoru usmjerena je prema dominantnim gubicima. Mehani~ki gubici nastaju kao posljedica trenja i ventilacije i na njih se ne mo`e uticati regulacijom elektri~nih veli~ina u pogonu.

Prema relacijama (3.1) - (3.3), gubici u bakru zavise od efektivne vrijednosti struje, a gubici u gvo~ju od indukovane elektromotorne sile odnosno amplitude fluksa i u-estanosti:

$$P_g = R_{eq} I_r^2 + G_{eq} \mathbf{w}^2 \Psi^2; \quad R_{eq} > 0; \quad G_{eq} > 0. \quad (3.6)$$



a) Ko-ni re`im ( $s > 1$ )      b) Motorni re`im ( $1 > s > 0$ )      c) Generatorski re`im ( $0 > s$ )

**Slika 3.2. Energetski bilans asinhronog motora (a) u ko-nom re`imu, b) u motorskom re`imu, c) generatorskom re`imu.**

Uz prepostavku da magnetizaciona komponenta statorske struje malo uti~e na efektivnu vrijednost struje i za odre|enu vrijednost elektromagnetskog momenta [1]:

$$M_{em} \approx \mathbf{Y}I \Rightarrow I = \frac{M_{em}}{\mathbf{Y}};$$

$$P_g = R_{eq} \frac{M_{em}}{\Psi^2} + G_{eq} \mathbf{W}^2 \Psi^2 = \frac{A}{\Psi^2} + B\Psi^2, \quad A > 0, \quad B > 0. \quad (3.7)$$

Na osnovu izraza (3.7) mo`e se zaklju~iti da se gubici u ma{ini mogu izraziti u funkciji fluksa.

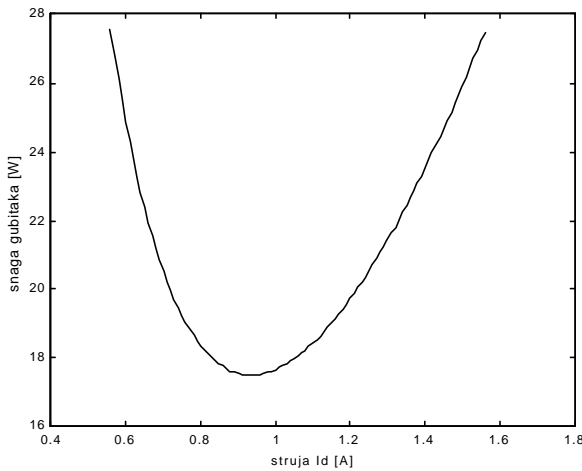
Deriviranjem funkcije gubitaka po fluksu dobija se:

$$\frac{\partial P_g}{\partial \Psi} = \frac{-2A}{\Psi^3} + 2B\Psi, \quad (3.8)$$

$$\frac{\partial^2 P_g}{\partial \Psi^2} = 2B + \frac{6A}{\Psi^4} > 0. \quad (3.9)$$

Iz izraza (3.9) vidi se da je zavisnost gubitaka od amplitude fluksa strogo konkavna funkcija (sl.3.3). Ova funkcija ima jedinstven minimum i za odre|ivanje optimalne amplitude fluksa mo`e se koristiti gradijentni metod.

Grafik zavisnosti snage gubitaka od struje magnetizacije dobijen simulacijom prikazan je na sl. 3.3. Elektromagnetni momenat je konstantan i iznosi  $0.55 M_{emn}$ . Promjena struje  $i_d$  je u opsegu od  $0.55A$  do  $1.6A$ . Minimalna snaga gubitaka je  $17.5W$  i dobija se za  $i_d=0.935A$ . Simulacija je izvr{ena za konkretnu ma{inu ~iji su parametri dati u prilogu 1. rada.



**Slika 3.3. Grafik zavisnosti snage gubitaka od struje magnetizacije dobijen simulacijom u programskom paketu MATLAB-Simulink.**

Pored gubitaka u bakru i gvo`ju kao dominantnim gubicima u elektri~nom motoru postoje i dodatni gubici.

### Dodatni gubici

Ovi gubici se u osnovi sastoje od gubitaka usljed vrtlo`nih struja i gubitaka usljed histerezisa koji su indukovani razli~itim vrstama rasipnog fluksa u laminarnim i drugim strukturnim dijelovima ma{ine [10].

Pri u~estanosti  $f_n$  dodatni gubici u statoru motora po jednoj njegovoj fazi iznose:

$$P_{ds} = k_{dsn} \left[ \frac{k_h}{f_n} + k_e \right] V_{dsn}^2, \quad (3.10)$$

gdje je  $V_{dsn}$  napon na statorskoj induktivnosti rasipanja,  $k_h$  i  $k_e$  su histerezisni sa~inilac i sa~inilac vrtlo`nih struja, a  $k_{dsn}$  sa~inilac dodatnih gubitaka. Dodatni gubici se mogu predstaviti pomo}ju ekvivalentne otpornosti  $R_{dsn}$  u paraleli sa induktivno}ju rasipanja kao:

$$R_{dsn} = \frac{1}{k_{dsn} \left[ \frac{k_h}{f_n} + k_e \right]} \quad (3.11)$$

Sli~an izraz se mo`e izvesti za dodatne gubitke u rotoru pri vi{im harmonicima, dok se dodatni gubici koji su uzrokovani strujom osnovne u~estanosti su{tinski koncentrisani su u statoru, pa se, tako|e, izraz sli~an prethodnom mo`e upotrebiti.

### 3.2 ENERGETSKI GUBICI U POGONSKOM PRETVARA^U

Pored gubitaka u ma{ini postoje i gubici u pretvara~u. Na osnovu topologije standardnog asinhronog pogona (sl. 3.8), s obzirom na gubitke snage, potrebno je analizirati gubitke u diodnom ispravlja~u i invertoru.

#### Gubici u ispravlja~u

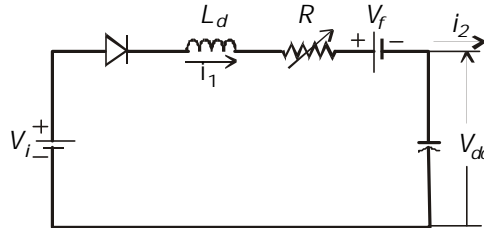
Za diodni ispravlja~ gubici usljed promjene stanja dioda mogu da se zanemare pa ostaju za razmatranje gubici usljed provo|enja. Na sl. 3.4 je prikazano ekvivalentno elektri~no kolo diodnog ispravlja-a pri usvojenim zanemarenjima, gdje je  $V_i$  idealno ispravljeni napon,  $L_d = 2L_s$  induktivnost u jednosmernom kolu, a  $L_s$  induktivnost rasipanja po fazi naizmjeni~nog izvora. Dvije diode koje provode mogu se modelirati pomo}ju ofset napona  $V_f$  na red sa nelinearnom otporno}ju  $R$  (sl. 3.4).

Odgovaraju}om aproksimacijom uz pomo} ra~unara i iz katalo{kih podataka za karakteristiku provo|enja konkretne diode, mo`e se dobiti izraz koji opisuje pad napona na njoj slijede}eg oblika:

$$v_{dd} = v_{do} + k t_d^m, \quad (3.12)$$

gdje je  $v_{do}$ -ofset napon, a  $m$  eksponent koji opisuje otporni~ki pad napona. Trenutna vrijednost gubitaka usljed provo|enja za diodni most data je izrazom [10]:

$$P_{gj} = 2v_{dd}i_1. \quad (3.13)$$



Slika 3.4. Ekvivalentno kolo diodnog ispravlja-a.

### Gubici u invertoru

S obzirom na na-in upravljanja invertorom, u vektorski regulisanim pogonima naj-e{}i su slijede}i tipovi invertora:

- **PWM** (impulsno-{irinsko modulisani),
- sa histerezisnim strujnim regulatorom i
- **SVM** (modulacija prostornim vektorom).

Kod energetskih pretvara-a dominantni su gubici na prekida-ima. Na prekida-ke gubitke uti-u mnogi faktori kao {to su tip prekida-kog elementa, na-in upravljanja prekida-em, za{titna (*snubber*) kola itd.

Potrebito je razmotriti gubitke usljud provo | enja (stati-ki) i gubitke prilikom promjene stanja prekida-a u granama invertorskog mosta (dinami-ki).

Snaga gubitaka na prekida-u prilikom promjene stanja prekida-a data je sa:

$$P_{gp} = f \left[ \int_{t_1}^{t_1+t_f} v_p(t)i_p(t)dt + \int_{t_2}^{t_2+t_r} v_p(t)i_p(t)dt \right], \quad (3.14)$$

gdje su:  $f$  prekida-ka frekvencija,  $t_f$  vrijeme isklju-enja prekida-a,  $t_r$  vrijeme uklju-enja prekida-a,  $i_p$  struja kroz prekida- i  $v_p$  napon na prekida-u. Na osnovu izraza 3.14 mo`e se zaklju-iti da je snaga gubitaka na prekida-kom elementu direktno proporcionalna prekida-koj frekvenciji.

Sa stanovi{ta dinami-kih prekida-kih gubitaka, najzna-ajnije je analizirati gubitke za vrijeme isklju-enja poluprovodni-kih prekida-a, jer su oni obi-no i najve}i. Srednja vrijednost gubitaka  $P_{gQoff}$  u toku isklju-enja tranzistora (sl.3.5) data je izrazom [10]:

$$P_{gQoff} = 3K_{off}V_{dc}(N_s/2)I_{av}f = \frac{V_{dc}^2}{R_{Qoff}}, \quad (3.15)$$

gdje je  $V_{dc}$  napon u jednosmjernom me|ukolu,  $I_{av}$ srednja vrijednost struje optere}enja u toku polovine ciklusa,  $N_s/2$  broj isklju-enja tranzistora u grani invertora u jednom ciklusu osnovne u-estanosti  $f$ , a konstanta isklju-enja je data izrazom:

$$K_{off} = \frac{t_f}{2} \left( 1 - \frac{4t_{rv}}{3t_f} + \frac{1}{2} \left( \frac{t_{rv}}{t_f} \right)^2 \right), \quad (3.16)$$

gdje je  $t_{rv}$  vrijeme uspostavljanja napona kolektor-emiter, a  $t_f$  vrijeme isključenja tranzistora. Vrijeme  $t_{rv}$  jednako je:

$$\sqrt{\frac{2C_s V_d t_f}{I_{av}}}, \quad (3.17)$$

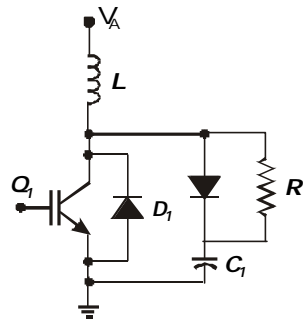
na osnovu ~ega se mo`e zaklju~iti, da se sa pove}anjem kapacitivnosti  $C_s$  u snubber kolu prekida~ki gubici u toku isključenja tranzistora smanjuju, jer sporije raste napon kolektor-emitor tranzistora, nego {to opada struja kolektora. Me|utim, ograni~avaju}i faktor za vrijednost kapacitivnosti  $C_s$  ogleda se u tome da se ona mora isprazniti za vrijeme dok je tranzistor uklju~en, odnosno mora biti ispunjem uslov [28]:

$$(3\div 5)C_s R < DT, \quad (3.18)$$

gdje je  $D$  faktor popune, a  $T$  period upravlja~kih impulsa. Gubici snage u za{titnom kolu prekida~a izra~unavaju se iz izraza:

$$P_g = \left( \frac{3}{2} \right) N_s C_s V_{dc}^2 f, \quad (3.19)$$

gdje je  $N_s$  broj uklju~enja/isklju~enja tranzistora u jednoj fazi invertora, u toku jednog ciklusa invertora osnovne u~estanosti  $f$ ,  $V_{dc}$  napon u jednosmjernom me|ukolu, a  $C_s$  kapacitivnost u za{titnom kolu.



**Slika 3.5. Primjena za{titnog kola na IGBT prekida~a sa induktivnim optere}enjem.**

### 3.3 MODELOVANJE GUBITAKA U POGONU SA ASINHONIM MOTOROM

Snagu gubitaka u ma{ini mo`emo odrediti kao razliku izme|u ulazne snage i snage elektromehani~ke konverzije. Ulazna snaga jednaka je proizvodu statorskih napona i statorskih struja:

$$p_S = v_a i_a + v_b i_b + v_c i_c. \quad (3.20)$$

U rotacionom  $d$ - $q$  koordinacionom sistemu, ako je transformacija iz 3-faznog ud- $q$  sistema invarijantna po snazi, izraz za ulaznu snagu ima oblik:

$$p_s = v_d i_d + v_q i_q. \quad (3.21)$$

Radi jednostavije analize prepostavlja se da je transformacija faznih promjenjivih na  $d$ - $q$  koordinatni sistem izvršena tako da se  $d$ -osa poklapa sa vektorom rotorskog fluksa:

$$\vec{\mathbf{Y}}_r = \vec{\mathbf{d}} \mathbf{Y}_d + \vec{\mathbf{q}} 0 = \vec{\mathbf{d}} \mathbf{Y}_d.$$

Jednačine naponskih balansa za asinhroni motor u  $d$ - $q$  koordinatnom sistemu date su sa:

$$\begin{aligned} v_d &= R_s i_d + \frac{d\mathbf{Y}_d}{dt} - \mathbf{w}_e \mathbf{Y}_q \\ v_q &= R_s i_q + \frac{d\mathbf{Y}_q}{dt} + \mathbf{w}_e \mathbf{Y}_d \\ 0 &= v_D = R_s i_D + \frac{d\mathbf{Y}_D}{dt} - (\mathbf{w}_e - \mathbf{w}_s) \mathbf{Y}_Q \\ 0 &= v_Q = R_s i_Q + \frac{d\mathbf{Y}_Q}{dt} + (\mathbf{w}_e - \mathbf{w}_s) \mathbf{Y}_D, \end{aligned} \quad (3.22)$$

a fluksnih obuhvata za stator i rotor:

$$\begin{aligned} \mathbf{Y}_d &= L_s i_d + L_m i_D \\ \mathbf{Y}_q &= L_s i_q + L_m i_Q \\ \mathbf{Y}_D &= L_r i_D + L_m i_d \\ \mathbf{Y}_Q &= L_r i_Q + L_m i_q. \end{aligned} \quad (3.23)$$

Izrazom (3.23) [1] data je veza fluksova i struja pod prepostavkom da su koeficijenti induktivnosti konstante, odnosno:

$$L_m = \frac{\mathbf{Y}_m}{i_m} = \text{const.}$$

Uvrštavanjem izraza za statotski napon iz (3.22) u jednačinu (3.21) dobija se:

$$\begin{aligned} p_s &= (R_s i_d + \frac{d\mathbf{Y}_d}{dt} - \mathbf{w}_e \mathbf{Y}_q) i_d + (R_s i_q + \frac{d\mathbf{Y}_q}{dt} + \mathbf{w}_e \mathbf{Y}_d) i_q \\ &= R_s (i_d^2 + i_q^2) + i_d \frac{d\mathbf{Y}_d}{dt} + i_q \frac{d\mathbf{Y}_q}{dt} + \mathbf{w}_e (\mathbf{Y}_d i_q - \mathbf{Y}_q i_d) \end{aligned} \quad (3.24)$$

$\wedge$ lan,

$$R_s(i_d^2 + i_q^2) = R_s i_s^2,$$

predstavlja D` ulove gubitke u namotajima statora, ~lan

$$i_d \frac{d\mathbf{Y}_d}{dt} + i_q \frac{d\mathbf{Y}_q}{dt}$$

promjenu snage akumulirane u magnetnom polju, a izraz

$$\mathbf{w}_e(\mathbf{Y}_d i_q - \mathbf{Y}_q i_d)$$

je snaga koja se predaje rotoru, odnosno snaga obrtnog magnetnog polja. Snaga  $p_o$ , pored snage elektromehani~ke konverzije sadr~i i gubitke u bakru rotora:

$$p_o = p_c + \mathbf{w}_s(\Psi_d i_q - \Psi_q i_d). \quad (3.25)$$

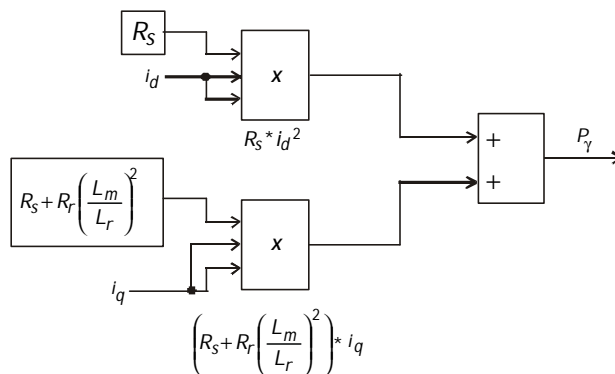
Transformacijom (3.25), pomo}u izraza (3.22) i (3.23) dobija se za stacionarno stanje:

$$p_o = p_c + R_r \left( \frac{L_m}{L_r} \right)^2 i_q^2. \quad (3.26)$$

Kombinacijom (3.24) i (3.26) dobija se izraz za snagu elektri~nih gubitaka u asinhronom motoru:

$$p_g = p_s - p_c = R_s i_d^2 + \left[ R_s + R_r \left( \frac{L_m}{L_r} \right)^2 \right] i_q^2. \quad (3.27)$$

Budu}i da su u vektorski regulisanim pogonima  $i_d$  i  $i_q$  veli~ine koje se zadaju na osnovu zahtijeva za odgovaraju}im momentom i fluksom, izraz za snagu gubitaka u motoru (3.27) jednostavno se modelira u programskom paketu Simulink (sl. 3.6).



**Slika 3.6. Model elektri~nih gubitaka u asinhronom motoru u stacionarnom stanju.**

Ovaj model je jednostavan za primjenu, ali ima i bitne nedostatke. U modelu figure{u parametri motora koji su osjetljivi na promjenu temperature i u~estanosti. Potrebno bi bilo posebno modelovati gubitke u energetskom pretvara~u. Ovo su razlozi, zbog kojih se name}e potreba za druga~ijim modelovanjem elektri-nih gubitaka u asinhronom pogonu.

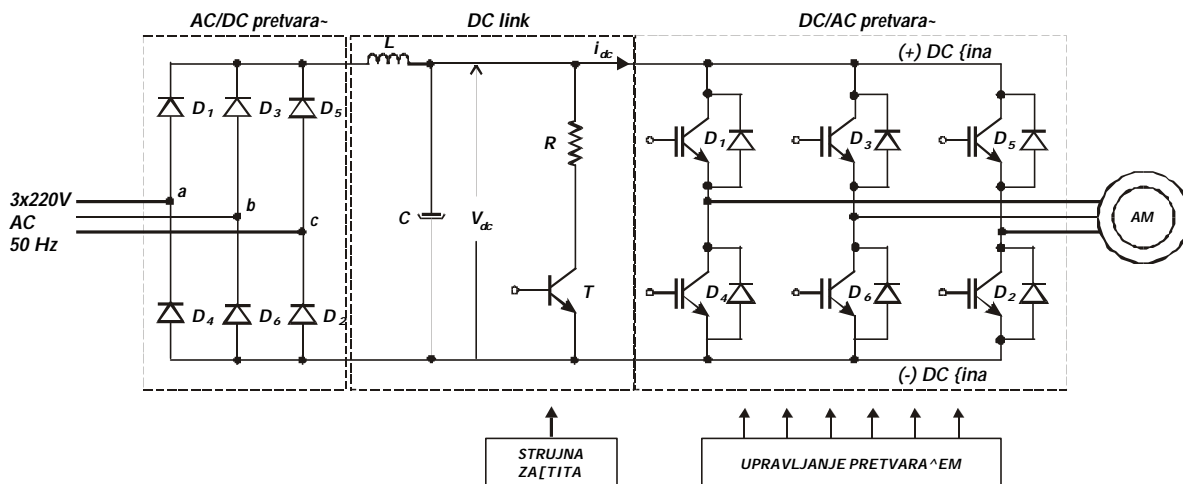
Na osnovu topologije standardnog asinhronog pogona (sl.3.7) mo`e se zaklju~iti, da se snaga gubitaka u pogonu mo`e odrediti kao razlika snage koja iz jednosmjernog me|ukola ulazi u pretvara~ i snage elektromehani-ke konverzije:

$$P_g = P_{dc} - P_c = V_{dc} i_{dc} - \mathbf{w}_r M_{em}. \quad (3.28)$$

Napon u jednosmjernom me|ukolu pribli`no je jednak vr{noj vrijednosti linijskog napona na ulazu AC/DC pretvara-a:  $V_{dc} \approx \sqrt{6}V_{eff} = \sqrt{6} \cdot 220V = 538V$ .

Ukupna struja koju invertor dobija iz jednosmjernog me|ukola (sl.3.8) je zbir struja u sve 3 grane invertorskog mosta i data je sa formulom [11]:

$$i_{dc} = A i_a + B i_b + C i_c. \quad (3.29)$$



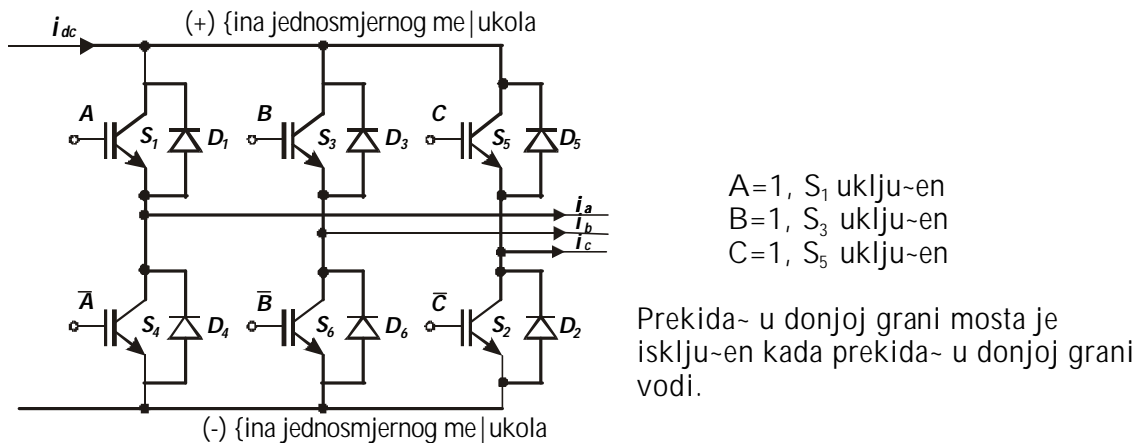
Slika 3.7. Topologija tipi-nog elektri-nog pogona sa asinhronim motorom.

Budu}i da je DC/AC pretvara~ u modelu pogona korijenom u ovom radu sa histerezisnim strujnim regulatorom uslov da prekida~ u gornjoj grani mosta bude uklju~en je:

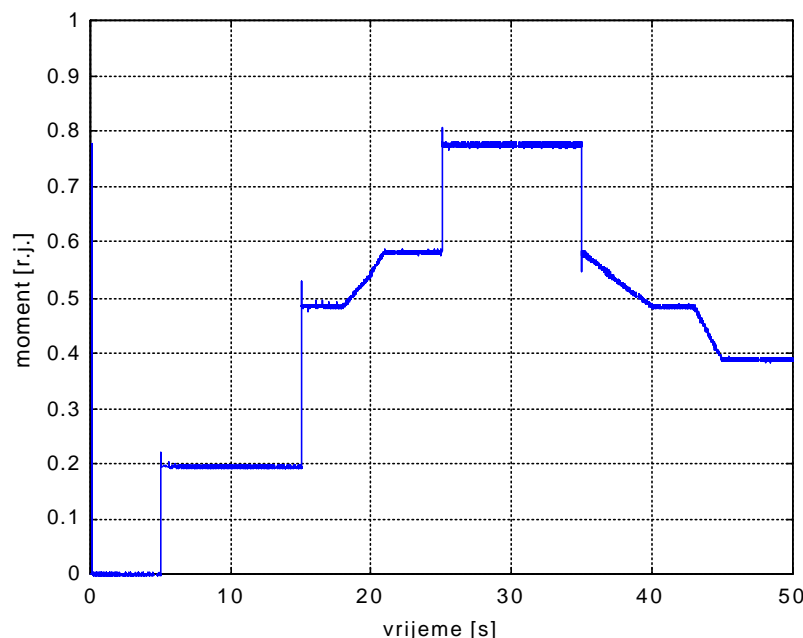
$$A = 1 \Leftrightarrow (i_a^* - I_H \leq i_a \leq i_a + I_H \wedge i_a \nearrow), \quad (3.30)$$

gdje je  $I_H$  veli~ina strujnog histerezisa, a  $i_a^*$  referentna vrijednost struje a faze. Analogno vrijedi i za ostala 2 prekida-a u gornjoj grani invertorskog mosta. Grafik struje jednosmjernog me|ukola i faznih struja za optere}enje sa sl. 3.9 prikazan je na sl. 3.10.

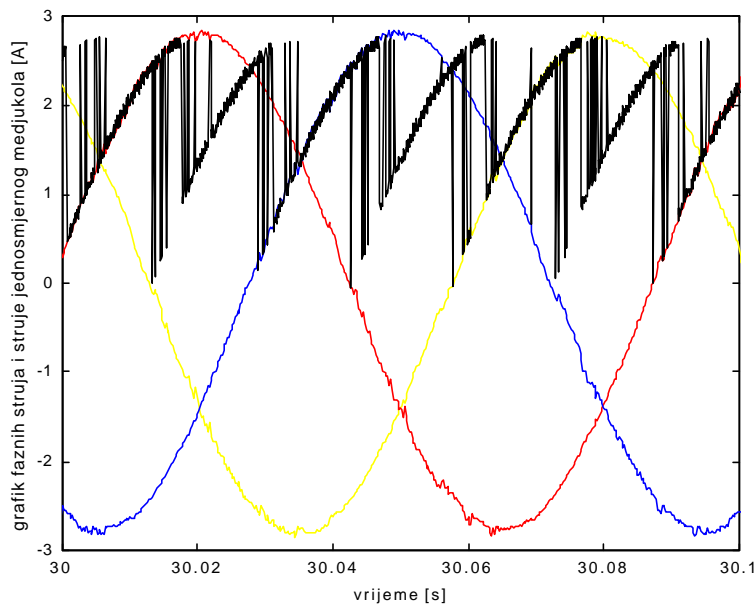
U algoritmu optimizacije potrebno je izvr{iti usrednjavanje snage gubitaka u vremenskom intervalu dovoljno dugom da se stabilizuje prelazni procesi prouzrokovani prethodnom promjenom fluksa, odnosno struje  $i_d$ . To vrijeme [1] mora da bude barem 3-5 puta ve}e od vremenske konstante brzinskog regulatora i konstante rotorskog kola (uspostavljanje fluksa) i u konkretnom primjeru iznosi  $T_1=0.5\text{s}$ . Period odabiranja u sistemu odre|en je prije svega karakteristikama strujnog regulatora i iznosi  $T_s=0.0001\text{s}$ .



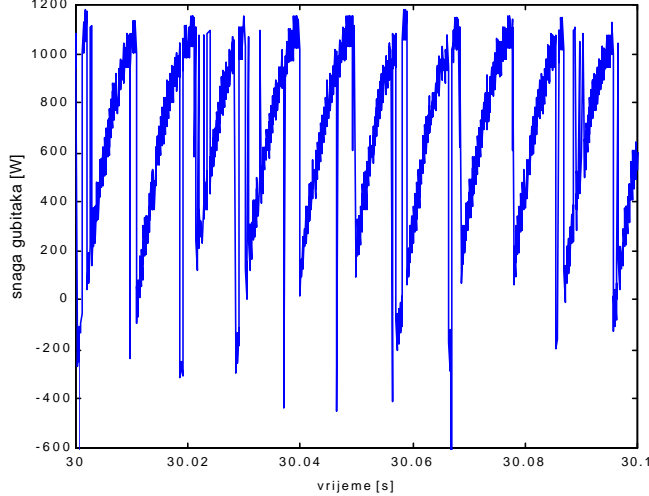
**Slika 3.8. Odre|ivanje struje jednosmjernog me|ukola iz modela DC/AC pretvara-a.**



**Slika 3.9. Momenat na vratilu motora za koji je vr{ena simulacija rada pogona.**



**Slika 3.10. Prikaz vremenske promjene struja jednosmernog medjuukola i faznih struja dobijen simulacijom.**



**Slika 3.11. Grafik snage gubitaka dobijen simulacijom u programskom paketu Simulink.**

Srednja vrijednost snage gubitaka u vremenskom intervalu  $T_1$  određena je sa:

$$P_{g_{sr}} = \sum_{k=1}^n T_s P_g(k), \quad n = \frac{T_1}{T_s}, \quad (3.31)$$

gdje je  $P_g(k)$  trenutna vrijednost snage gubitaka u trenutku  $k \cdot T_s$ .

## 4. SINTEZA REGULATORA ZA POVE] ANJE STEPENA KORISNOG DEJSTVA VEKTORSKI REGULISANOG POGONA SA ASINHRONIM MOTOROM

### 4.1 GRADIJENTNA METODA I KRITERIJUMSKA FUNKCIJA

Procesi u industrijskim sistemima obično su pravjeni određenim rezultatima koji se mogu okarakterisati kao pozitivni, ili negativni. U većini slučajeva, podeavanjem određenih parametara procesa može je pozitivne rezultate povezati, a negativne smanjiti. Drugim riječima, odgovarajućim podeavanjem parametara procesa može je izvršiti njegovu optimizaciju za dati kriterijum. U ovom slučaju optimizacioni proces je složen i zahtjeva složena izračunavanja i primjenu odgovarajućih matematičkih metoda. Kompleksnost izračunavanja je tim veća, to je veći broj parametara koji se podejavaju u toku optimizacije, i ako su jednačine koje opisuju proces nelinearne.

U klasi metoda koji se koriste u optimizaciji funkcija posebnu ulogu igraju gradijentni metodi. Pretpostavimo da se proces koji se optimizuje opisuje sistemom jednačinama među kojima može biti i nelinearnih na sljedeći način:

$$f_i(x_1, x_2, \dots, x_n) = 0, \quad i=1,2,\dots,n; \quad (4.1)$$

ili, u matričnom obliku

$$\vec{f}(x) = \vec{0}. \quad (4.2)$$

Gradijentni metod za rješavanje datog sistema jednačina zasniva se na minimizaciji funkcionele [7]:

$$U(\vec{x}) = \sum_{i=1}^n f_i(x_1, x_2, \dots, x_n)^2. \quad (4.3)$$

Pretpostavimo da jednačina (4.2) ima jedinstveno rješenje  $\vec{x} = \vec{a}$ , za koje funkcionala  $U$  dostigne minimum. Neka je  $\vec{x}^{(0)}$  početna aproksimacija ovog rješenja. Konstruićemo niz  $(\vec{x}^{(k)})$  takav da je:

$$U(\vec{x}^{(0)}) > U(\vec{x}^{(1)}) > U(\vec{x}^{(2)}) > \dots \quad (4.4)$$

Vrijednost vektora  $\vec{x}^{(k)}$  u sljedećem koraku  $\vec{x}^{(k+1)}$  određena je sa:

$$\vec{x}^{(k+1)} = \vec{x}^{(k)} - \mathbf{I}_k \nabla U(\vec{x}^{(k)}), \quad (4.5)$$

gdje je

$$\nabla U(\vec{x}) = \text{grad } U(\vec{x}) = \left[ \frac{\partial U}{\partial x_1}, \dots, \frac{\partial U}{\partial x_n} \right]. \quad (4.6)$$

Parametar  $\mathbf{I}_k$  odre|ujemo iz uslova da skalarna funkcija  $S$ , definisana kao

$$S(t) = U(\bar{x}^{(k)} - t \nabla U(\bar{x}^{(k)})) \quad (4.7)$$

ima minimum u ta~ki  $t = \mathbf{I}_k$ .

Na osnovu izraza (4.5) mo`e se zaklju~iti da je najbr`e smanjenje funkcije koju minimizujemo u smjeru negativnog gradijenta te funkcije.

Problem optimizacije koji tretira ovaj rad je pojednostavljen, budu}i da je funkcija snage elektri~nih gubitaka ( $P_g$ ), koja se minimizuje, funkcija samo jedne promjenjive, fluksa  $\Psi$  (jedna~ina 2.7, str. 17), tj.  $P_g = P_g(\Psi)$ . Na ovaj na~in problem se svodi na jednodimenzionalni, tj. u svakom koraku potrebno je odrediti samo smjer i veli~inu koraka promjene fluksa. Ako je poznata vrijednost fluksa u k -tom koraku, smjer promjene u k+1 koraku odre|uje se kao:

$$\mathbf{u} = -\frac{\nabla P_g(\Psi^{(k)})}{\|P_g(\Psi^{(k)})\|}, \quad (4.8)$$

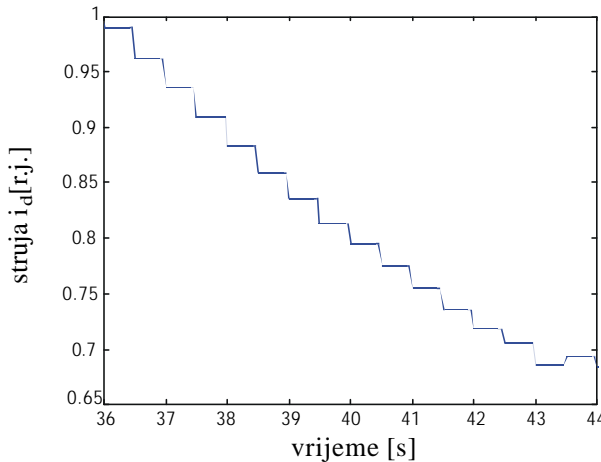
pri ~emu je:

$$\nabla P_g(\Psi^{(k)}) = \frac{\partial P_g}{\partial \Psi} \Big|_{\Psi=\Psi^{(k)}}. \quad (4.9)$$

Veli~ina promjene fluksa ( $\Delta\Psi^{(k)}$ ) u k+1 koraku na osnovu izraza (4.7) odre|uje se minimizacijom funkcije:

$$P_g(\Psi^{(k)} - \Psi \nabla P_g(\Psi^{(k)})). \quad (4.10)$$

Na slici 4.1 prikazan je rad algoritma za minimizaciju gubitaka u kojem je primjenjena gradijentna metoda, pri skokovitoj promjeni momenta optere}enja sa  $0.7M_{emn}$  na  $0.3M_{emn}$ . Grafik je dobijen simulacijom u programskom paketu *Matlab-Simulink* za motor ~iji su parametri dati u prilogu rada.



**Slika 4.1. Primjena gradijentne metode u algoritmu za minimizaciju gubitaka vektorski regulisanog asinhronog pogona.**

## Kriterijumska funkcija

Kriterijumska funkcija je funkcija na osnovu koje se vr{i ocjena kvaliteta nekog sistema, procesa ili metoda. Ako se radi o algoritmu za minimizaciju gubitaka kriterijumska funkcija treba kvalitativno da iska`e [10]:

- brzinu kojom funkcija  $i_d = f(t)$  konvergira prema optimalnoj vrijednosti;
- veli~inu oscilacija struje  $i_d$  oko optimalne vrijednosti  $i_d^{opt}$ ;
- veli~inu preskoka optimalne vrijednosti struje  $i_d$ , u trenutku kada je struja  $i_d = f(t)$  posti`e.

Potrebno je da struja  $i_d=f(t)$  postigne optimalnu vrijednost u {to manjem broju koraka. Idealno bi bilo da to bude u samo jednom koraku ( $N=1$ ). Oscilacije struje  $i_d$  ( $\Delta i_d$ ) oko ravnote`nog polo`aja treba da budu {to manje, kako bi male bile i pulsacije elektromagnetskog momenta. U slu~aju skokovitog preskoka struje  $i_d$  preko optimalne vrijednosti, algoritam za minimizaciju gubitaka vratit }e struju  $i_d$  prema optimalnoj vrijednosti. Po`eljno bi bilo da preskok ( $p$ ) bude 0.

Na osnovu ove analize kriterijumska funkcija mogla bi imati sljede}i oblik [10]:

$$k = k_1 \frac{1}{N} + k_2 \frac{1}{1 + \Delta i_{d\min}} + k_3 \frac{1}{1 + p}. \quad (4.11)$$

Funkcija  $k$  uzima vrijednosti iz opsega [0 1]. Koeficijenti  $k_1$ ,  $k_2$  i  $k_3$  su te`inski koeficijenti i za ove koeficijente vrijedi:

$$k_1 + k_2 + k_3 = 1. \quad (4.12)$$

U idealnom slu~aju, kada je  $N=1$ ,  $\Delta i_{d\min}=0$  i  $p=0$ , kriterijumska funkcija ima maksimalnu vrijednost  $k=1$ . Realno uvijek je  $k<1$ , budu}i da  $\Delta i_{d\min} \in (0, i_{dn}[r,j])$  i  $p \in (0, i_{dn}[r,j])$ . Obi~no je i  $N>1$ .

Kriterijumska funkcija za minimizaciju gubitaka snage elektromotornog pogona sa asinhronim motorom mo`e se predstaviti i na drugi na~in, kao:

Srednja vrijednost snage gubitaka ( $P_{gr}$ ) u toku rada pogona.

U ovom slu~aju, srednja vrijednost snage gubitaka data je sa:

$$P_{gr} = \frac{\sum_{k=1}^n P_g(k)}{n}, n = \frac{T_1}{T_s}, \quad (4.13)$$

gdje je  $T_1$  vremenski interval za koji se izra~unava srednja vrijednost, a  $T_s$  period odmjeravanja u kome se uzima informacija o snazi gubitaka. Srednja vrijednost snage gubitaka treba da bude {to manja. U idealnom slu~aju vrijednost  $P_{gr}$  je jednaka 0, ali realno nije, i kre}e se u opsegu (0,  $P_{gr\max}$ ). Po`eljno je da interval  $T_1$  bude {to du`i. Za kvalitativnu ocjenu razli~itih algoritama za minimizaciju gubitaka primjenom kriterijumskih funkcija, potrebno je prate}enje rada vr{iti pod istim uslovima. Tako |e, analizu rada optimizacionih algoritama potrebno je vr{iti u uslovima koji se susre}u u

realnom radu pogona, {to uklju~uje promjenu brzine (linearnu ili skokovitu) ili, iznenadne promjene optere}enja.

## 4.2 OSNOVNE POSTAVKE FAZI LOGIKE

### Elementi fazi logike

Fazi logika predstavlja metod koji se danas dosta koristi i pru`a velike mogu}nosti u rje{avanju problema u automatskom upravljanju i obradi informacija. ^esto se koristi u nelinearnim i adaptivnim sistemima upravljanja, te projektovanju robusnih sistema automatskog upravljanja (AU). Ona omogu}ava da se na jednostavan na-in donose korektni zaklju~ci na osnovu nedovoljno odre|enih, ili nepreciznih polaznih (ulaznih) informacija.

Budu}i da se dono{enje zaklju~aka vr{i na osnovu lingvisti~kih izraza (fazi pravila) koji se nalaze u bazi znanja, fazi sisteme mo`emo posmatrati kao intelligentne, jer podr`avaju ~ovjekov na-in razmi{ljanja.

Analizom gubitaka u elektromotornom pogonu (poglavlje 3., odjeljak 3.1), utvr|eno je da je precizan matemati~ki model gubitaka snage u pogonu slo`en i da je zavisnost snage gubitaka od fluksa nelinearna funkcija. Dakle, radi se o nelinearnom sistemu ~iji je model slo`en, a pona{anje poznato, tako da se upravljanje mo`e vr{iti na osnovu pravila po kojima se sistem pona{a. Iz ovoga se mo`e zaklju~iti da bi metod koji se bazira na principima fazi logike bio dobar za sintezu regulatora za pove}anje stepena korisnog dejstva elektromotornog pogona sa asinhronim motorom.

Elementi fazi logike jednostavno se mogu opisati kroz primjere. Pretpostavimo da posmatramo brzinu kretanja putni~kog automobila i da ona mo`e biti u opsegu od 0 do 120 km/h. To zna~i da skup brzina od 0 do 120 km/h predstavlja domen iz kojeg brzina putni~kog automobila (ulazna promjenjiva ) uzima vrijednost. Ozna~imo ovaj skup sa X. Defini{imo skup velika brzina koje ~ine brzine u opsegu od 80 km/h do 120 km/h i ozna~imo ovaj skup sa A. Za klasi~ne skupove element  $x \in X$  mo`e pripadati skupu A, ili ne pripadati, odnosno, pripadnost svakog elementa skupa X, skupu A, mo`e se matemati~ki definisati binarnom funkcijom:

$$c_A(x) = \begin{cases} 1, & x \in A \\ 0, & x \notin A \end{cases}. \quad (4.14)$$

To zna~i, ako je brzina automobila 79km/h njena pripadnost skupu A je 0, a ako je brzina automobila 80km/h pripadnost je 1. O-igledno je da binarna logika ne dozvoljava predstavljanje stanja izme|u 0 i 1.

Fazi logika omogu}ava da se za elemente iz skupa X mo`e definisati i stepen pripadnosti definisanom skupu X, pri ~emu pripadnosti prima vrijednosti iz intervala [0 1]. Posmatrajmo iskaz:

Brzina automobila je velika.

Uvo|enjem opisne promjenjive “velika brzina” koja se defini{e u X, elementima iz skupa X (brzine putni~kog automobila) dodjeljuje se istinitosna vrijednost iz opsega [0 1]. Na taj na-in definisano je preslikavanje skupa X na interval [0 1]. Ovo

#### 4. Sinteza regulatora za pove}jenja stepena korisnog dejstva vektorski regulisanog pogona sa asinhronim motorom

preslikavanje nazivamo fazi skupom. Ozna~imo ovaj fazi skup sa  $\tilde{A}$ . Matemati~ka prezentacija stepena pripadnosti elementa  $x \in X$  fazi skupu  $\tilde{A}$  data je sa :

$$m_{\tilde{A}}(x) \in [0 \ 1] \quad (4.15)$$

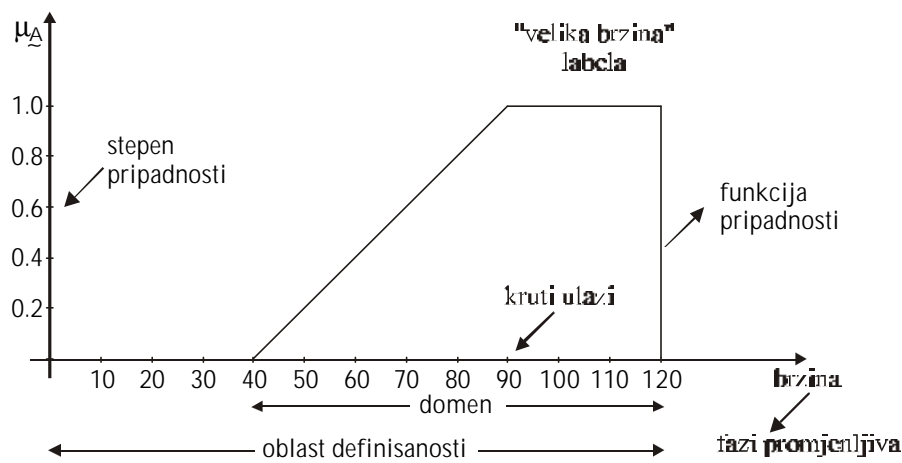
Dodjeljivanje stepena pripadnosti brzine putni~kog automobila u odnosu na skup na kome je definisana “velika brzina” prikazan je u tabeli 4.1.

Iz tabele 4.1 mo`e se vidjeti da brzina od 60 km/h pripada fuzzy skupu “velika brzina” sa stepenom pripadnosti 0.4, dok brzina od 100km/h ima stepen pripadnosti 1, odnosno punu pripadnost skupu “velika brzina”.

Grafi~ki prikaz funkcije pripadnosti definisane tabelom 4.1 i elementi teorije fazi skupova prikazani su na sl. 4.2.

**Tabela 4.1. Primjer dodjeljivanja stepena pripadnosti fazi skupu.**

brzina automobila [km/h]	stepen pripadnosti brzine automobila fazi skupu “velika brzina”
10	0.0
20	0.0
30	0.0
40	0.0
50	0.2
60	0.4
70	0.6
80	0.8
90	1.0
100	1.0
110	1.0
120	1.0



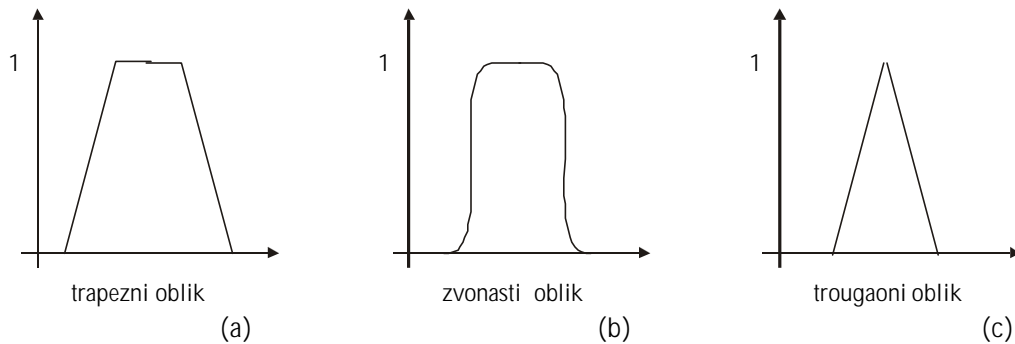
**Slika 4.2. Grafi~ki prikaz funkcije pripadnosti definisane tabelom 4.1.**

Osnovni pojmovi teorije fazi skupova prikazani su na sl. 4.2. To su:

- kruti (*crisp*) ulazi – ulazni podaci koji se egzaktno mijere ili defini{u;
- oblast definisanosti (*universe of discourse*) – skup svih mogu}ih vrijednosti koje mo`e da ima kruta promjenjiva;
- domen – opseg vrijednosti krute promjenjive ~iji je stepen pripadnosti fazi skupu razli~it od 0;
- funkcija pripadnosti (*membership function*) – defini{e fazi skup tako da svakom *crisp* ulazu dodjeljuje ta~no odre|enu vrijednost iz opsega [0 1], {to predstavlja stepen pripadnosti;
- stepen pripadnosti (*degree of membership*) – defini{e stepen pripadnosti *crisp* podatka fazi skupu i mo`e imati vrijednost iz intervala [0 1];
- labela je opisno ime za odre|enu funkciju pripadnosti.

Funkcije pripadnosti predstavljaju na~in na koji se matemati~ki modeliraju lingvisti~ki iskazi koje svakodnevno susre}emo u ljudskom govoru.

Oblici funkcija pripadnosti mogu biti linearne sl. 4.3(a) i 4.3(c) i nelinearne sl. 4.3(b). Naj-e{}i linearni oblici su trougaoni i trapezoidni, a nelinearni oblika Belove krive, Gausove krive i sigmoidalni. Nelinearni oblici o mogu}uju finiju predstavu funkcije pripadnosti, ali su sa stanovi{ta primjene linearni oblici mnogo jednostavniji.



**Slika 4.3. Neki karakteristi~ni oblici funkcija pripadnosti.**

Kompletan postupak transformacije *crisp* podatka (ta~no odre|ena brojna vrijednost) u odgovaraju}i fazi skup naziva se fazifikacija. Obi~no, prije nego li se fazifikuje ulazni podatak, potrebno ga je normalizovati na opseg prilago|en fazi kontroleru.

## Fazi pravila

Fazi pravilima opisuje se pona{anje sistema, odnosno me|usobni odnos fazi skupova razli~itih opisnih promjenjivih.

U oblasti vje{ta-ke inteligencije postoji vi{e razli~itih na~ina za predstavljanje znanja. Naj{ire prihva}en na~in je predstavljanje znanja u obliku karakteristi~nim za prirodni jezik, budu}i da ima formu uslovnog lingvisti~kog iskaza:

IF premisa THEN zaklju~ak.

Ova forma predstavljanja znanja poznata je kao IF-THEN pravilo. Ona obično predstavlja takav oblik zaklju~ivanja u kome znamo premisu i hipotezu, a onda postupkom zaklju~ivanja, ili izvo|enja, dobijamo ~injenicu koju zovemo zaklju~ak, ili posljedica.

Fazi pravila u osnovi predstavljaju IF-THEN pravila, s tim da je iskaze dodjeljivanja dozvoljeno povezati AND ili OR logi~kim operatorima. Svako fazi pravilo ima odgovaraju}u formu:

IF ulaz\_1 is labela\_1 AND(OR) ulaz\_2 is labela\_2 AND(OR) ... ulaz\_n is labela\_n THEN posljedica\_1 is labela\_p1 AND(OR) ...posljedica\_n is labela\_pn, pri ~emu mora mora biti zadovoljena sljede}a sintaksa:

- svako pravilo po~inje sa IF;
- svaki uzrok je u obliku ulaz\_i is labela\_i, gdje je **is** obavezna rije~, ulaz\_i i-ta ulazna fazi promjenjiva, a labela\_i prethodno definisana labela i-te ulazne promjenjive;
- izme|u IF i THEN mo`e da bude proizvoljan broj uzroka;
- ispred THEN nalaze se uzroci, a iza THEN posljedice, tako da rije~ THEN odvaja uzrok od posljedice;
- posljedica je oblika izlaz\_j is labela\_pj, gdje je **is** obavezna rije~, izlaz\_j j-ta izlazna fazi promjenjiva, a labela labela\_pj je prethodno definisana labela j-te izlazne promjenjive izlaz\_j;
- iza rije~i THEN mogu}e je imati proizvoljan broj posljedica, pri ~emu su svake dvije posljedice odvojene sa AND ili OR operatorom.

U primjeru fazi pravila:

IF masa **is** mala AND brzina **is** velika THEN energija **is** srednja,

masa i brzina su ulazne fazi promjenjive, energija je izlazna fazi promjenjiva, mala je labela ulazne promjenjive masa, velika labela ulazne promjenjive brzina, a srednja je labela posljedice energija.

### Fazi logika

Logi~ke veze tipa negacije, disjunkcije, konjukcije i implikacije definisane su i za fazi logiku. Za iskaz  $P$  definisan na fazi skupu  $\tilde{A}$  i iskaz  $Q$  definisan na fazi skupu  $\tilde{B}$  logi~ke veze definisane su na slijede}i na~in:

Negacija

$$\bar{T}(P)=1-T(P), \quad T(P)=\mathbf{m}_{\tilde{A}}(x), \text{ gdje je } 0 \leq \mathbf{m}_{\tilde{A}}(x) \leq 1;$$

Disjunkcija

$$P \vee Q \quad T(P \vee Q)=\max(T(P),T(Q));$$

Konjunkcija

$$P \wedge Q \quad T(P \wedge Q)=\min(T(P),T(Q));$$

### Implikacija

$$P \rightarrow Q \quad T(\bar{P} \vee Q) = \max(T(\bar{P}), T(Q)).$$

Ako su istinitosne vrijednosti iskaza 0 ili 1, rezultati logi~kih operacija u Bulovoj i fazi algebri da}e isti rezultat. Me|utim, za vrijednost iskaza izme|u 0 i 1 Bulova logika nije definisana, dok }e fazi logika dati razumljive rezultate, pa Bulovu logiku mo`emo smatrati specijalnim slu~ajem fazi logike.

### Fazi zaklju~ivanje

Fazi zaklju~ivanje je proces formiranja ukupne posljedice na osnovu doprinosa u formiraju te posljedice svakog od fazi pravila ponaosob. Metodi fazi zaklju~ivanja koji se najvi{e koriste su:

1. Mamdani metod zaklju~ivanja koji se zasniva na *max-min* operatoru zaklju~ivanja;
2. Larsenov metod zasnovan na *max product* operatoru zaklju~ivanja.

Postupak fazi zaklju~ivanja primjenom Mamdani metoda i za slu~aj krutog ulaza mo`e se predstaviti jednostavnim primjerom. Ovaj metod je upotrebljen i u realizaciji fazi kontrolera za minimizaciju gubitaka vektorski regulisanog pogona sa asinhronim motorom.

Pretpostavimo da modeliramo masu i brzinu kao ulaze u sistem, a energiju kao izlaz, i da su na osnovu posmatranja sistema dobijena sljede}a dva pravila:

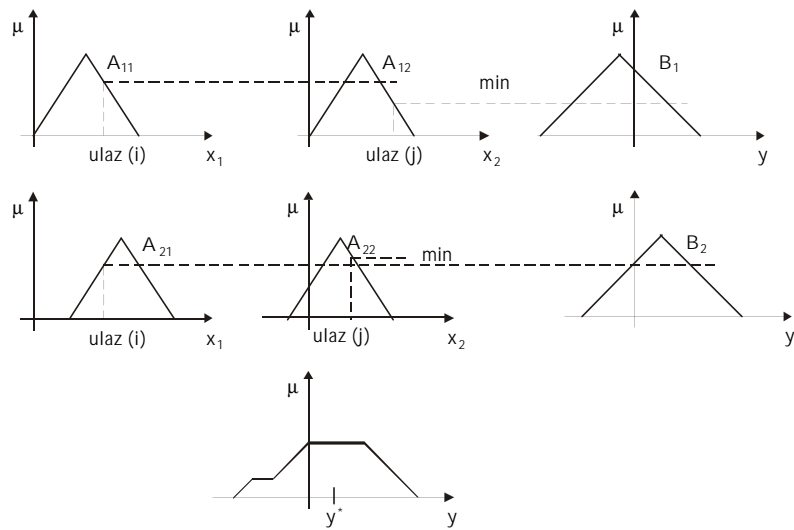
Pravilo 1: IF  $x_1$  is  $\tilde{A}_1^1$  (mala masa) AND  $x_2$  is  $\tilde{A}_2^1$  (velika brzina) THEN  $y$  is  $\tilde{B}^1$  (srednja energija).

Pravilo 2: If  $x_1$  is  $\tilde{A}_1^2$  (velika masa) AND  $x_2$  is  $\tilde{A}_2^2$  (srednja brzina) THEN  $y$  is  $\tilde{B}^2$  (velika energija).

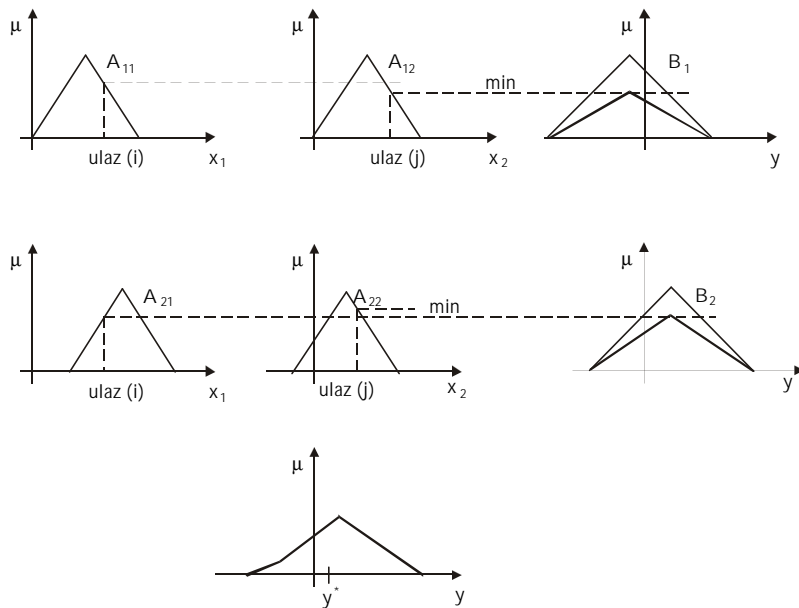
Grafi~ki prikaz postupka fazi zaklju~ivanja primjenom *Mamdani* metoda za ovaj primjer prikazan je na sl. 4.4. Fazi promjenjive masa i brzina za svako pravilo predstavljene su svojim funkcijama pripadnosti. Tako|e, posljedica - energija predstavljena je za svako pravilo funkcijom pripadnosti.

*Crisp* ulazi za masu i brzinu presjecaju funkcije pripadnosti (sl. 4.4). Minimalna, ili maksimalna vrijednost stepena pripadnosti, dobijena u presjeku krutih ulaza sa funkcijama pripadnosti, produ~ava se do presjeka sa funkcijom pripadnosti posljedice. Ako su iskazi dodjeljivanja povezani AND operatorom, uzima se minimalna, a ako su povezani OR logi~kim operatorom, uzima se maksimalna vrijednost.

Grafi~ki postupak fazi zaklju~ivanja *max-product* metodom za isti primjer prikazan je na sl. 4.5. Minimalna vrijednost stepena pripadnosti, dobijena u presjeku krutih ulaza sa funkcijama pripadnosti, produ~ava se do presjeka sa funkcijom pripadnosti posljedice. Kao rezultat dobija se skalirani trougao ~ija je visina odre|ena linijom presjeka. Agregacijom fazi pravila dobija se funkcija pripadnosti kona~ne posljedice. Postupkom defazifikacije, iz rezultuju}e funkcije pripadnosti izdvaja se izlaz kao ta~no odre|ena brojna vrijednost.



**Slika 4.4.** Grafi~ki prikaz fazi zaklju~ivanja primjenom Mamdani metoda.



**Slika 4.5.** Grafi~ki prikaz fazi zaklju~ivanja primjenom max-product metoda.

### Defazifikacija

Defazifikacija je proces u kome se kombinuju fazi izlazi, tako da se kao rezultat na izlazu fazi regulatora dobija ta~no odre|ena brojna vrijednost [33]. Ponekad je, iz prakti~nih razloga, nakon defazifikacije potrebno realizovati i postupak denormalizacije.

Naj~e{}e primjenjeni metodi defazifikacije su:

1. Princip maksimalne vrijednosti (*Max-membership principle*) .

4. Sinteza regulatora za pove}jenja stepena korisnog dejstva vektorski regulisanog pogona sa asinhronim motorom

---

Ovaj metod u literaturi poznat je kao visinski metod. Dat je algebarskim izrazom:

$$\tilde{m}_A(x^*) \geq \tilde{m}_A(x), \quad \forall x \in X. \quad (4.16)$$

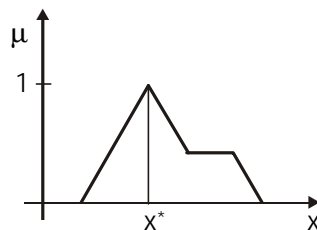
Primjena metoda grafi~ki je prikazana na sl. 4.6.

2. Te`inski metod (*center of gravity or centroid method*)

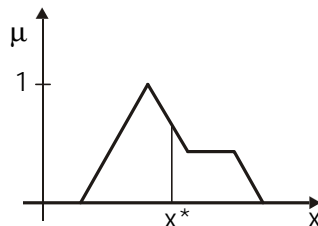
Ovaj metod je naj{ire prihva}en me| u svim metodama defazifikacije. Dat je algebarskim izrazom:

$$x^* = \frac{\int \tilde{m}_A(x) x dx}{\int \tilde{m}_A(x) dx}. \quad (4.17)$$

Primjena ovog metoda grafi~ki je prikazana na sl. 4.7.



**Slika 4.6. Grafi~ki prikaz defazifikacije principom maksimalne pripadnosti.**



**Slika 4.7. Grafi~ka interpretacija te`inskog metoda defazifikacije.**

3. Metod srednje te`ine (*weighted average method*)

Ovaj metod primjenjuje se ako su izlazne funkcije pripadnosti simetri~ne. Opisan je algebarskim izrazom:

$$x^* = \frac{\sum \tilde{m}_A(x) x dx}{\sum \tilde{m}_A(x) dx}, \quad (4.18)$$

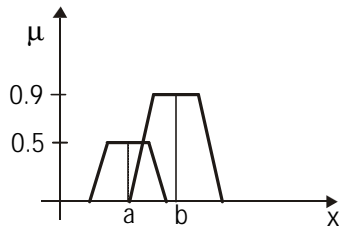
a njegova grafi~ka interpretacija prikazana je na sl. 4.8.

4. Metod srednje vrijednosti odre|en iz maksimalnih vrijednosti izlaznih funkcija pripadnosti (*Mean-max membership method*)

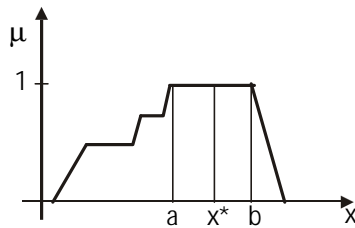
Opisan je algebarskim izrazom:

$$x^* = \frac{a+b}{2}, \quad (4.19)$$

gdje su  $a$  i  $b$  grani-ne vrijednosti (a-po-etna, b-krajnja) za koje izlazna funkcija pripadnosti, dobijena nakon procesa zaklju-ivanja, ima maksimalnu vrijednost. Primjena ovog metoda predstavljena je na sl. 4.9.



**Slika 4.8. Grafi-ki prikaz defazifikacije metodom srednje te`ine.**



**Slika 4.9. Grafi-ki prikaz postupka defazifikacije metodom srednje vrijednosti odre|ene iz maksimalnih vrijednosti izlaznih funkcija pripadosti.**

### 4.3 PROGRAMSKI ALATI ZA SINTEZU FAZI SISTEMA

Fuzzy Logic Toolbox obezbje|uje korisnicima programskog paketa Matlab alat, da kreiraju i prika` u fazi sistem u Matlab okru`enju, ili da ga integri{u u simulacioni model napravljen u Simulink-u, ili ~ak i da naprave nezavisne C programe koji proisti~u iz fazi sistema izgra|enih u Matlab -u.

Fuzzy Logic Toolbox obezbje|uje 3 vrste alata [10]:

- uno{enje funkcija sa komandne linije Matlab-a,
- grafi-ki interaktivni alat i
- Simulink blokove i primjere.

Prvu vrstu alata sa-injavaju funkcije koje korisnik mo`e da pozove sa komandne linije alata, ili da ih koristi u vlastitim aplikacijama u cilju sinteze fazi sistema. Tipi-na funkcija koja se koristi za obuku fazi sistema je *anfis*. Ona koristi hibridni metod za identifikaciju parametara *Sugeno* tipa fazi zaklju-ivanja primjenjuju}i kombinaciju metoda najmanjih kvadrata i pravila povratnog prostiranja

(*backpropagation*). To zna-i da se kod *Sugeno* tipa u modelovanju fazi sistema zaklju~ivanja (FIS) primjenjuju metode koje se koriste u obuci neuronskih mre`a.

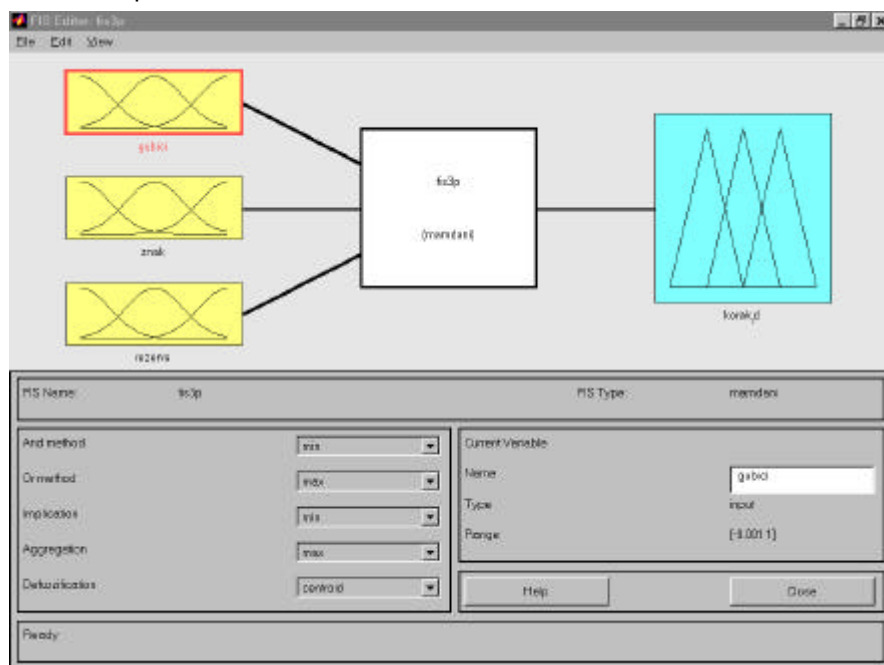
Pravilo povratnog {irenja je najra{irenija princip u obuci neuronskih mre`a i predstavlja osnovu mnogih drugih metoda koje se koriste u vje{ta~koj inteligencije. Obuka se izvodi za ve}i broj ulaznih uzoraka. Za odre|eni vektor ulaza (ulazni uzorak) posmatra se dobijeni izlaz i upore|uje sa o-ekivanom vrijedno}u. Na osnovu razlike izme| u dobijene i o-ekivane vrijednosti na izlazu formira se srednje-kvadratna gre{ka za taj izlaz. Sumiranjem srednje-kvadratnih gre{aka za sve izlaze dobija se ukupna srednje-kvadratna gre{ka za odre|eni ulazni uzorak. Ovako izra~unata gre{ka koristi se za pode{avanje parametara sistema i to vr{e}i modifikaciju parametara idu}i od izlaza prema ulazu. Modifikacija parametara vr{e}i se gradijentnom metodom. Izra~unavanjam gradijenta ukupne srednje kvadratne gre{ke za dati ulazni uzorak dobija se informacija o smjeru promjene parametra kojim se gre{ka smanjuje. Kada se zavr{i}i pode{avanje parametara, sve do ulaznog nivoa, na ulaz se dovodi ponovo isti uzorak i posmatra izlaz. Postupak se ponavlja sve dok se ne dobije dovoljno mala ukupna srednje-kvadratna gre{ka.

Druga vrsta alata obezbje|uje mogu}nost pristupa mnogobrojnim funkcijama pomo}u grafi~kog interfejsa. Alati ovog grafi~kog interaktivnog interfejsa omogu}uju sintezu baze znanja fazi sistema, njegovu analizu i primjenu.

Tre}a vrsta alata je skup blokova za kori{jenje u Simulink-u. Ovi alati omogu}uju jednostavno uklju~enje fazi sistema u Simulink model.

U algoritmu za minimizaciju gubitaka opisanom u ovom radu sinteza fazi sistema izvr{ena je kori{tenjem grafi~kog interfejsa. Ovaj interfejs ima 5 osnovnih alatki koje omogu}avaju sintezu baze znanja, prikaz i analizu fazi sistema. To su:

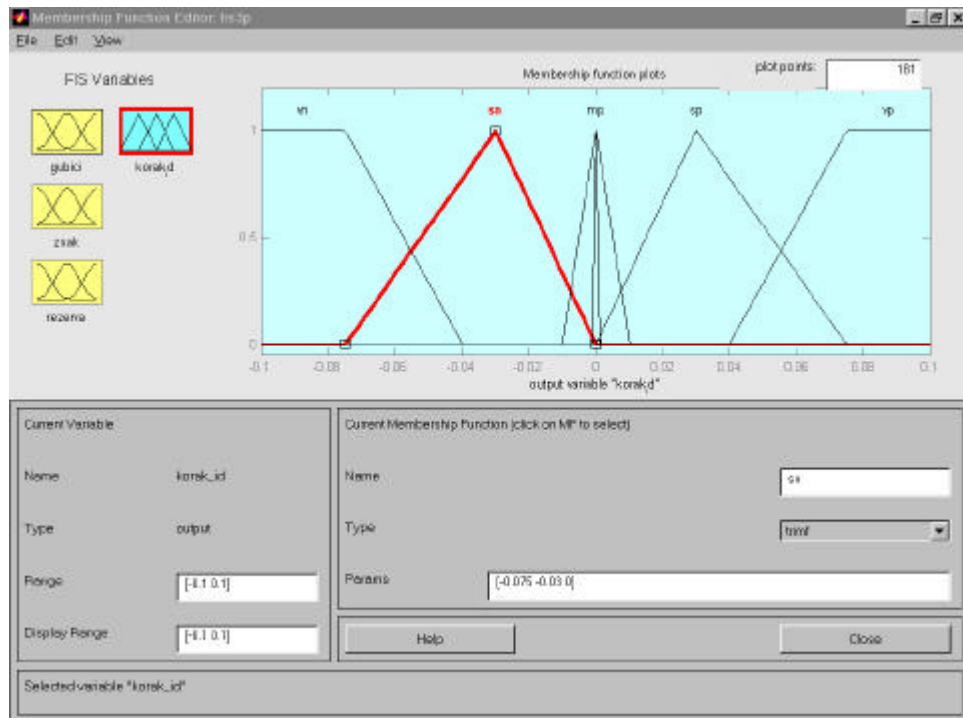
- osnovni prikaz fazi sistema,



*Slika 4.10. Osnovni prikaz fazi sistema u Fuzzy Logic Toolbox-u.*

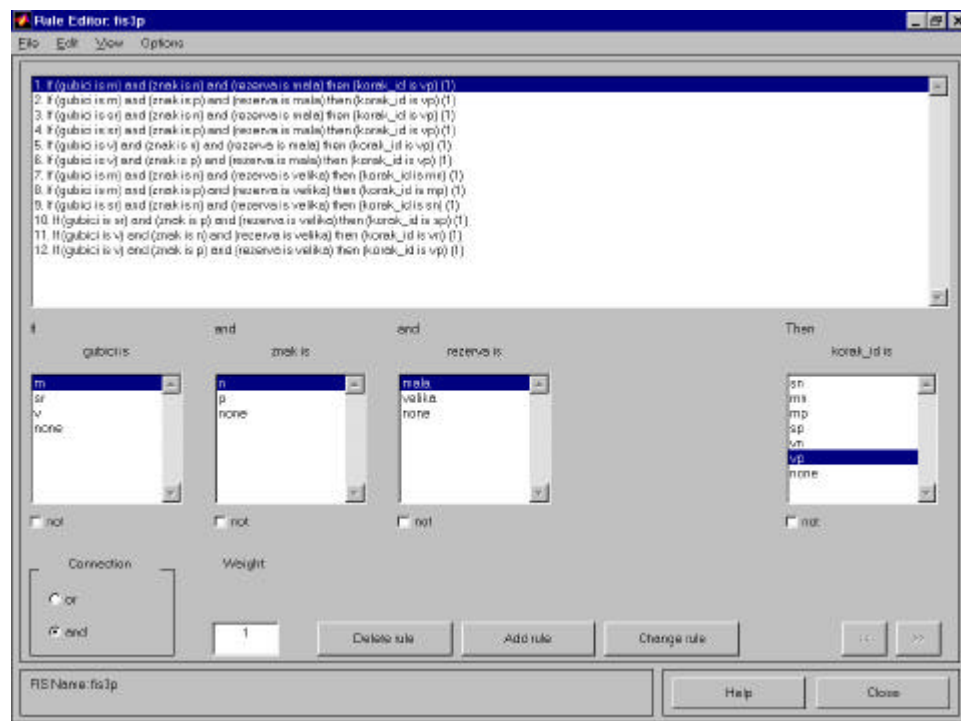
#### 4. Sinteza regulatora za pove}jenja stepena korisnog dejstva vektorski regulisanog pogona sa asinhronim motorom

- editor funkcija pripadnosti,



**Slika 4.11. Editor funkcija pripadnosti u Fuzzy Logic Toolbox-u.**

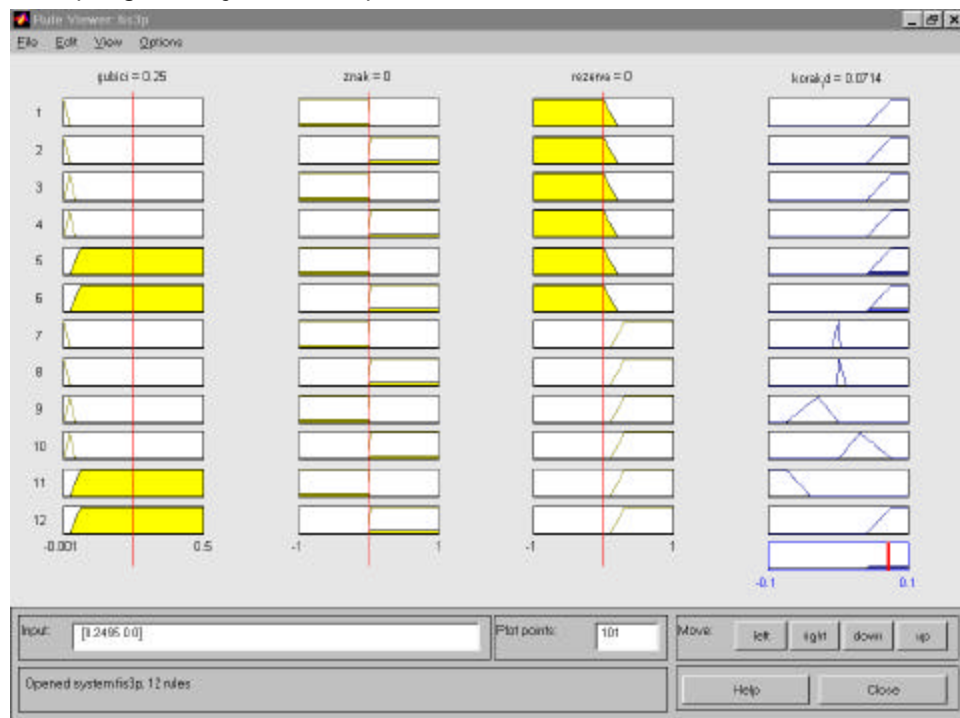
- editor fazi pravila,



**Slika 4.12. Editor fazi pravila u Fuzzy Logic Toolbox-u.**

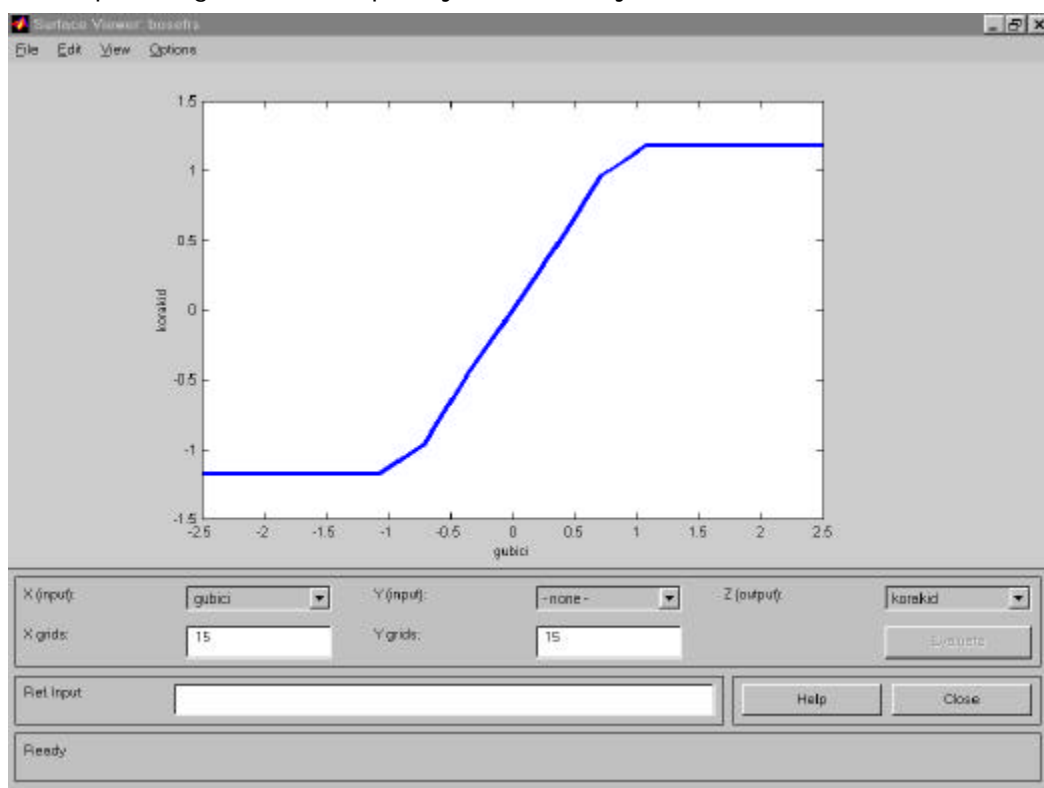
4. Sinteza regulatora za pove}jenja stepena korisnog dejstva vektorski regulisanog pogona sa asinhronim motorom

- pregled dejstva fazi pravila i



Slika 4.13. Pregled dejstva fazi pravila u Fuzzy Logic Toolbox-u.

- prikaz generisane upravlja~ke funkcije.



Slika 4.14. Prikaz generisane upravlja~ke funkcije u Fuzzy Logic Toolbox-u.

Osnovni prikaz fazi sistema koristi se za formiranje strukture fazi sistema, odre|ivanje broja i imena ulaznih i izlaznih promjenjivih. U editoru funkcija pripadnosti, za svaku ulaznu i izlaznu promjenjivu, formiraju se funkcije pripadnosti pridru`ene opisnim promjenjivim u sistemu. Editor fazi pravila koristi se za unos fazi pravila kojima se opisuje pona{anje sistema. Pregled dejstva fazi pravila i prikaz generisane upravlja~ke funkcije koristi se samo za analizu pona{anja fazi sistema.

#### **4.4 PROJEKTOVANJE OPTIMIZACIONOG REGULATORA ZA MINIMIZACIJU SNAGE GUBITAKA VEKTORSKI REGULISANOG ASINHRONOG POGONA**

##### **Definisanje zadatka i specifikacija zahtjeva**

Uz zadatak i zahtjeve koje treba da zadovolji fazi optimizator i koji su opisani u uvodnoj glavi (odjeljak 1.3), potrebno je razmotriti i zahtjeve koji se kao globalni postavljaju pred sve algoritme za minimizaciju gubitaka vektorski regulisanih pogona sa asinhronim motorom. To su [12]:

- 1) pronala`enje optimalne radne ta~ku motora za bilo koju brzinu i optere}enje unutar radnog podru~ja;
- 2) brzo pronala`enje optimalne radne ta~ke;
- 3) potreba za minimalnim brojem senzora;
- 4) jednostavan za primjenu;
- 5) primjenjiv za standardni pogon;
- 6) primjenjiv za bilo koji indukcioni motor ~iji su standardni parametri poznati;
- 7) robustan na iznenadne promjene optere}enja;
- 8) nije osjetljiv na promjene parametara motora.

##### **In`enjerska interpretacija zadatka i zahtjeva**

Na osnovu karakteristika *search* algoritama (glava 2., odjeljak 2.2) i specificiranih zahtjeva mo`e se zaklju~iti da regulator treba da obezbjedi brz prelazak pogona u optimalni radni re`im za razli~ite vrijednosti brzine i optere}enja unutar radnog podru~ja i da bude robustan na promjene optere}enja. Ostale zahtjeve uglavnom ispunjavaju algoritmi zasnovani na *search* metodu.

Analizom gubitaka u elektromotornom pogonu (poglavlje 3., odjeljak 3.1) utvr|eno je da je precizan matemati~ki model gubitaka snage u pogonu slo`en i da je zavisnost snage gubitaka od fluksa nelinearna funkcija. Dakle, radi se o nelinearnom sistemu ~iji je model slo`en, a pona{anje poznato, tako da se upravljanje mo`e vr{iti na osnovu pravila po kojima se sistem pona{a. Iz ovoga se mo`e zaklju~iti da bi metod koji se bazira na primjeni fazi logike bio dobar za sintezu regulatora za pove}anje stepena korisnog dejstva.

Za date uslove rada, elektromotorni pogon }e sa stanovi{ta elektri-nih gubitaka imati optimalnu radnu ta~ku kada su gubici u pogonu najmanji. To zna-i da optimizacioni regulator mora kao ulazni podatak imati izmjerenu vrijednost snage gubitaka. Snaga gubitaka se izra~unava prema formuli 3.28 (poglavlje 3., str. 26).

U svakom koraku, promjenom nivoa fluksa (struje  $i_d$ ), treba postići da snaga gubitaka bude manja. Da bi se utvrdio korak i smjer promjene struje  $i_d$ , potrebno je u okviru optimizacionog regulatora odrediti veli~inu promjene snage gubitaka i njen znak. Promjena snage gubitaka u  $n$ -tom koraku data je sa:

$$\Delta P_g = P_g(n) - P_g(n-1), \quad (4.20)$$

gdje su  $P_g(n)$  i  $P_g(n-1)$  vrijednosti snage gubitaka u  $n$ -tom i  $(n-1)$ -om koraku. Veli~ina koraka promjene snage gubitaka  $\Delta P_g$  govori nam o “udaljenosti” od optimalnog radnog re`ima.

Optimizacioni regulator ne smije da naru{i kvalitativne karakteristike pogona, {to se posebno odnosi na regulaciju odre|enih veli~ina u pogonu kao {to su mehani~ka brzina  $w_r$ , ili pozicija  $J_r$ . Iz tog razloga, ulazni podatak u optimizacioni regulator treba da bude referentna vrijednost elektromagnetskog momenta ( $M_{em}^*$ ) dobijena na izlazu brzinskog regulatora. U okviru optimizacionog regulatora ne smije se mijenjati vrijednost  $M_{em}^*$ . Kada do|e do promjene struje  $i_d$ , eventualno manju vrijednost struje  $i_d$  potrebno je “nadomjestiti” ve}om vrijednosti aktivne komponente vektora statorske struje (jedna~ina 2.7, str. 12), i obrnuto, ~ime se zadr`ava zadata vrijednost elektromagnetskog momenta.

Fazi regulator djeluje tako da u datim uslovima rada pogona prilago|ava nivo fluksa u motoru u cilju smanjenja elektri~nih gubitaka. Prirodno, ako je pogon optere}en sa optere}enjem koje je manje od nominalnog, u cilju smanjenja gubitaka, fluks a samim tim i struja  $i_d$  ( $Y_r=L_m i_d$ ) ima}e vrijednosti koje su manje od nominalne. Ako motor radi sa fluksom manjim od nominalnog, pri naglim promjenama optere}enja mo`e se dogoditi da rezerva struje  $i_q$  ( $\Delta i_q = i_{qmax} - i_q$ ) nije dovoljna da se ostvari odgovaraju}a vrijednost elektromagnetskog momenta (jedna~ina 2.7, str. 12), pa dolazi do ne`elenog propada brzine. Zbog toga, u okviru fazi regulatora treba da postoji mehanizam koji prati rezervu struje  $i_q$  u odnosu na potrebnu rezervu elektromagnetskog momenta.

Na osnovu izlo`enog, mo`e se zaklju~iti da se pri odre|ivanju nove vrijednosti struje  $i_d$  moraju pratiti stanja slijede}e 3 veli~ine: korak promjene snage gubitaka ( $\Delta P_g$ ), znak  $\Delta P_g$  ( $\text{sgn}(\Delta P_g)$ ) i rezerva struje  $i_q$  ( $\Delta i_q$ ). Zbog toga je i predlo`en fazi kontroler sa 3 ulaza ( $\Delta P_g$ ,  $\text{sgn}(\Delta P_g)$ ,  $\Delta i_q$ ) i jednim izlazom, korakom promjene struje  $i_d$  ( $\Delta i_d$ ).

### Projektovanje optimizacionog regulatora

Na osnovu interpretacije specificiranih zahtijeva, formiran je model za pove}anje stepena korisnog dejstva vektorski regulisanih pogona sa asinhronim motorom ~iji je blok dijagram predstavljen na sl. 4.15.

Ulazi u optimizacioni regulator su snaga gubitaka, referentna vrijednost elektromagnetskog momenta i struja  $i_d$ , a izlazi, nove referentne vrijednosti struja  $i_d$  i  $i_q$ .

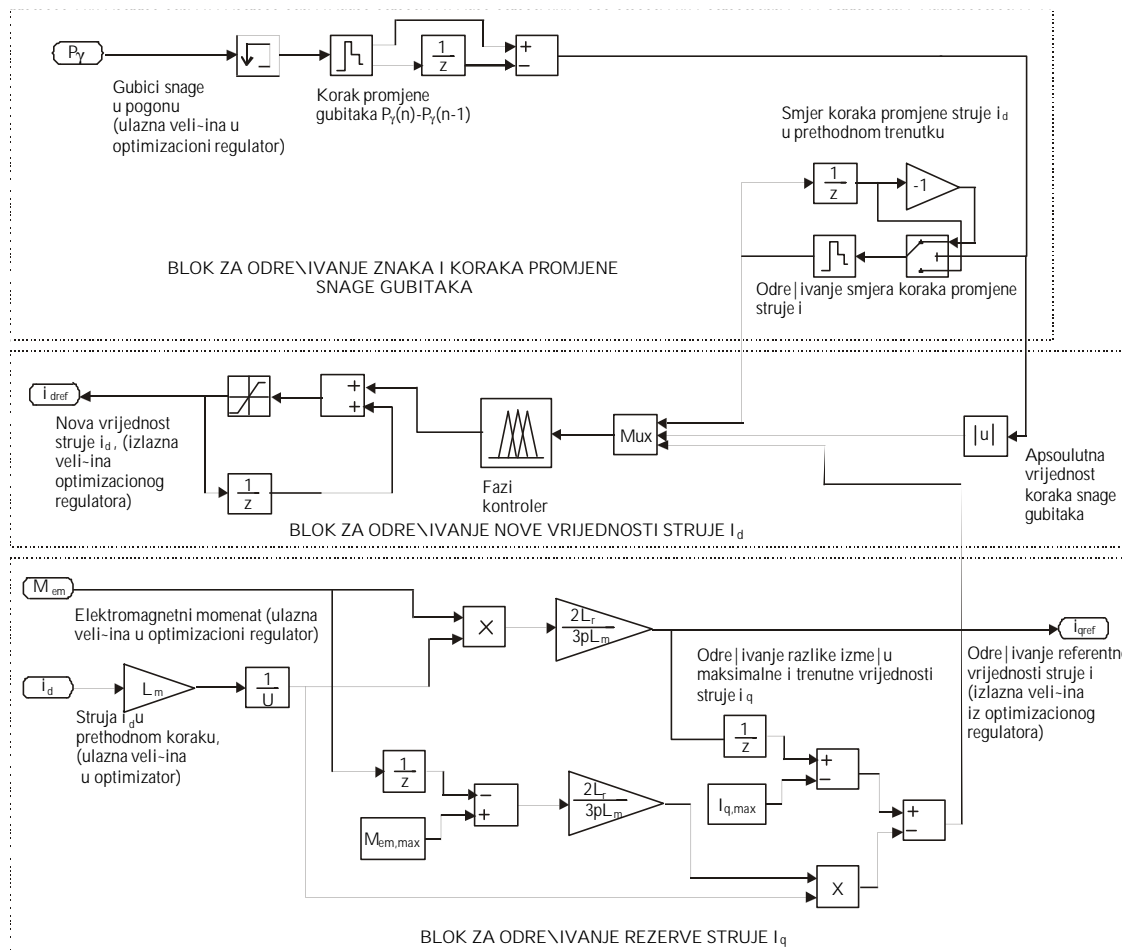
Model optimizacionog regulatora mogao bi se podijeliti u 3 bloka (sl. 4.15):

- blok u kome se odre|uje korak promjene snage gubitaka i znak te promjene;

#### 4. Sinteza regulatora za pove}jenja stepena korisnog dejstva vektorski regulisanog pogona sa asinhronim motorom

- blok u kome se odre|uje rezerva struje  $i_q$ ;
- blok sa fazi kontrolerom u kome se odre|uje nova vrijednost struje  $i_d$ .

Ulagana veli~ina u blok u kome se odre|uje rezerva struje  $i_q$  je snaga gubitaka  $P_g$ . Izmjerena snaga gubitaka oduzima se od vrijednosti snage gubitaka u prethodnom koraku (jedna~ina 3.13). Apsolutna vrijednost koraka promjene snage gubitaka je jedna ulazna promjenjiva u fazi kontroler. Znak promjene snage gubitaka koristi se za odre|ivanje smjera promjene struje  $i_d$ . Naime, ako je korak promjene snage gubitaka pozitivan, gubici snage rastu, pa je potrebno invertovati smjer koraka struje  $i_d$ . Suprotno, ako je korak promjene snage gubitaka negativan, gubici snage se smanjuju, pa smjer promjene struje  $i_d$  treba da bude isti kao u prethodnom koraku. Smjer koraka struje  $i_d$  je, tako|e, ulazna promjenjiva u fazi kontroler. Treba re}i da je znak promjene struje  $i_d$  ista *crisp* promjenjiva, ne sadr`i nikakvu neodre|enost i kao takva ne bi trebala biti fazi promjenjiva. U radu [10], znak koraka struje  $i_d$  se odre|uje, ali se ne uvodi u fazi kontroler. Izlaz iz fazi kontrolera je apsolutna vrijednost koraka promjene struje  $i_d$ , a znak promjene dodjeljuje se naknadno izvan fazi kontrolera. Me|utim, u ovoj varijanti regulatora u kome je i rezerva struje  $i_q$  ulazna fazi promjenjiva, potrebno je i da znak promjene struje  $i_d$  bude ulazna promjenjiva u kontroler.



**Slika 4.15. Blok dijagram optimizacionog regulatora za pove}anje stepena korisnog dejstva vektorski regulisanih pogona sa asinhronim motorom.**

U bloku u kome se odre|uje rezerva struje  $i_q$ , s jedne strane prati se razlika izme|u maksimalne i trenutne vrijednosti elektromagnetskog momenta ( $M_{em,max}-M_{em}$ ), a s druge strane razlika izme|u maksimalne i trenutne vrijednosti struje  $i_q$  ( $\Delta i_q = i_{q,max} - i_q$ ). Iz razlike maksimalne i trenutne vrijednosti elektromagnetskog momenta i trenutne vrijednosti magnetizacione komponente vektora statorskog struje odre|uje se potrebna rezerva struje  $i_q$ :

$$\Delta i_q^{(m)} = \frac{M_{em,max} - M_{em}}{k_1 i_d}. \quad (4.21)$$

Razlika ove dvije rezerve aktivne komponente vektora statorskog struje uvodi se, kao ulazna promjenjiva, u fazi kontroler. Na osnovu vrijednosti ove ulazne veli~ine obu~eni fazi kontroler je preduzimati odgovaraju}e korake kojima je se uvijek odr`avati dovoljna rezerva struje  $i_q$ . U ovom slu~aju pogon je bez obzira na rad optimizacionog regulatora, u slu~aju potrebe, mo}i “odgovoriti” sa maksimalnom vrijedno}ju momenta. Naime, cilj je da rezerva struje  $\Delta i_q^{(m)}$  bude manja od rezerve  $\Delta i_q^*$ , jer je to uslov da se iz postoje}eg stanja mo`e razviti maksimalni momenat. Ako ovaj uslov nije ispunjen, optimizacioni regulator ne}e dozvoliti dalje smanjenje fluksa, iako, mo`da, nije postignuta optimalna radna ta~ka. [ta vi{e, regulator momenta treba da pove}ava struju  $i_d$  sve dok rezerva momenta ne bude dovoljna. S druge strane, ako je rezerva  $\Delta i_q^* - i_q^{(m)}$  dovoljno velika, ova veli~ina ne uti~e na izlaz fazi kontrolera. Primjenom kontrole rezerve struje  $i_q$  posti`e se slijede}e:

- smanjena je osjetljivost pogona na promjene optere}jenja,
- smanjeni su gubici snage u prelaznim re`imima i
- pobolj{ane su regulacione karakteristike pogona.

U ovom pristupu ima i jedan nedostatak. Za mala optere}jenja pogon ne}e raditi u optimalnoj radnoj ta~ki, ve} blizu te radne ta~ke.

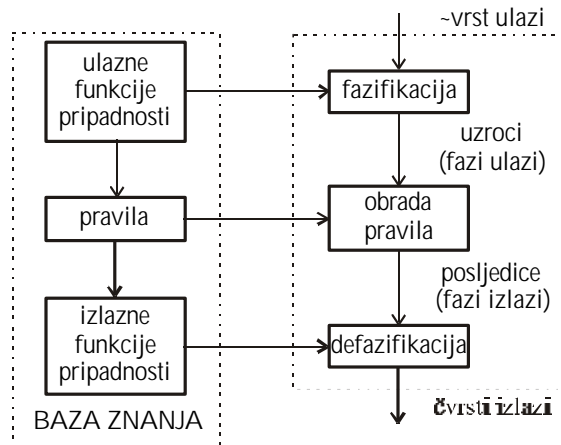
### Fazi kontroler

Projektovanje fazi kontrolera sastoji se iz projektovanja baze znanja, u okviru ~ega je potrebno:

- odrediti ulazne funkcije pripadnosti,
- odrediti izlazne funkcije pripadnosti,
- formirati skup pravila,
- odabrati metod fazi zaklju~ivanja i
- odabrati metod defazifikacije.

Struktura fazi kontrolera prikazana je na sl. 4.16.

Da bi se odredile funkcije pripadnosti za svaku ulaznu fazu promjenjivu potrebno je poznavati po{njanje te promjenjive u sistemu. Na osnovu pra}jenja ulazne veli~ine odre|uje se broj funkcija pripadnosti, njihov oblik, domen i stepen pripadnosti za predefinisane oblasti.



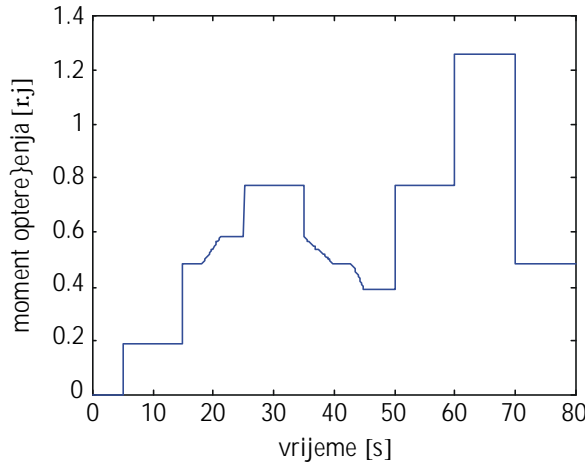
**Slika 4.16. Struktura fazi kontrolera.**

Fazi kontroler u ovom algoritmu ima 3 ulazne promjenjive. To su:

- korak promjene snage gubitaka-absolutna vrijednost,
- znak promjene snage gubitaka i
- rezerva aktivne komponente statorske struje.

Na slici 4.17. prikazan je talasni oblik momenta za koji su posmatrani gubici u motoru. Ovakav talasni oblik je izabran da bi se u obzir uzeli i razli~iti slu~ajevi koji se mogu pojaviti u praksi, linearne i skokovite promjene momenta optere}jenja. Posmatraju}i talasni oblik snage gubitaka (sl. 4.18) za slu~aj momenta optere}jenja sa slike 4.17. i pri nominalnom fluksu, mo`e se zaklju~iti da su za predstavljanje pona}anja promjene snage gubitaka, kao ulazne promjenjive u fazi kontroler, potrebne 3 funkcije pripadnosti:

- mala promjena snage gubitaka,
- srednja promjena snage gubitaka i
- velika promjena snage gubitaka.



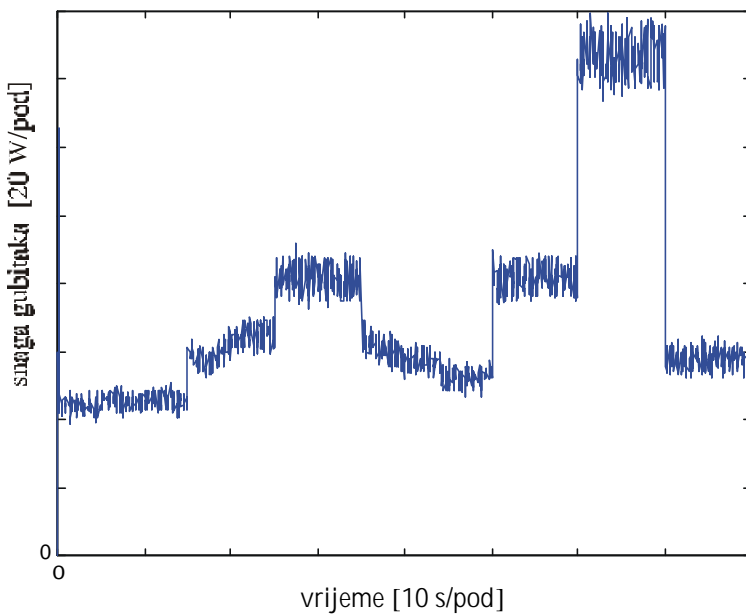
**Slika 4.17. Talasni oblik momenta optere}jenja pogona za koji je vr{eno izra-unavanje snage gubitka.**

#### 4. Sinteza regulatora za pove}jenja stepena korisnog dejstva vektorski regulisanog pogona sa asinhronim motorom

Mala promjena snage gubitka je u blizini optimalne radne ta~ke pogona. Ovakvo stanje ima se pri konstantnoj izlaznoj snazi, nakon zavr{etka prelaznog procesa, odnosno kada optimizacioni regulator prilagodi nivo fluksa u ma{ini u cilju smanjenja gubitaka.

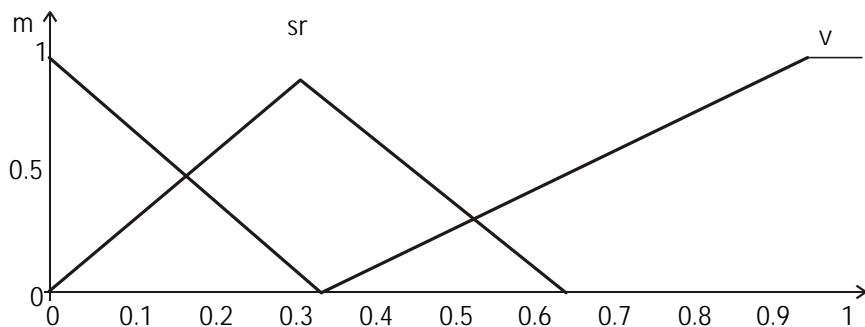
Srednja promjena snage gubitaka ima se u toku prelaznih procesa, za manju skokovitu, ili linearnu promjenu izlazne snage.

Velika promjena snage gubitaka javlja se na po~etu prelaznog procesa, posebno pri ve}im skokovitim promjenama momenta optere}jenja kada je radna ta~ka pogona daleko od optimalne.



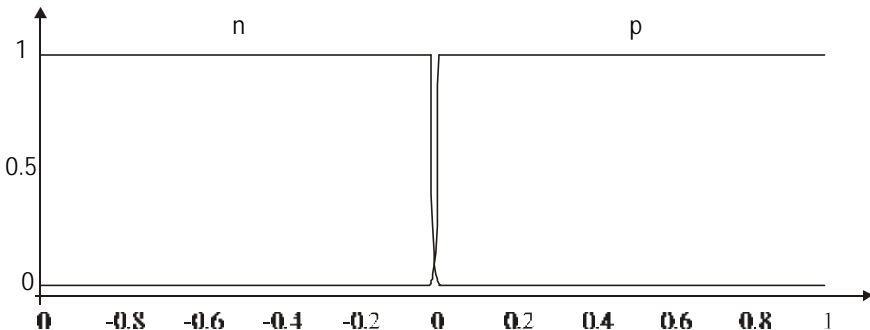
**Slika 4.18.** Grafik snage elektri~nih gubitaka za moment optere}jenja sa sl. 4.17 i pri nominalnom fluksu.

Normalizovane funkcije pripadnosti koraka promjene snage gubitaka kao ulazne fazi promjenjive prikazane su na sl. 4.19.



**Slika 4.19.** Funkcije pripadnosti ulazne fazi promjenjive ‘korak promjene snage gubitaka’.

Znak koraka promjene snage gubitaka je ~ista *crisp* promjenjiva , ali se iz ve} opisanih razloga uvodi kao ulazna promjenjiva u fazi kontroler. U ovom slu~aju znak mo`e imati samo dvije vrijednosti, pozitivnu (p), ili negativnu (n). Funkcije pripadnosti ove promjenjive prikazane su na sl. 4.20. Malo preklapanje izme| u p i n funkcije pripadnosti neophodno je zbog uspje{nog izvo|enja defazifikacione metode, odnosno da bi se sprije~ili neo~ekivani rezultati kada je promjena struje  $i_d$  mala.

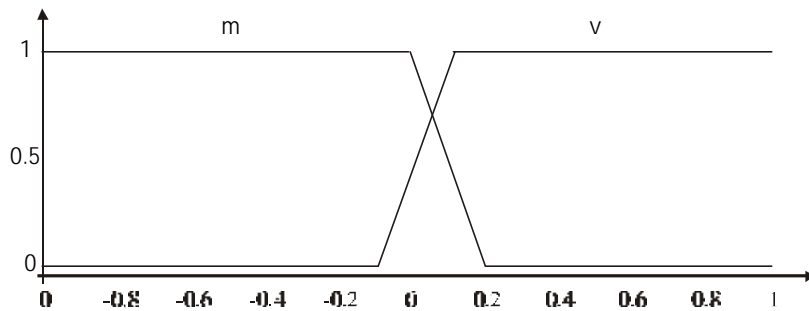


**Slika 4.20. Funkcije pripadnosti ulazne fazi promjenjive "znak koraka promjene snage gubitaka".**

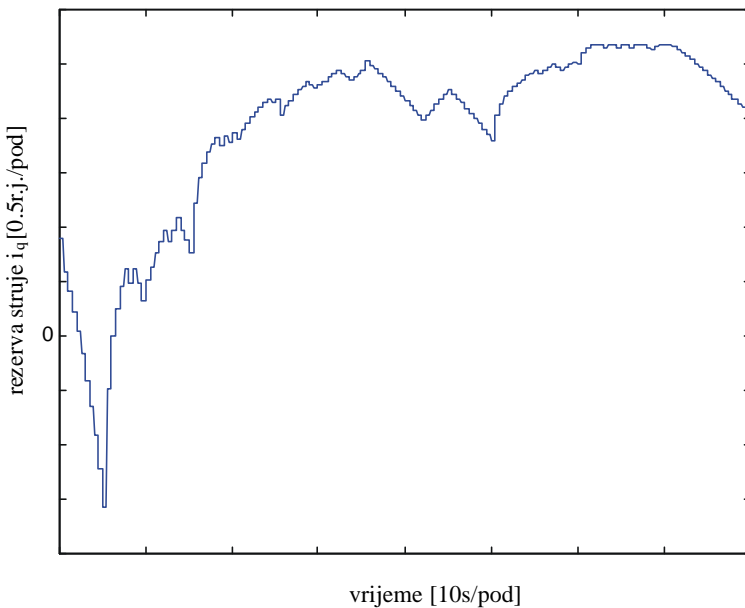
Rezerva struje  $i_q$  treba da ima ve}u vrijednost od rezerve struje  $i_q^{(m)}$ , odre|ene na osnovu razlike izme|u maksimalne i trenutne vrijednosti elektromagnetskog momenta, zbog ve} opisanih razloga. Razlika  $\mathbf{D}i_q^* - \mathbf{D}i_q^{(m)}$  je ulazna promjenjiva fazi kontrolera. Za ovu fazu promjenjivu potrebne su 2 funkcije pripadnosti:

- mala rezerva (mr) i
- velika rezerva (vr).

Mala rezerva je ako je  $\mathbf{D}i_q^* - \mathbf{D}i_q^{(m)} < 0$ , ili ima malu pozitivnu vrijednost (sl. 4.21). Ako je  $\mathbf{D}i_q^* - \mathbf{D}i_q^{(m)}$  dovoljno veliko (ve}e od 0.2 [r.j.]) ova veli~ina ne uti~e na generisanje izlaza (koraka struje  $i_d$ ). Normalizovane funkcije pripadnosti rezerve struje  $i_q$  prikazane su na sl.4.21. Na sl. 4.22. prikazan je normalizovani graf funkcije  $\mathbf{D}i_q^* - \mathbf{D}i_q^{(m)}$  za optere}jenje sa sl. 4.17 i za optimizacioni regulator opisan u radu [13] koji nema kontrolu rezerve struje  $i_q$ . Iz ovog grafika se vidi da pri malim vrijednostima momenta optere}jenja (manje od  $0.3 M_{em}$ ), u cilju odre|ivanja optimalne radne ta~ke, struja  $i_d$ ima malu vrijednost. Vrijednost  $\mathbf{D}i_q^* - \mathbf{D}i_q^{(m)}$  je negativna, tako da ne postoji dovoljna rezerva momenta i pogon je osjetljiv na promjene optere}jenja.

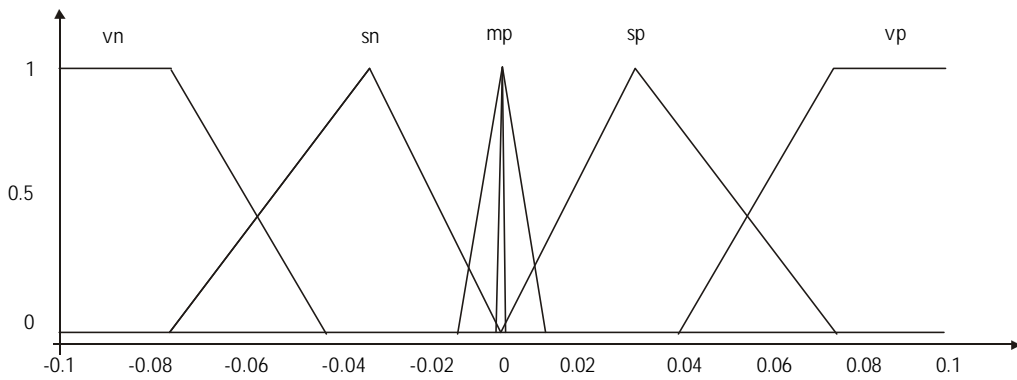


**Slika 4.21. Funkcije pripadnosti ulazne fazi promjenjive "rezerva struje  $i_q$ ".**



**Slika 4.22. Grafik rezerve struje  $i_q$  za optimizacioni regulator bez kontrole rezerve struje  $i_q$  i za optere}enje sa sl. 4.17.**

Korak promjene struje  $i_d$  ( $\Delta i_d$ ) je izlazna promjenjiva fazi kontrolera. On mo`e imati i pozitivnu i negativnu vrijednost. Uz uslov da je rezerva struje  $i_q$  dovoljno velika, korak promjene snage gubitaka je veli~ina koja prvenstveno odre|uje korak promjene struje  $i_d$ . Ovo je i razlog zbog koga broj funkcija pripadnosti promjenjive  $\mathbf{D}i_d$  odgovara broju funkcija pripadnosti ulazne promjenjive  $\mathbf{DP}_g$ . Jedino je ovaj broj za promjenjivu  $\mathbf{D}i_d$  dva puta ve}i, da bi se pokrili slu~ajevi i pozitivnog i negativnog koraka struje  $i_d$  (sl. 4.23).



**Slika 4.23. Funkcije pripadnosti izlazne fazi promjenjive “korak struje  $i_d$ ”.**

Baza znanja sadr`i i skup pravila koji predstavlja spregu izme|u funkcija pripadnosti ulaznih promjenjivih i funkcija pripadnosti izlaznih promjenjivih. Skupom pravila odre|uje se kako i u kojoj mjeri ulazne veli~ine uti~u na formiranje izlaza,

---

*4. Sinteza regulatora za pove}jenja stepena korisnog dejstva vektorski regulisanog pogona sa asinhronim motorom*

---

odnosno defini{e se pona{anje sistema. U ovom algoritmu za pove}anje stepena korisnog dejstva baza znanja fazi kontrolera ima 12 pravila koja su predstavljena u tabeli 4.2.

**Tabela 4.2 Fazi pravila primjenjena u fazi kontroleru za pove}enje stepena korisnog dejstva.**

<i>Broj pravila</i>	<i>Pravilo</i>
1.	IF gubici is m (mali) AND znak is n (negativan) AND rezerva is m (mala rezerva) THEN korak_id is vp (veliki pozitivan)
2.	IF gubici is m (mali) AND znak is p (pozitivan) AND rezerva is m THEN korak_id is vp
3.	IF gubici is sr (srednji) AND znak is n AND rezerva is m THEN korak_id is vp
4.	IF gubici is sr AND znak is p AND rezerva is m THEN korak_id is vp
5.	IF gubici is v (veliki) AND znak is n AND rezerva is m THEN korak_id is vp
6.	IF gubici is v AND znak is p AND rezerva is m THEN korak_id is vp
7.	IF gubici is m AND znak is n AND rezerva is v (velika rezerva) THEN korak_id is mn (mali negativan)
8.	IF gubici is m AND znak is p AND rezerva is v THEN korak_id is mp (mali pozitivan)
9.	IF gubici is sr AND znak is n AND rezerva is v THEN korak_id is sn (srednji negativan)
10.	IF gubici is sr AND znak is p AND rezerva is v THEN korak_id is sp (srednji pozitivan)
11.	IF gubici is v AND znak is n AND rezerva is v THEN korak_id is mn (veliki negativan)
12.	IF gubici is v AND znak is p AND rezerva is v THEN korak_id is mn (veliki pozitivan)

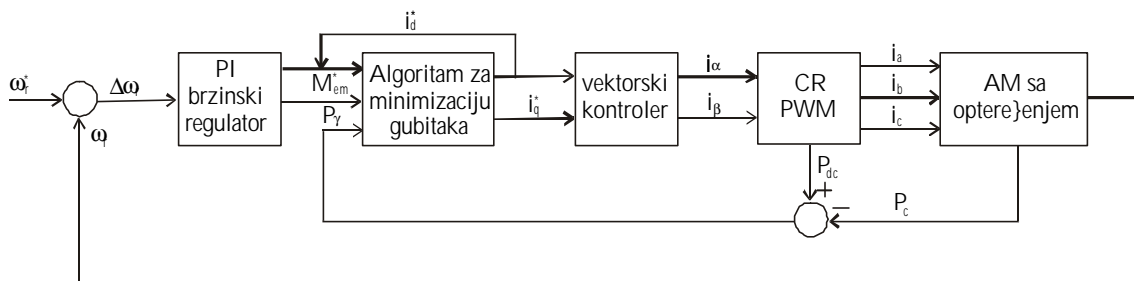
Grafi~ki interfejs *Fuzzy Logic Toolbox*-a omogu}uje projektantu i izbor metoda fazi zaklju~ivanja i metoda defazifikacije. Primjenjeni su metodi koji se najvi{e koriste, a to su *Mamdani* metod fazi zaklju~ivanja i *centroid* metod defazifikacije.

#### 4.5 TESTIRANJE I VERIFIKACIJA ALGORITMA ZA MINIMIZACIJU GUBITAKA ELEKTRI^NIH POGONA SA ASINHRONIM MOTOROM

Testiranje i verifikacija algoritma za minimizaciju gubitaka sastoji se iz 2 dijela:

1. Testiranje rada algoritma u modelu elektri-nog pogona simulacijom u programskom paketu Matlab-Simulink;
2. Eksperimentalna provjera rada algoritma.

Testiranje rada algoritma putem simulacije vr{i se tako {to se najprije model optimizacionog regulatora uklju-i u model pogona. Zatim se vr{i simulacija rada cijelog pogona, zajedno sa optimizatorom. Na kraju, upore|uju se rezultati dobiveni simulacijom, za slu-aj rada pogona bez bloka za minimizaciju i sa ovim blokom. Testiranje treba da poka`e kakve su vrijednosti kriterijumske funkcija (jed. 4.11 i 4.13). To zna-i da je potrebno vidjeti kakvi su grafici struje  $i_d$ , grafici snage gubitaka i kolika je srednja vrijednost snage gubitaka kada postoji optimizator i kada ga nema. Model pogona za koji je vr{ena simulacija prikazan je na sl. 4.24.



**Slika 4.24. Blok {ema pogona sa primjenom algoritma za minimizaciju gubitaka.**

Model pogona se sastoji iz:

- brzinskog regulatora,
- bloka za minimizaciju gubitaka,
- vektorskog kontrolera,
- naponskog invertora i
- modela asinhronog motora sa optere}enjem.

Model pogona za koji je vr{ena simualcija radi na slijede}i na-in.

Regulaciona petlja po brzini zatvara se preko brzine mjerene inkrementalnim enkoderom ( $w_r$ ). U brzinskom regulatoru porede se referentna i izmjerena vrijednost brzine i signal gre{ke uvodi se u regulator. Brzinski  $PI$  regulator, na osnovu ovog signala gre{ke, generi{e referentnu vrijednost elektromagnetskog momenta kao upravlja-ku veli-inu. Zadati moment  $M_{em}^*$ , referentna vrijednost struje  $i_d$  u prethodnom koraku i izra-unata snaga gubitaka dovode se na ulaz fazi kontrolera za minimizaciju gubitaka. Na osnovu ovih veli-in, ograni-jenja maksimalno dozvoljenog fluksa u ma{ini ( $i_d$  komponente statorske struje) i strujnog limita  $i_q$  komponente struje, kontroler zadaje referentne struje statora po  $d/q$ osi. Ove struje se dovode u vektorski kontroler, koji odre|uje polo`aj sinhrono rotiraj}eg koordinatnog sistema i generi{e

#### 4. Sinteza regulatora za pove}jenja stepena korisnog dejstva vektorski regulisanog pogona sa asinhronim motorom

---

referentne struje  $i_a^*$  i  $i_b^*$ . Referentne struje se dovode u strujno regulisani naponski invertor (CRPWM) koji napaja motor. Invertor je sa histerezisnim strujnim regulatorom. Na vratilu motora nalazi se i inkrementalni enkoder koji daje informaciju o brzini obrtanja vratila. Umjesto mjerene brzine, mo`e se koristiti estimirana brzina, te se predlo`eni algoritam za minimizaciju gubitaka mo`e primijeniti i kod pogona bez dava~a brzine na osovini motora (*sensorless*). Ulazna snaga mjeri se u jednosmjernom me|ukolu, a izlazna se odre|uje u modelu motora na osnovu izmjerene brzine i elektromagnetskog momenta.

Parametri motora za koje je vr{ena simulacija dati su u prilogu 1. rada. Uslovi u kojima je simulacija vr{ena su slijede}i:

- po~etna vrijednost struje  $i_d$  jednaka je njenoj nominalnoj vrijednosti;
- vrijednost struje  $i_d$  kre}e se u intervalu

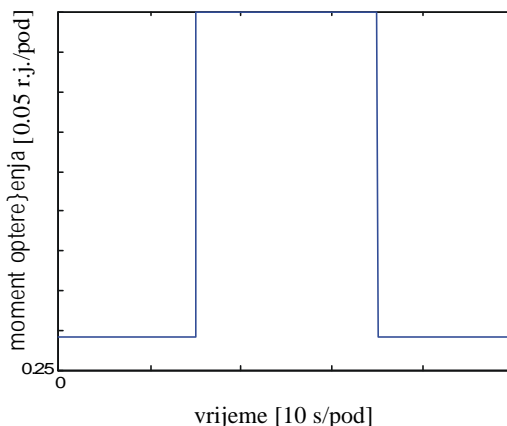
$$0.3i_{dn} \leq i_d \leq 1.2i_{dn};$$

- oscilacije struje  $i_d$  oko optimalne vrijednosti iznose  $\pm Di_{dmin}$ , gdje je  $i_{dmin}$  vrijednost najmanjeg koraka promjene  $i_d$  koji se primjenjuje u konkretnom optimizacionom algoritmu;
- referentna mehani~ka brzina je konstantna i iznosi  $0.5w_{mn}$ ;
- moment optere}enja se mijenja u opsegu od 0 do  $0.8M_{emn}$ , a njegov oblik grafi~ki je predstavljen za svaku simulaciju;
- trajanje svake simulacije je 50s.

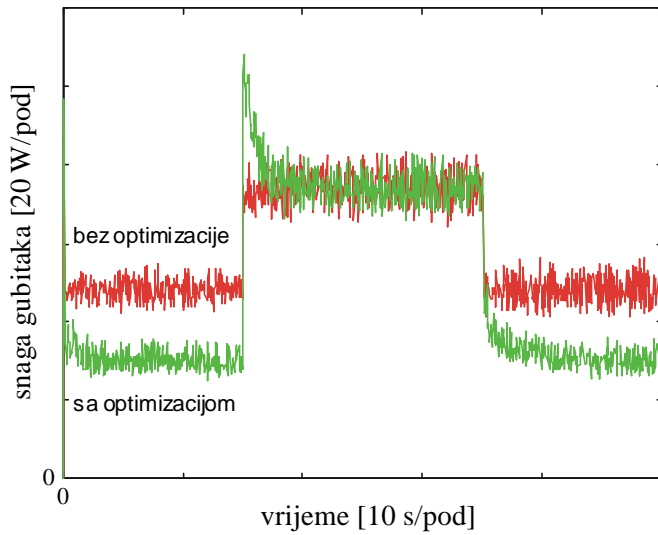
Simuliran je rad pogona u uslovima promjenjivog optere}enja i to za 3 slu~aja:

- skokovite promjene momenta optere}enja,
- linearne promjene momenta optere}enja i
- skokovite i linearne promjene momenta optere}enja.

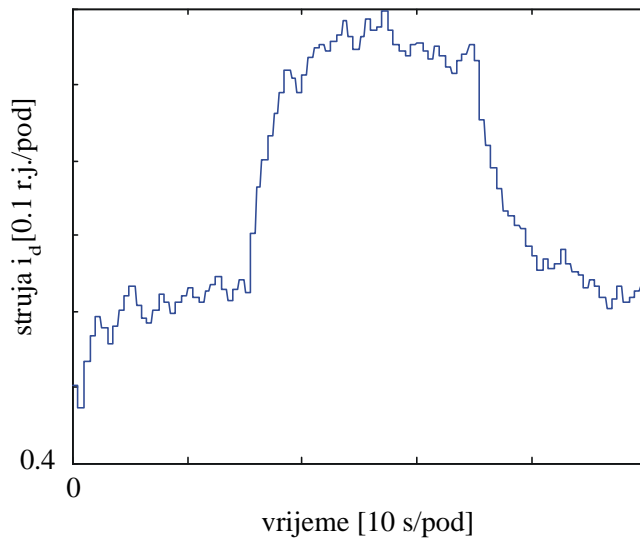
Za svaki od ovih slu~ajeva prikazani su grafik momenta optere}enja, struje  $i_d$ , snage gubitaka sa optimizacijom i bez optimizacije, te broj~ane vrijednosti srednje snage gubitaka.



**Slika 4.25. Grafik momenta optere}enja za koji je vr{ena simulacije-skokovita promjena.**



**Slika 4.26.** Grafici snage gubitaka modela bez optimizacije i modela sa optimizacijom za moment optere}enja sa sl. 4.25.

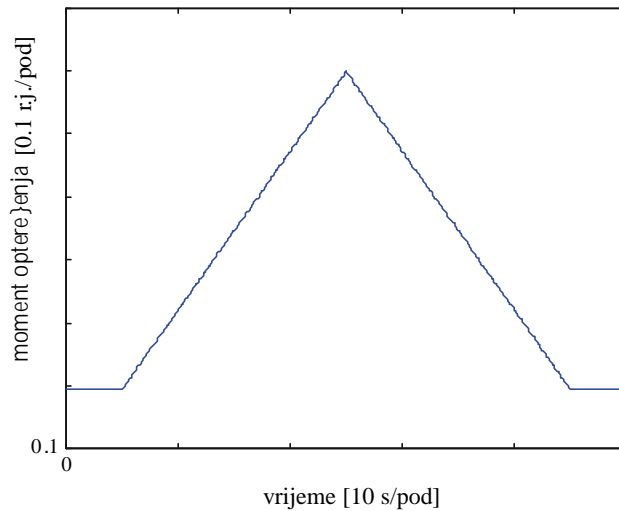


**Slika 4.27.** Grafik struje  $i_d$  modela pogona sa optimizacijom za moment optere}enja sa sl. 4.25.

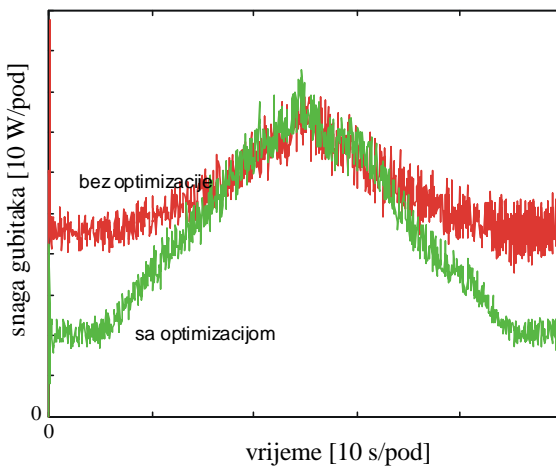
Srednje vrijednosti snage gubitaka za model sa algoritmom za minimizaciju i bez algoritma za minimizaciju gubitaka, pri momentu optere}enja prikazanom na sl. 4.25., prikazani su u tabeli 4.3.

**Tabela 4.3. Srednje vrijednosti snage gubitaka za model sa optimizacionim regulatorom i bez optimizacionog regulatora i pri skokovitoj promjeni optere}enja.**

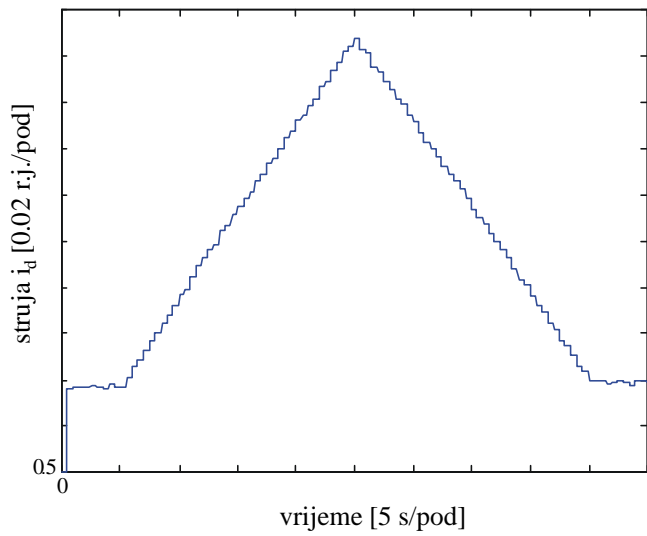
Model pogona	Srednja vrijednost snage gubitaka
bez optimizacionog regulatora	58.4410
sa optimizacionim regulatorom	51.3694



**Slika 4.28. Grafik momenta optere}enja za koji je vr{ena simulacije-linearna promjena.**

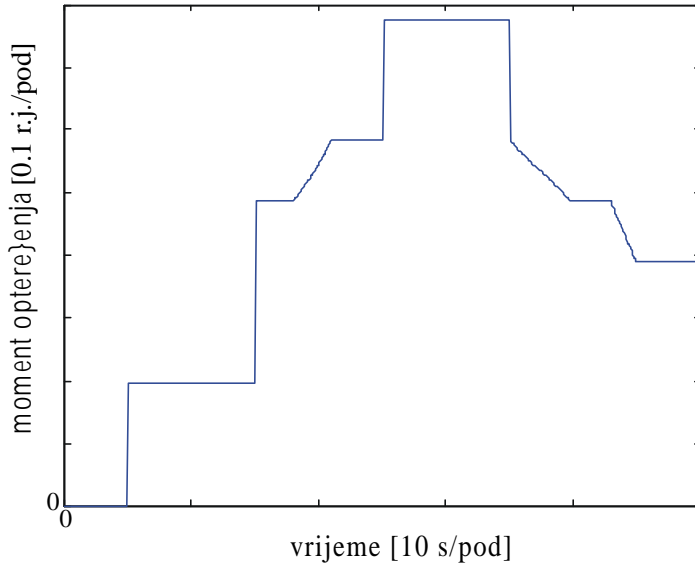


**Slika 4.29. Grafi snage gubitaka modela bez optimizacije i modela sa optimizacijom za moment optere}enja sa sl. 4.28.**



**Slika 4.30. Grafik struje  $i_d$  modela pogona sa optimizacijom za moment optere}enja sa sl. 4.28.**

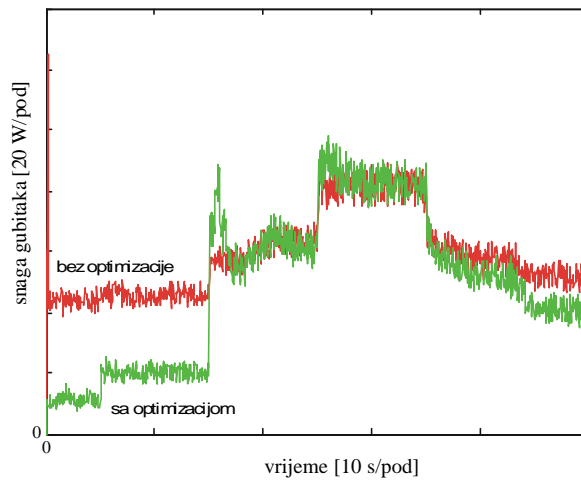
Srednje vrijednosti snage gubitaka za model sa algoritmom za minimizaciju i bez algoritma za minimizaciju, pri momentu optere}enja prikazanom na sl. 4.28., prikazani su u tabeli 4.4.



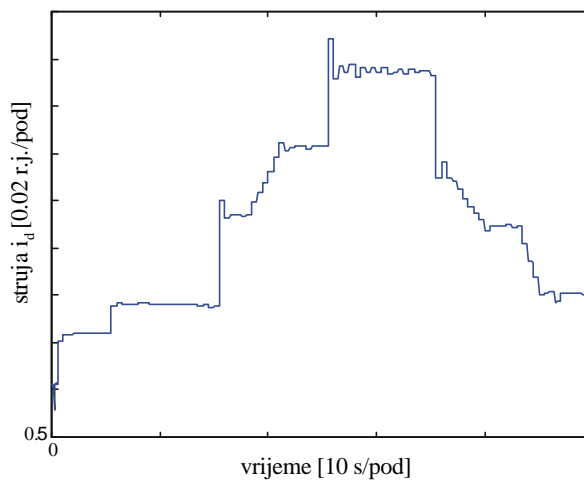
**Slika 4.31. Grafik momenta optere}enja za koji je vr{ena simulacija-linearna i skokovita promjena.**

**Tabela 4.4. Srednje vrijednosti snage gubitaka za model sa optimizacionim regulatorom i bez optimizacionog regulatora i za linearnu promjenu momenta optere}jenja.**

Model pogona	Srednja vrijednost snage gubitaka
bez optimizacionog regulatora	54.5133
sa optimizacionim regulatorom	44.2335



**Slika 4.32. Grafici snage gubitaka modela bez optimizacije i modela sa optimizacijom za moment optere}jenja sa sl. 4.31.**



**Slika 4.33. Grafik struje  $i_d$  modela pogona sa optimizacijom za moment optere}jenja sa sl. 4.31.**

#### 4. Sinteza regulatora za pove}jenja stepena korisnog dejstva vektorski regulisanog pogona sa asinhronim motorom

---

Srednje vrijednosti snage gubitaka za model sa algoritmom za minimizaciju i bez algoritma za minimizaciju pri momentu optere}jenja prikazanom na sl. 4.31. prikazani su u tabeli 4.5.

**Tabela 4.5. Srednje vrijednosti snage gubitaka za model sa optimizacionim regulatorom i bez optimizacionog regulatora za linearu i skokovitu promjenu momenta optere}jenja.**

Model pogona	Srednja vrijednost snage gubitaka
bez optimizacionog regulatora	59.0751
sa optimizacionim regulatorom	49.8813

#### 4.6 PORE}ENJE KARAKTERISTIKA PREDLO}ENOГ ALGORITMA SA SLI}NIM PUBLIKOVANIM ALGORITMIMA ZA MINIMIZACIJU GUBITAKA

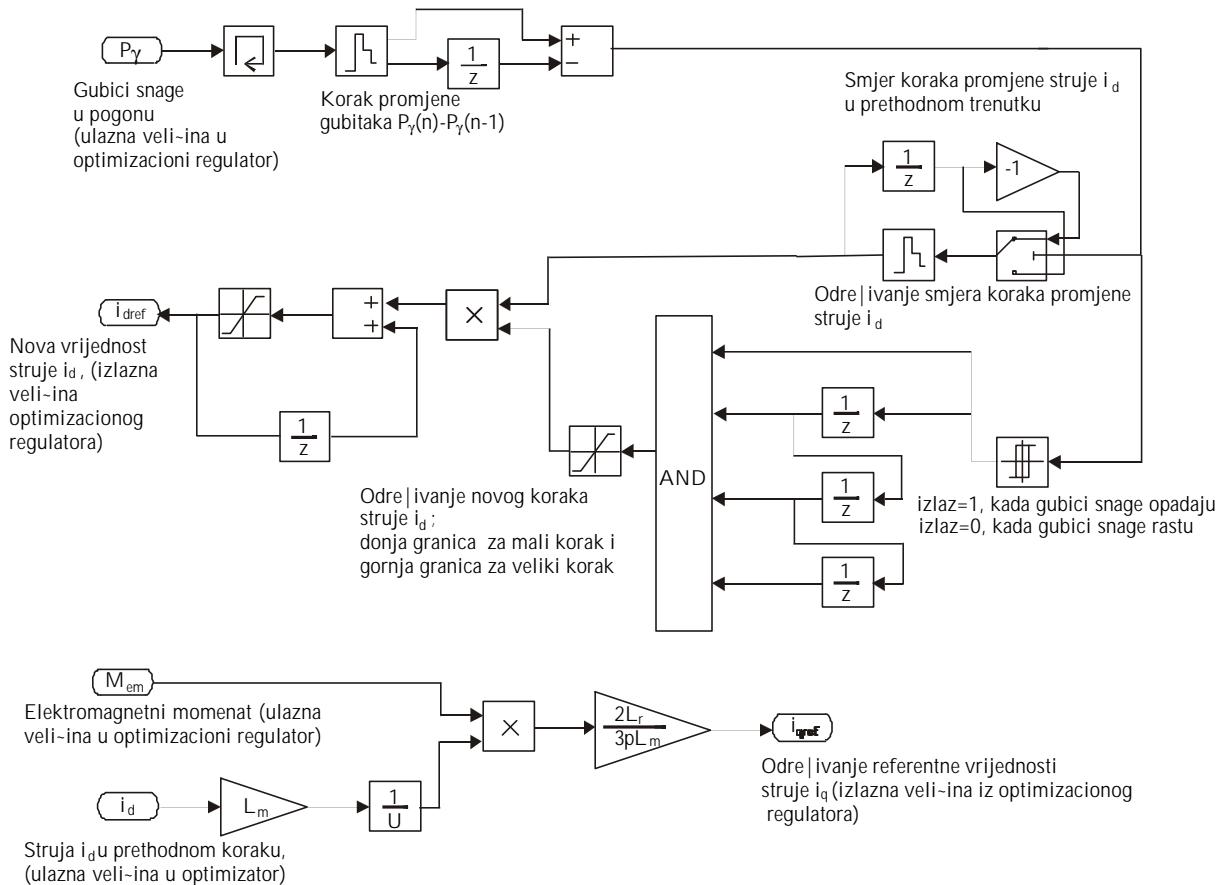
U prethodnom odjeljku izvr{ena je verifikacija predlo`enog algoritma za minimizaciju gubitaka putem simulacije. Pore}enie je izvr{eno samo za slu~aj kada pogon radi sa nominalnim fluksom. Interesantno bi bilo uporediti karakteristike ovog algoritma sa sli~nim algoritmima, ve} publikovanim u literaturi. U tu svrhu, pored algoritma opisanog u ovom radu izabrana jo{ dva search algoritma. To su:

- dvokora~ni metod [40] ,[10] (sl. 4.34) i
- metod sa jednoulaznim fazi kontrolerom predstavljenim u radu [13].

U dvokora~nom algoritmu amplituda fluksa se kontroli{e kroz sukcesivno inkrementiranje i dekrementiranje komande fluksa (ili struje  $i_d$ ), na osnovu gubitaka procjenjenih u svakom koraku. Korak od 0.5s, u slu~aju eksperimentalnog pogona, dovoljan je da stabil{i{u prelazni procesi, prouzrokovan prethodnom promjenom struje  $i_d$ . Osnovna razlika ovog metoda u odnosu na metode sa fazi kontrolerom ogleda se u odre}ivanju koraka promjene struje  $i_d$ . Konstantan smjer koraka promjene struje  $i_d$  ukazuje na sukcesivno smanjenje gubitaka, pa je tada, radi brze konvergencije, potrebno pove}ati vrijednost koraka promjene struje  $i_d$  (veliki korak promjene). Promjenjivi smjer ukazuje na bliznu optimuma, i tada je potrebno smanjiti vrijednost koraka promjene struje  $i_d$  u cilju preciznijeg pode{avanja i smanjenja amplitude oscilacija struje  $i_d$  oko optimalne vrijednosti (mali korak promjene). U dvokora~nom algoritmu koraku prikazanom na sl. 4.34, promjena struje  $i_d$  mo`e primiti samo dvije vrijednosti ( $\Delta i_{dmin}$ = mali korak, ili  $\Delta i_{dmax}$ = veliki korak). Veliki korak ( $\Delta i_{dmax}$ ) se primjenjuje u slu~aju da su posljednja ~etiri koraka promjene struje u istom smjeru. U suprotnom, primjenjuje se mali korak ( $\Delta i_{dmin}$ ). Vrijednosti koraka su  $\Delta i_{dmax}=10\%i_{dn}$  i  $\Delta i_{dmin}=1\%i_{dn}$ . Na osnovu izvr{enih simulacija modela, pokazalo se da nije svejedno koliko se prethodnih trenutaka u kojima su smjerovi koraka promjene struje  $i_d$  isti posmatra pri sintezi optimizacionog algoritma. Potvr{eno je da algoritam, u kome se veliki korak primjenjuje kada su 4 posljednja koraka istog smjera, daje bolje rezultate,

#### 4. Sinteza regulatora za pove}jenja stepena korisnog dejstva vektorski regulisanog pogona sa asinhronim motorom

nego kada se veliki korak primjenjuje u slu~aju da je zadnjih pet ili {est koraka struje  $i_d$  u istom smjeru.

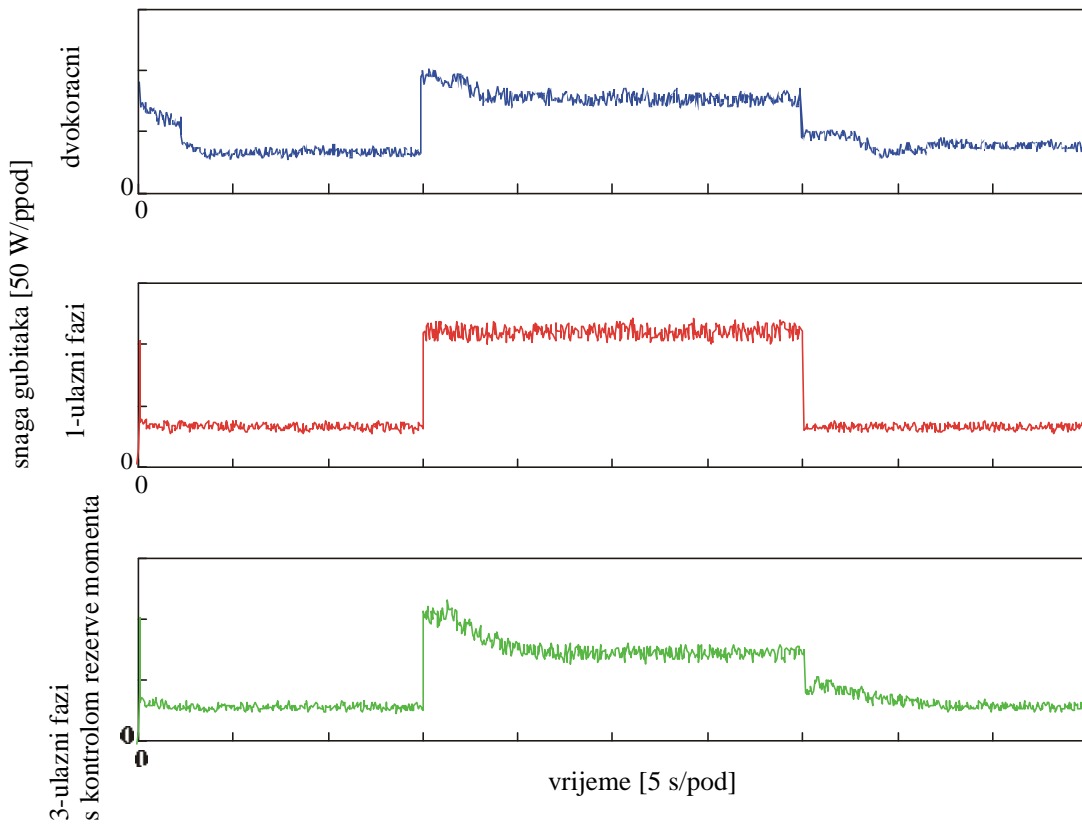


**Slika 4.34. Blok dijagram dvokora~nog algoritma.**

Parametri motora za koji je izvr{ena simulacija dati su u prilogu rada. Simuliran je rad pogona u uslovima promjenjivog optere}enja i to za 3 slu~aja:

- skokovite promjene momenta optere}enja,
- linearne promjene momenta optere}enja i
- skokovite i linearne promjene momenta optere}enja.

Grafi momenta optere}enja za koji su vr{ene simulacije prikazani su na sl. 4.35, 4.36 i 4.37 respektivno. Prikazani su grafici snage gubitaka za svaki algoritam, te broj~ane vrijednosti srednje snage gubitaka.

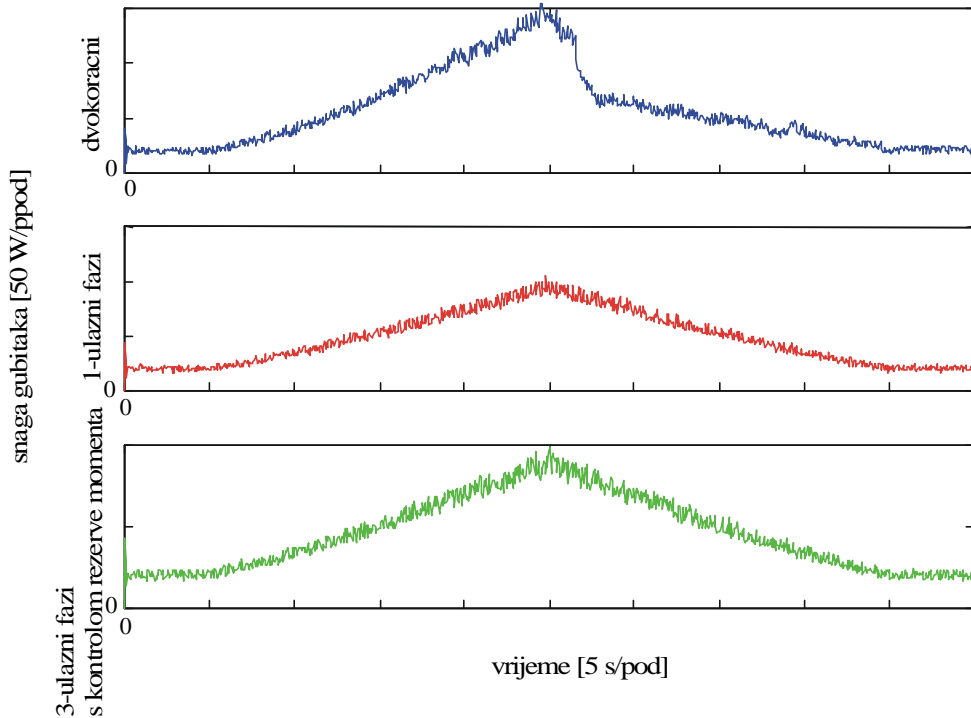


**Slika 4.35. Grafici snage gubitaka za slu~aj skokovite promjene optere}enja.**

Srednje vrijednosti snage gubitaka za model pogona sa razli~itim algoritmima za minimizaciju gubitaka i skokovitu promjenu momenta optere}enja prikazani su u tabeli 4.6.

**Tabela 4.6. Srednja vrijednost snage gubitaka za modele pogona sa razli~tim algoritmima za optimizaciju i moment optere}enja sa sl. 4.25.**

Algoritam za minimizaciju gubitaka	Srednja vrijednost snage gubitaka
<i>dvokoraci</i>	<b>55.1918</b>
<i>1-ulazni fazi</i>	<b>61.3273</b>
<i>3-ulazni fazi sa kontrolom rezerve momenta</i>	<b>49.8799</b>

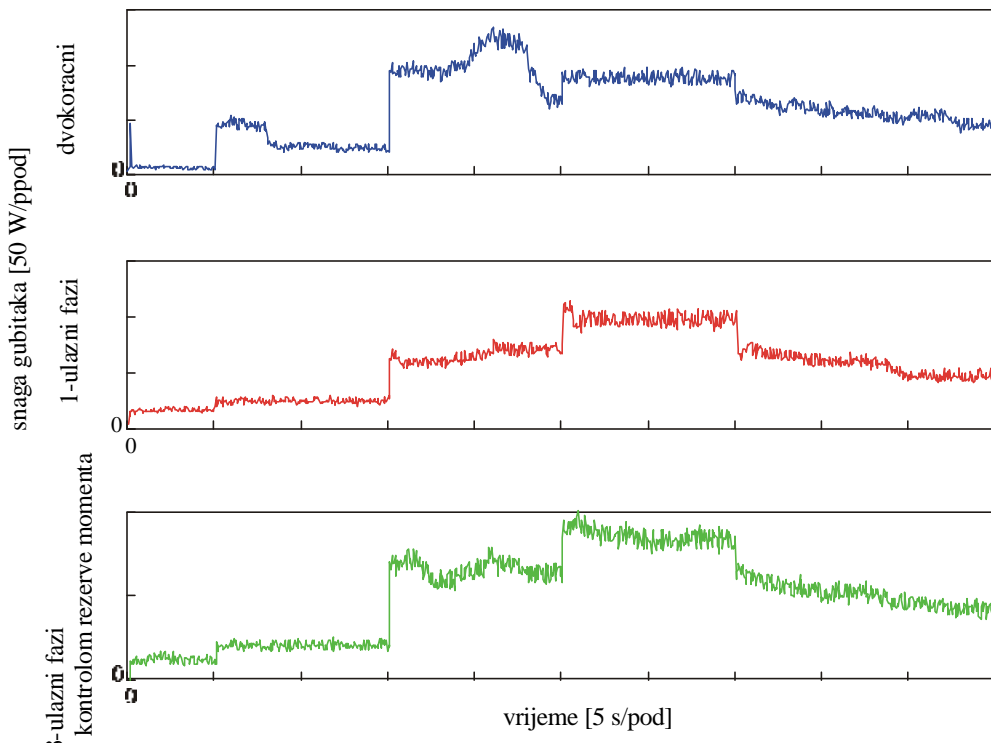


**Slika 4.36. Grafici snage gubitaka za slu~aj linearne promjene optere}enja.**

Srednje vrijednosti snage gubitaka za model pogona sa razli~itim algoritmima za minimizaciju gubitaka i linearnu promjenu momenta optere}enja prikazani su u tabeli 4.7.

**Tabela 4.7. Srednja vrijednost snage gubitaka za modele pogona sa razli~itim algoritmima za optimizaciju i moment optere}enja sa sl. 4.28.**

Algoritam za minimizaciju gubitaka	Srednja vrijednost snage gubitaka
<i>dvokoraci</i>	<b>53.3521</b>
<i>1-ulazni fazi</i>	<b>43.3386</b>
<i>3-ulazni fazi sa kontrolom rezerve momenta</i>	<b>44.2335</b>



**Slika 4.37. Grafici snage gubitaka za slu~aj skokovite i linearne promjene optere}jenja.**

Srednje vrijednosti snage gubitaka za model pogona sa razli~itim algoritmima za minimizaciju gubitaka i za linearnu i skokovitu promjenu momenta optere}jenja prikazani su u tabeli 4.8.

**Tabela 4.8. Srednja vrijednost snage gubitaka za modele pogona sa razli~itim optimizacionim algoritmima i moment optere}jenja sa sl. 4.31.**

Algoritam za minimizaciju gubitaka	Srednja vrijednost snage gubitaka
<i>dvokora-ni</i>	<b>56.6975</b>
<i>1-ulazni fazi</i>	<b>51.8921</b>
<i>3-ulazni fazi sa kontrolom rezerve momenta</i>	<b>49.8799</b>

Na osnovu grafika dobijenih simulacijom i izra~unatih vrijednosti srednje snage gubitaka kao kriterijumske funkcije, mo`e se zaklju~iti da algoritam sa troulaznim fazi kontrolerom i kontrolom rezerve struje  $i_q$  daje najbolji rezultat. Primjenom fazi kontrolera obezbje|uje se adaptivan korak struje  $i_d$  i brza konvergencija fluksa prema vrijednosti za koju se imaju najmanji gubici, dok kontrola rezerve struje  $i_d$  obezbje|uje manju osjetljivost pogona na promjene momenta optere}jenja i manje gubitke u prelaznim re`imima. To su i razlozi koji daju izvjesne prednosti ovom algoritmu.

## 5. PRAKTI^KNA REALIZACIJA

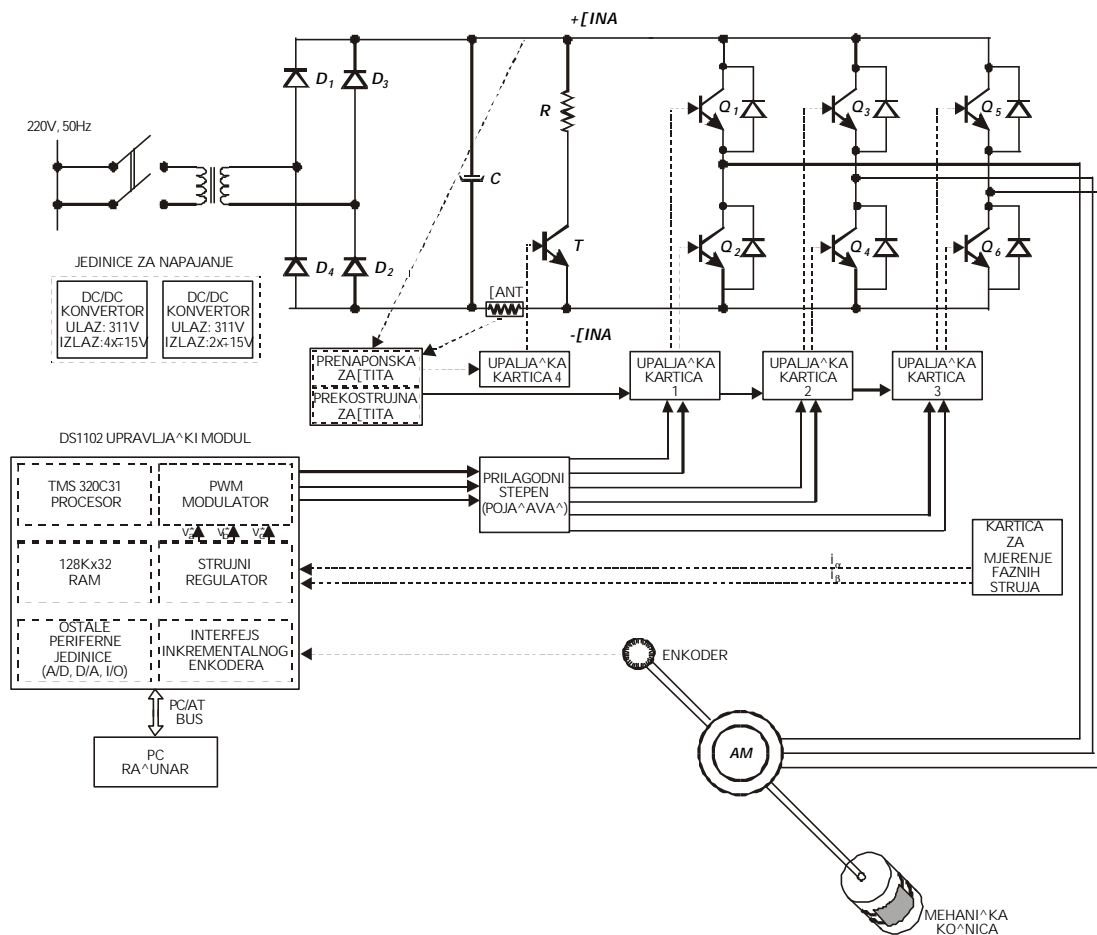
Praktičnu realizaciju ~ini implementacija algoritma za minimizaciju gubitaka u laboratorijskoj stanici za vektorsko upravljanje asinhronim pogonom –VEKTRI. To zna~i da se praktična realizacija sastoji od programskog opisa (softverski dio) i njegove implementacije na odgovaraju}em hardveru-VEKTRI.

### 5.1 OPIS HARDVERA

Osnovne cjeline laboratorijske stanice za vektorsko upravljanje asinhronim pogonom su:

1. upravlja~ka sekcija,
2. pogonski pretvara~,
3. asinhroni motor sa ko~nicom i
4. prilagodni stepen izme|u upravlja~kog stepena i pogonskog pretvara~a.

Blok {ema VEKTRE prikazana je na sl. 5.1.

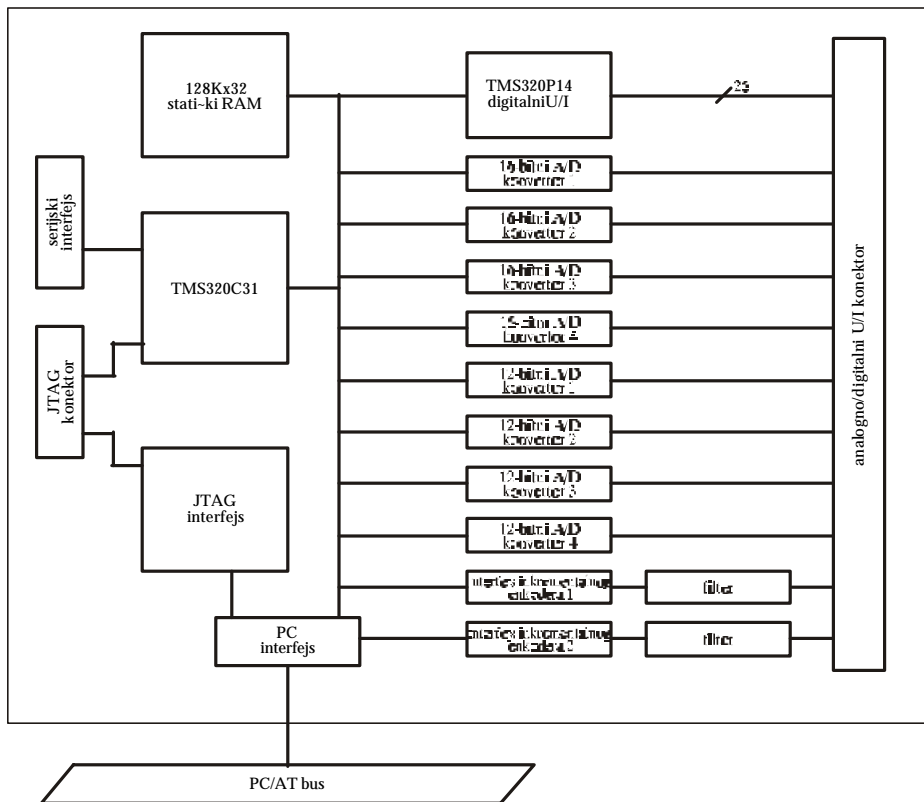


Slika 5.1. Blok {ema VEKTRE.

### 5.1.1 Upravljački modul

Upravljački modul laboratorijske stanice za vektorsko upravljanje asinhronim pogonom –ini *dSPACE DS1102* upravljačka kartica koja je preko *ISA* slota povezana sa računarcem. Ova kartica obavlja sve upravljačke funkcije, akviziciju i obradu podataka, dok se *PC* računar koristi u cilju obezbeđenja komforntnog interfejsa prema korisniku. *DS1102* modul organizovan je oko *TMS320C31 floating point* procesora, proizvođača Texas Instruments. Postojanje 128Kx32 zero wait state statičkog *RAM* i nekoliko perifernih podistema na kartici podržana je i njena primjena u aplikacijama digitalne obrade signala i upravljanja u realnom vremenu. *DS1102* kartica sastoji se iz sledećih komponenti:

- *TMS320C31* digital signal procesora,
- *TMS320P14* mikrokontrolera,
- 128x32 zero wait state statičkog *RAM*-a,
- serijskog interfejsa,
- peti A/D konvertora (dva 16-bitna i dva 12-bitna),
- peti 12-bitna D/A konvertora,
- 2 interfejsa inkrementalnog enkodera,
- interfejsa prema *PC* računaru i
- digitalnog U/I podistema.



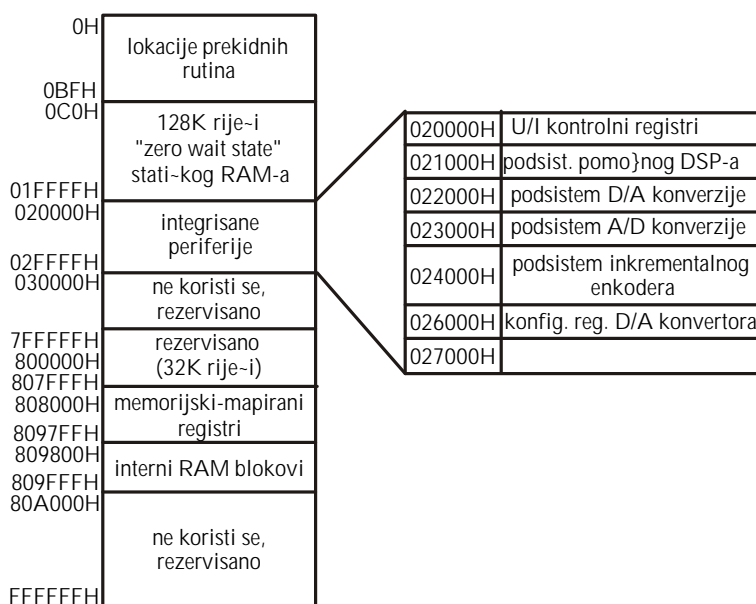
Slika 5.2. Blok schema DS1102 kartice.

## Procesor TMS320C31

TMS320C31 digital signal procesor je *floating point* procesor visokih performansi. Ima mogućnost paralelnog izvođenja operacija mnogih aritmetičko-logičke operacije na cijelom broju, ili realnom broju predstavljenom u formatu pokretnog zareza u samo jednom mačinskom ciklusu. Ovaj procesor podržava veliki adresni prostor (16Mx32) i različite načine adresiranja tako da je olakšan razvoj aplikacija u više programskim jezicima za ovaj procesor. Osnovne karakteristike procesora TMS320C31 su:

- trajanje mačinskog ciklusa 33.33ns;
- 2Kx32 *on-chip RAM* bloka za podatke;
- instrukciona memorija veličine 64x32 bita;
- instrukcije i podaci duće 32-bitne, 24-bitne adrese;
- hardverski multiplikator i aritmetičko-logička jedinica za operacije na cijelim brojevima ili realnim brojevima predstavljenim u pokretnom zarezu duće 32 ili 40 bita;
- 32-bitni pomjerajući registar;
- osam 40-bitnih akumulatora;
- dve nezavisne aritmetičke jedinice za adresiranje;
- serijski port;
- DMA kontroler za konkurentnu DMA;
- četiri vanjska prekida;
- dva 32-bitna tajmera.

Mikroprocesor TMS320C31 podržava adresiranje adresnog prostora maksimalne veličine 16Mx32. Memorijska mapa DS1102 modula prikazana je na slici 5.3.

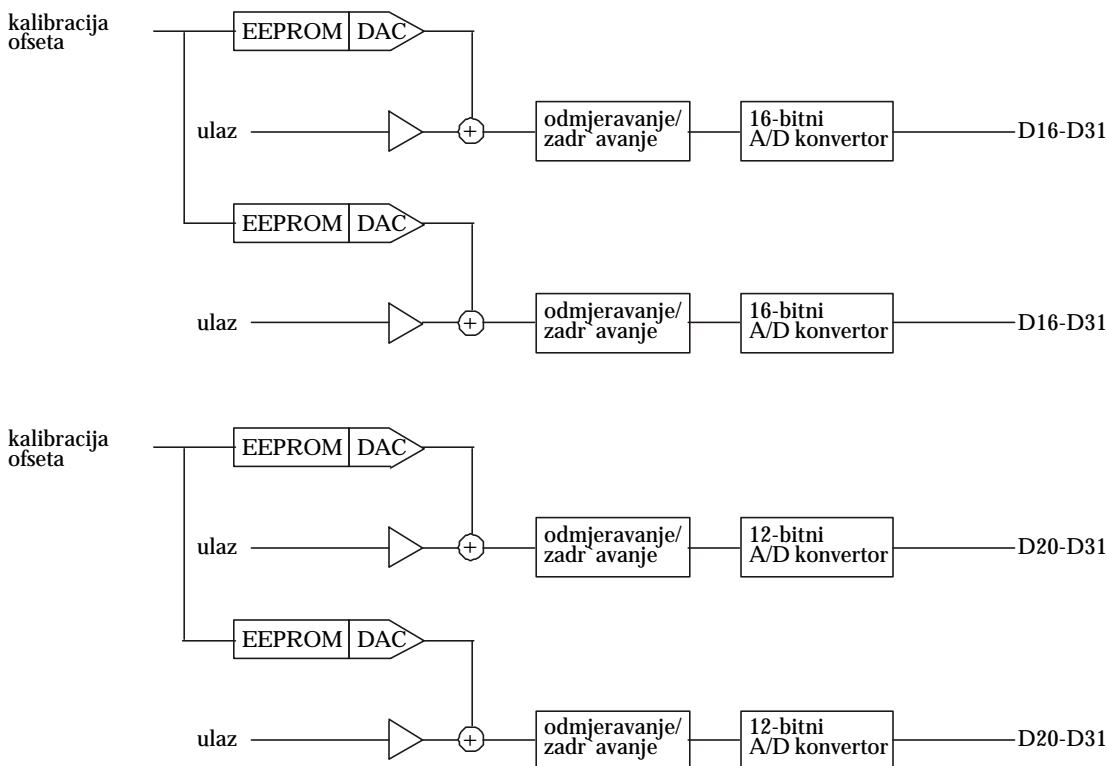


Slika 5.3. Memorijska mapa DS1102 modula.

## Periferne jedinice

DS1102 sistem ima i odgovarajuće podsisteme perifernih jedinica kojima je podržana primjena ove kartice u aplikacijama upravljanja u realnom vremenu. Radi boljeg razumjevanja praktične realizacije algoritma za minimizaciju snage gubitaka vektorski regulisanog asinhronog pogona, u radu će biti kratko opisani samo oni podsistemi periferija koji su korišteni u eksperimentu.

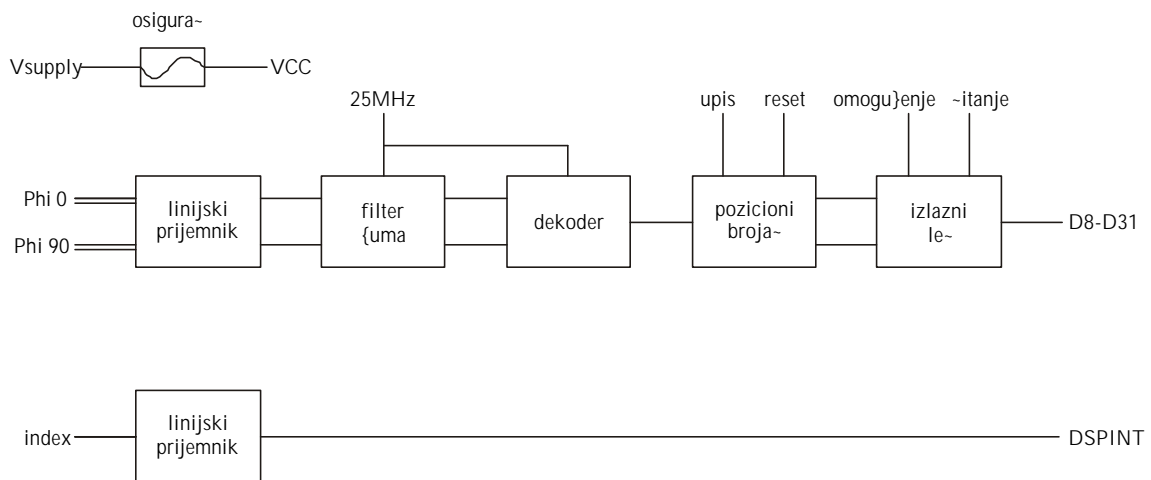
Podsistem za analogno-digitalnu konverziju sadrži dva 16-bitna i dva 12-bitna A/D konvertora. Svaki A/D konvertor ima integrисано kolo za odmjeravanje i zadržavanje. Konverzija se obavlja metodom sukcesivne aproksimacije, a rezultat konverzije se upisuje u 16-bitni registar podataka (sl. 5.4). Trajanje A/D konverzije je  $4\mu s$  za 16-bitnu, odnosno  $1.25\mu s$  za 12-bitnu konverziju. Opseg ulaznog analognog napona je  $\pm 10V$ . Sve povratne linije povezane su na masu sistema. Ulazno kolo A/D konvertora sadrži i digitalno kontrolisanu jedinicu za kalibraciju koja se koristi za kompenzaciju grešaka uslijed *offset-a*.



**Slika 5.4. Blok dijagram podsistema za A/D konverziju.**

Podsistem inkrementalnog enkodera sadrži dva interfejsa za inkrementalni enkoder. Svaki interfejs ima diferencijalni prijemnik za ulazne signale, digitalni filter (uma, dekoder koji konvertuje informaciju o fazi ulaznih signala u smjer brojanja ulaznih impulsa (*up* ili *down* brojaci impulsi), 24-bitni brojaci koji sadrži informaciju o tekućoj poziciji senzora i 24-bitni leđi. Maksimalna frekvencija ulaznih signala koje

interfejs inkrementalnog enkodera može da obradi je 8.3MHz. Digitalni filter (uma) filtrira smetnje kraće od 80ns.



**Slika 5.5. Blok dijagram interfejsa inkrementalnog enkodera.**

Digitalni ulazno-izlazni podsistem DS1102 modula ima i 16-bitni *DSP* mikrokontroler TMS320P14 koji čini jezgro ovog podsistema. Pored mikrokontrolera U/I podsistem sadrži:

- bit adresibilni U/I port,
- 4 tajmera,
- 6 PWM kola,
- 4 ulaza za prihvatanje signala i
- serijski interfejs.

Mikrokontroler TMS320P14 sadrži 16-bitni port koga čini 16 adresibilnih priključaka. Ovaj port se konfiguriše pomoći ~etiri 16-bitna registra. Izlazni drajver svakog priključka U/I porta ima interni otpornik prema napajanju ( $V_{cc}=+5V$ ).

U/I podsistem ima i 6 PWM kola koja mogu generisati 6 impulsno-firinski modulisanih signala. Generisanje PWM signala se ostvaruje u podsistemu za poređenje, koji se sastoji od 6 registara za poređenje i 6 akcionalih registara preko kojih se kontroluju izlazi U/I priključaka. Sadržaji registara za poređenje porede se sa vrijednoću brojkih registara tajmera 1 ili tajmera 2. Na ovaj način može se ostvariti to, da se na U/I pinovima pridruženim podsistemu za poređenje generišu periodični impulsi kod kojih je trajanje visokog nivoa impulsa vremenska funkcija.

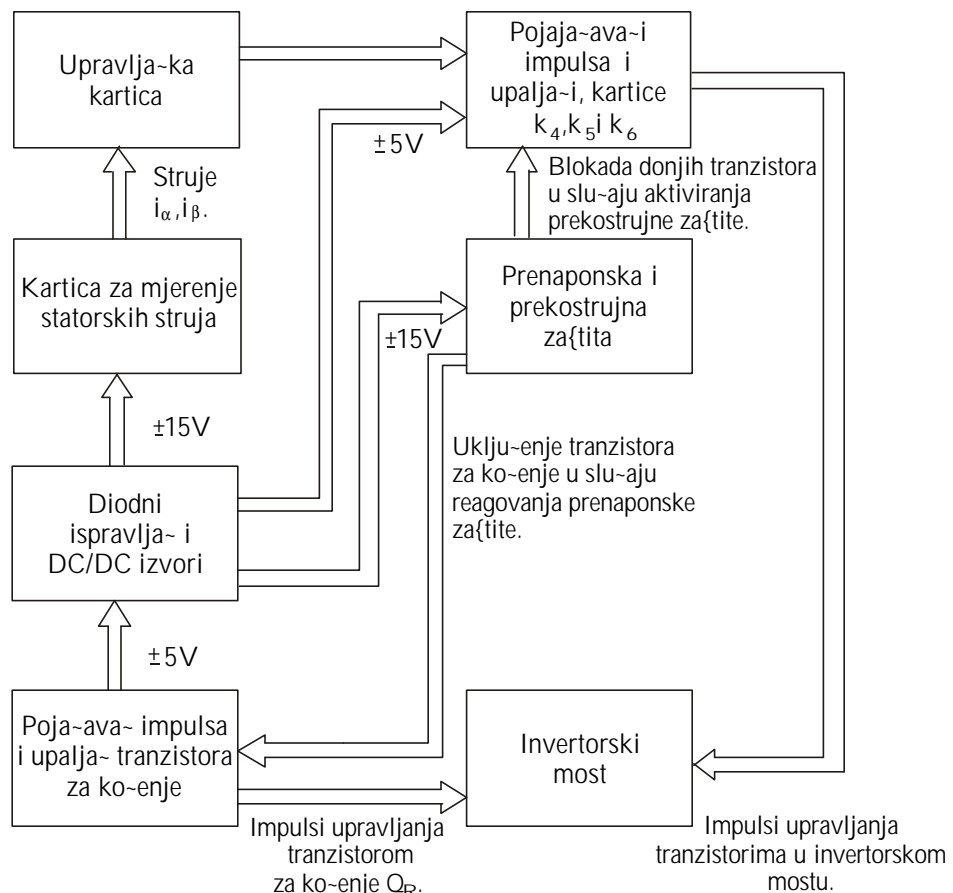
### 5.1.2 Pogonski pretvarač

Pogonski pretvarač sastoji se iz:

- Energetskog kola pretvarača;

- Kartica  $k_2$ ,  $k_3$  i  $k_4$ , koji su jednosmjeri naponski izvori (DC/DC pretvarači) iz koga se napaja upravljačka elektronika). Kartice  $k_2$  i  $k_3$  sadrže jednosmjerne izvore  $\pm 15V$ , a kartica  $k_4$  -etiri jednosmjerna izvora  $\pm 5V$ ;
- Četiri upaljačke kartice  $k_5$ ,  $k_6$ ,  $k_7$  i  $k_8$  za uključenje energetskih tranzistora invertora;
- Kartica prekostrujne i prenaponske zaštite  $k_9$ ;
- Kartica za mjerjenje faznih struja  $k_{10}$ .

Funkcionalna schema energetskog pretvarača prikazana je na slici 5.6.



**Slika 5.6. Funkcionalna schema pogonskog pretvarača.**

Energetsko kolo pretvarača sastavljeno je od 3 bloka (sl. 5.1). Prvi dio je diodni most, drugi dio je jednosmjerno meračko kolo sa žantom u donjoj grani sa koga se dobija naponski signal o struci kola, otpornikom i tranzistorom za ko-enge, te elektrolitskim kondenzatorima ( $1000\text{nF}$ ,  $450V DC$ ) koji ispravljeni jednosmerni napon pridržavaju na maksimalnoj vrijednosti ulaznog naizmjeničnog napona. Treći dio je invertorski most sa bipolarnim  $100A$  energetskim tranzistorima QM100 i antiparalelno vezanim diodama ugradenim u isto kućište.

Na karticama  $k_3$  i  $k_4$  nalaze se jednosmjerni izvori koji napajaju upravlja~ka kola invertora. Ove kartice se napajaju iz posebnog diodnog ispravlja~a (kartica  $k_2$ ), ~ime je razdvojeno napajanje energetskog dijela invertora od upravlja~ke elektronike. Kartice  $k_2$  i  $k_3$  imaju jedan jednosmjerni izvor  $\pm 15V$ , a kartica  $k_4$  ~etiri jednosmjerna izvora  $\pm 5V$ . Svi izvori su me|usobno galavanski odvojeni. Jednosmjerni izvori su realizovani kao samoosciluju}i  $DC/DC$  pretvara~i .

Kartice  $k_5$ ,  $k_6$ ,  $k_7$  i  $k_8$  predstavljaju upalja~e energetskih tranzistora. Svaka kartica sadr` i dva upalja~a. Upalja~i prihvataju signale za upravljanje tranzistorima od strane upravlja~kog modula preko optopara, a zatim ih uobi~avaju i poja~avaju u oblik potreban za uklju~enje i isklju~enje energetskih tranzistora. Optoparovi na ulazu svakog upalja~a obezbje|uju galvansko odvajanje upravlja~kog DS1102 modula od upalja~kih kartica pogonskog invertora.

Ulazni signali na kartici prenaponske i prekostrujne za{tite su napon na {antu i napon jednosmjernog kola. Masa kartice je na  $-DC$  {ini. U slu~aju aktiviranja prekostrujne za{tite izlazni signali sa kartice idu na poja~ava~e impulsa donjih tranzistora invertorskog mosta  $k_5$ ,  $k_6$  i  $k_7$  i dolazi do isklju~enja ovih tranzistora. Izlazni signal kola prenaponske za{tite ide na karticu  $k_8$ , i~ime se uklju~uje tranzistor za ko~enje  $Q_R$  i smanjuje napon u jednosmjernom me|ukolu.

Kartica za mjerjenje statorskih struja  $k_{10}$  kao izlazne signale ima napone koji odgovaraju strujama  $i_a$  i  $i_b$  u stacionarnom  $\mathbf{a}-\mathbf{b}$  koordinatnom sistemu. Kao mjerni elementi koriste se Holove sonde, ukupno dvije. Jedna sonda mjeri struju  $i_a$ , a druga razliku  $i_b - i_c$ . Na osnovu izraza za statorske struje za asinhroni motor sa statorskim namotajima vezanim u zvijezdu i veze izme|u statorskih struja u  $\mathbf{a}-\mathbf{b}$  koordinatnom sistemu ( $i_a$ ,  $i_b$ ) i faznih struja ( $i_a$ ,  $i_b$ ,  $i_c$ ):

$$\begin{aligned} i_a + i_b + i_c &= 0 \\ i_a &= i_a - \frac{1}{2}i_b - \frac{1}{2}i_c, \\ i_b &= \frac{\sqrt{3}}{2}i_b - \frac{\sqrt{3}}{2}i_c \end{aligned} \tag{5.1}$$

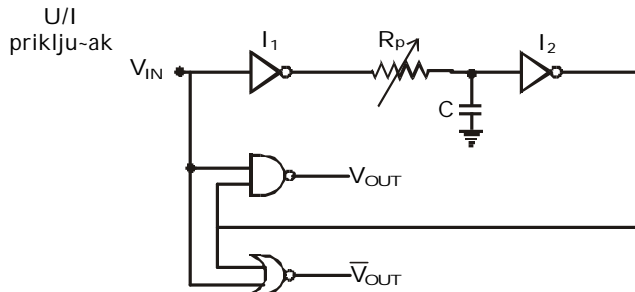
dobija se:

$$\begin{aligned} i_a &= \frac{3}{2}i_a \\ i_b &= \frac{\sqrt{3}}{2}(i_b - i_c). \end{aligned} \tag{5.2}$$

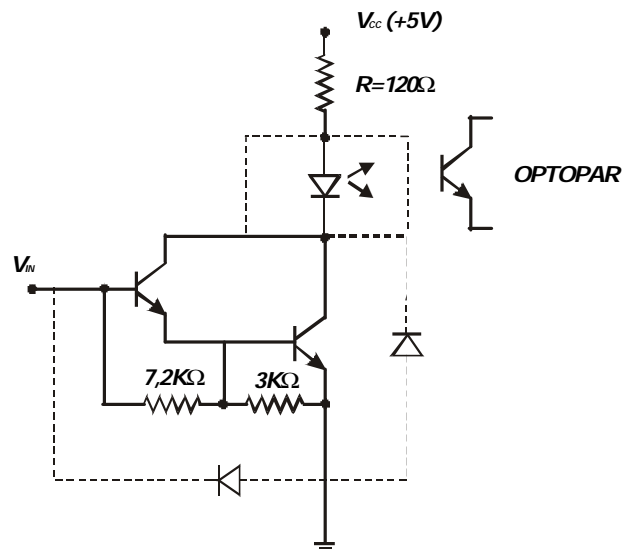
Kartica je pode{ena tako da izmjerenoj struji od 1A odgovara napon od 1V. Informacija o strujama  $i_\alpha$  i  $i_\beta$  se vode na 16-bitne A/D konvertore upravlja~ke kartice.

Prilagodni stepen (sl. 5.1) sastoji se iz dva dijela. Prvi dio je kolo za kontrolu mrvog vremena (sl. 5.7). Vrijeme izme|u isklju~enja jednog i uklju~enja drugog prekida~a u istoj grani invertorskog mosta mo`e se pode{avati u opsegu 0.1-40μs.

Drugi dio pojava-ava-impulsa upravlja-kog modula. Ovaj pojava-ava-realizovan je pomoću ULN2803 kola (sl. 5.8). Ulaz pojava-ava-a je CMOS kompatibilan, tako da se može priključiti direktno na U/I priključak upravlja-kog modula. Pojava-ani upravlja-ki impulsi vode se na upalja-ke kartice. Ulaz svake upravlja-ke kartice je galvanski izolovan preko optopara.



**Slika 5.7. Kolo za kontrolu mrtvog vremena.**



**Slika 5.8. Poja-ava- upravlja-kih impulsa.**

## 5.2 OPIS PROGRAMSKE REALIZACIJE

U eksperimentalnoj provjeri algoritma za minimizaciju snage gubitaka vektorski regulisanog asinhronog pogona, pored odgovarajućeg hardvera, potrebno je napraviti i program kojim će se ovaj algoritam implementirati.

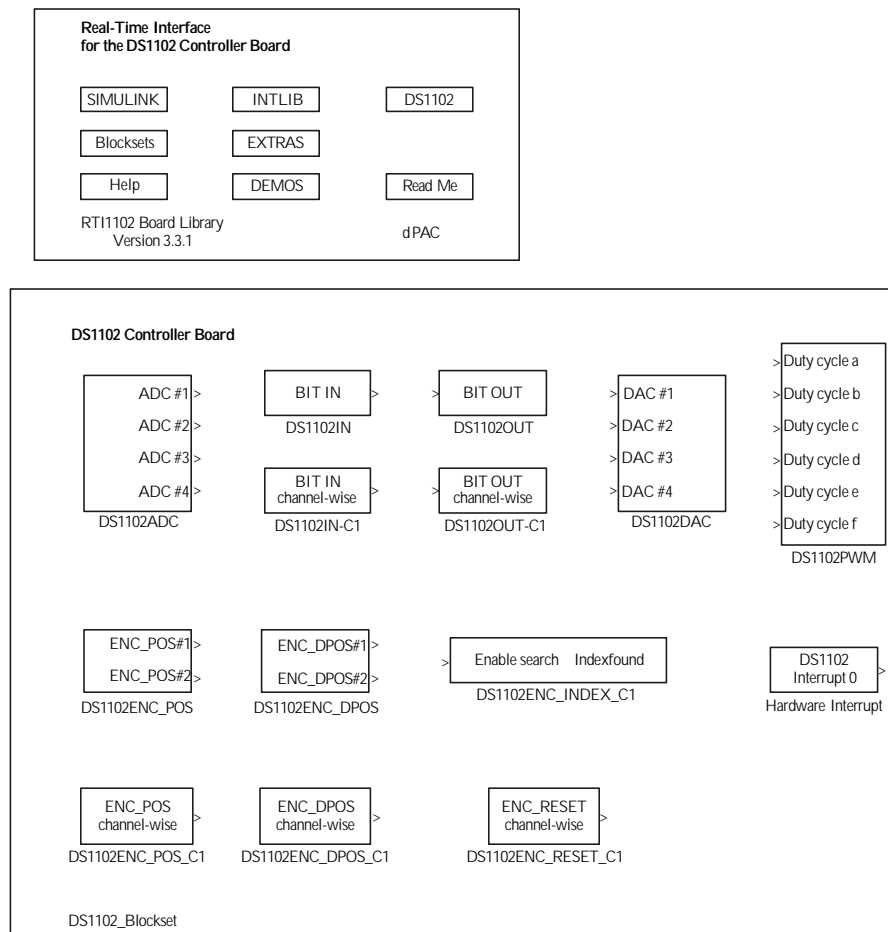
Algoritam je realizovan u programskom paketu Matlab-Simulink i dSPACE-ovom paketu za razvoj aplikacija u realnom vremenu. Ovaj paket pored DS1102 upravlja-ke kartice sadrži i odgovarajući softver kojim je podržan razvoj aplikacija kao Simulink modela ili C programa za izvođenje na DS1102 kartici. dSPACE razvojni kit sadrži:

- MLIB/MTRACE programske biblioteke;
- dSPACE programsku biblioteku (*RTLib1102*) koja podržava programe za rad u realnom vremenu;
- ControlDesk softver koji obezbeđuje funkcije učitavanja programa, te startovanje i zaustavljanje izvršenja programa na DS1102 kartici;
- ControlDesk grafički interfejs za upravljanje eksperimentom, upravljanje hardverom i editorom izvornog koda.

*ControlDesk* sadrži i set virtualnih instrumenata, editor parametara, makro zapis izvedenih operacija, što omogućuje upotrebu *Python* programskog jezika za pravljenje modula kojima se mogu automatizirati gotovo sve *ControlDesk* funkcije, ili pristupiti *MSExcel*-u, ili *MSWord*-u.

Prepostavka za korištenje *dSPACE* softvera je već instaliran Matlab verzija 5.0, ili novija i *Real Time Workshop (RTW)*.

Posebna pogodnost *dSPACE* programskog paketa je mogućnost da se aplikacije upravljanja u realnom vremenu realizuju kao Simulink programi. U tu svrhu, u okviru Simulink-a postoji i blok sa alatkama koji sadrži blokove U/I jedinica koji se nalaze na kartici (sl. 5.9).

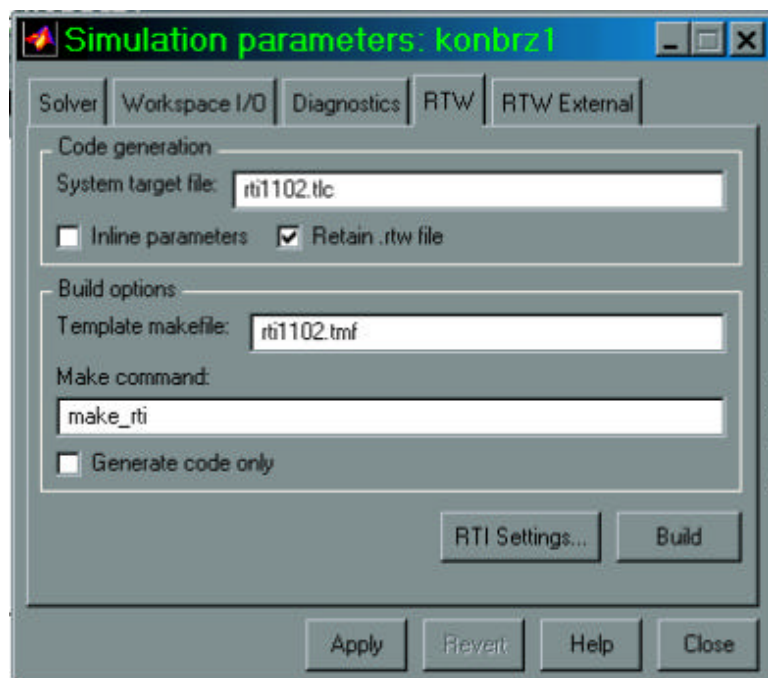


**Slj. 5.9. DS1102 Simulink Toolbox.**

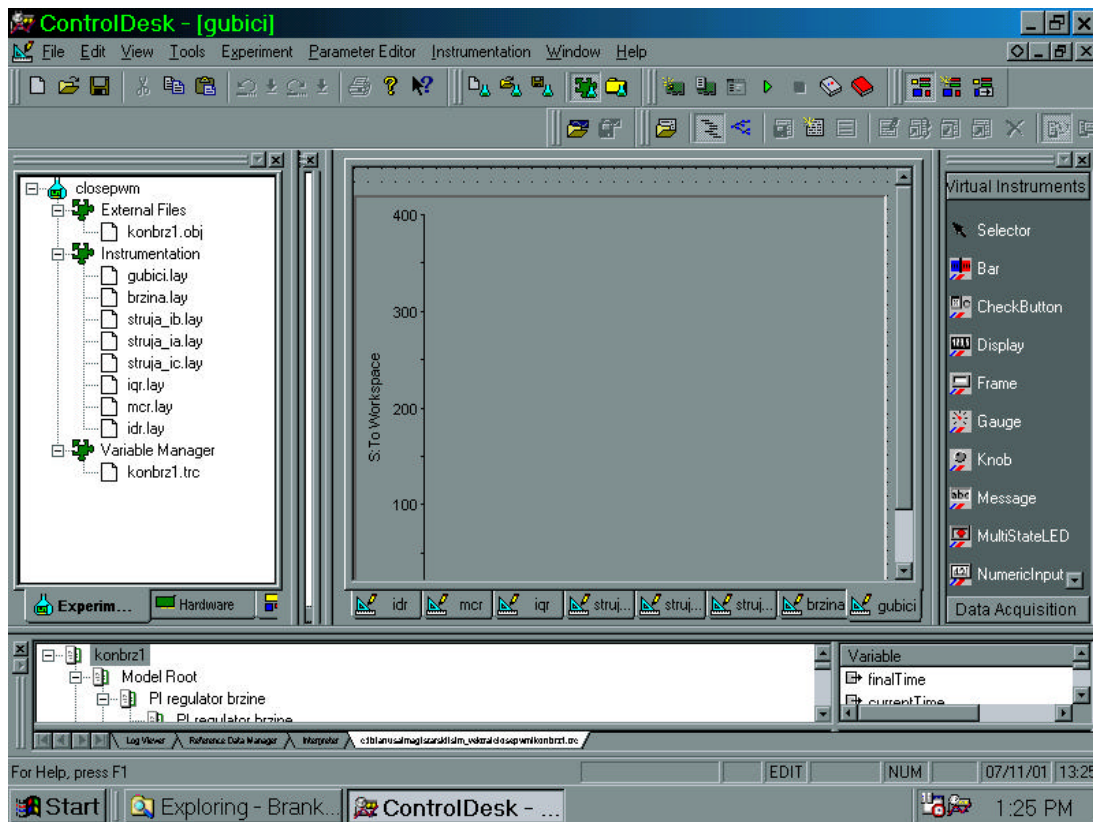
Ovaj set Simulink blokova omogućava i korištenje softverskih, odnosno hardverskih prekida, te realizacije zadataka koji su vremenski određeni, ili nije je izvršenje uslovljeno pojmom nekog hardverskog događaja.

Nakon formiranog Simulink modela za rad u realnom vremenu potrebno je definisati i parametre simulacije, trajanje i korak simulacije. Korak simulacije u ovom slučaju predstavlja vremenski period kojim je određeno izvršenje zadataka upravljanja u realnom vremenu. Drugim rečima, svi zadaci upravljanja u realnom vremenu izvršavaju se u vremenskom intervalu koji je cjelobrojni umnožak definisanog koraka simulacije. Ovaj korak mora biti definisan tako da hardver može ostvariti tu brzinu rada. U suprotnom, sistem će javiti poruku da se *real-time* aplikacija ne može izvršavati sa specificiranim korakom, te ga treba povezati.

Po definisanju parametara simulacije, u okviru *Real Time Workshop*-a, definije se ciljni sistem (kartica na kojoj se program izvršava) i pokreće *build* procedura (sl. 5.10). U okviru *build* procedure vrši se prevođenje programa i njegovo punjenje u programsku memoriju *dSPACE* kartice. Na ovaj način ima se pripremljen program za izvođenje eksperimenta u realnom vremenu. Izvođenje eksperimenta se vrši u *ControlDesk* okruženju (sl. 5.11). Ovo okruženje sadrži grafički interfejs koji omogućuje startovanje i zaustavljanje eksperimenta, upotrebu virtuelnih instrumenata, alata za akviziciju podataka, podeavanje parametara modela, kreiranje makrozapisa i povezivanje sa drugim programima *MS Office*-a.



Slika 5.10. Definisanje ciljnog sistema u *Real Time Workshop*-u.



**Slika 5.11. ControlDesk okru`jenje.**

Model vektorski regulisanog asinhronog pogona sa algoritmom za minimizaciju gubitaka koji je implementiran na VEKTRI prikazan je na sl. 5.12.

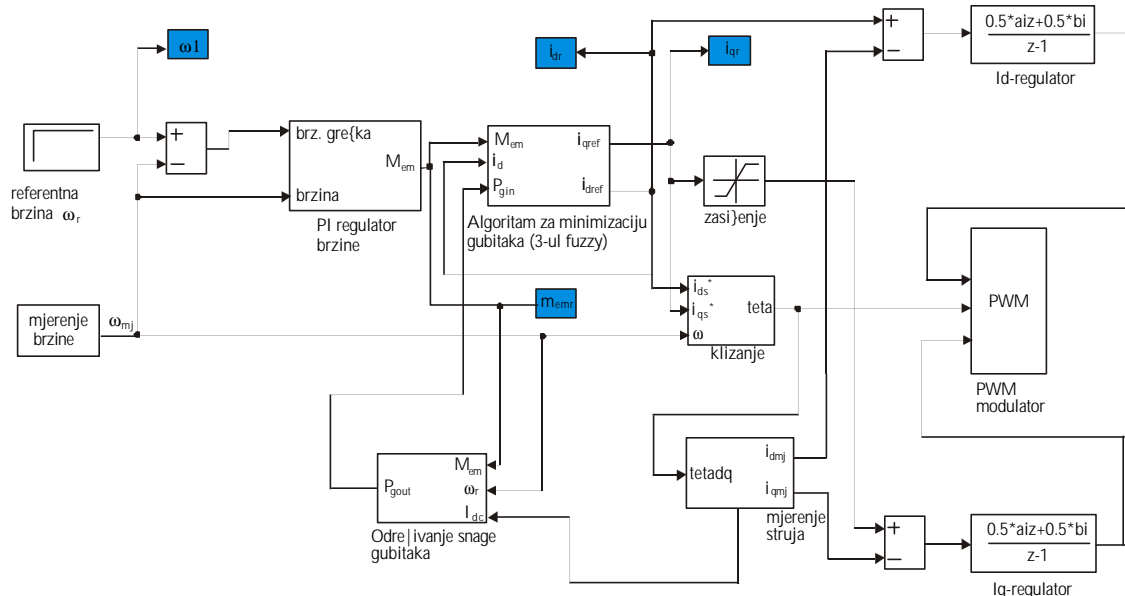
Model se sastoji iz:

- bloka za mjerjenje brzine sa brzinskim regulatorom,
- bloka za minimizaciju snage gubitaka,
- bloka za mjerjenje faznih struja sa strujnim regulatorima i
- bloka za upravljanje strujno regulisanim naponskim invertorom.

Pogon radi na slijede}i na-in.

Mjeri se brzina vratila motora. Za mjerjenje brzine koristi se inkrementalni enkoder koji generi{e 1000 impulsa po obrtaju. U okviru bloka za mjerjenje brzine upotrebljen je enkoder interfejs model iz dSPACE-ovog Toolbox-a. Razlika izme|u referentne i izmjerene brzine uvodi se u brzinski regulator koji je realizovan kao inkrementalni proporcionalno-integralni regulator. Izlaz iz brzinskog regulatora je referentna vrijednost elektromagnetskog momenta. Zadati elektromagnetski moment, referentna vrijednost struje  $i_d$  u prethodnom koraku i izra~unata snaga gubitaka uvođe se u blok za minimizaciju gubitaka. Izlaz iz optimizacionog regulatora su referentne vrijednosti struja  $i_d$  i  $i_q$ . Od ovih struja oduzimaju se izmjerene vrijednosti struja  $i_d$  i  $i_q$ .

Primjenom inverzne  $B$  transformacije iz izmjerениh faznih struja ( $i_a, i_b, i_c$ ) dobijaju se vrijednosti za struje  $i_d$  i  $i_q$ . Razlika između referentne i izmjerene statorske struje po  $d$  i  $q$  komponenti uvodi se u strujni regulator. Strujni regulator realizovan je kao digitalni, linearni  $PI$  regulator u  $d-q$  koordinatnom sistemu. Proračun parametara strujnog regulatora izvršen je postupkom opisanom u radu [40]. Izlazne veličine iz ovih regulatora su referentne vrijednosti napona  $v_d$  i  $v_q$ . Transformacijom ovih napona iz rotacionog u stacionarni koordinatni sistem dobijaju se referentne vrijednosti statorskih napona i one se koriste za upravljanje naponskim invertorom. Upravljanje naponskim invertorom vrši se postupkom impulsno-fuzijske modulacije i u tu svrhu upotrebljen je  $PWM$  blok u okviru *dSPACE*-ovog *Toolbox*-a.

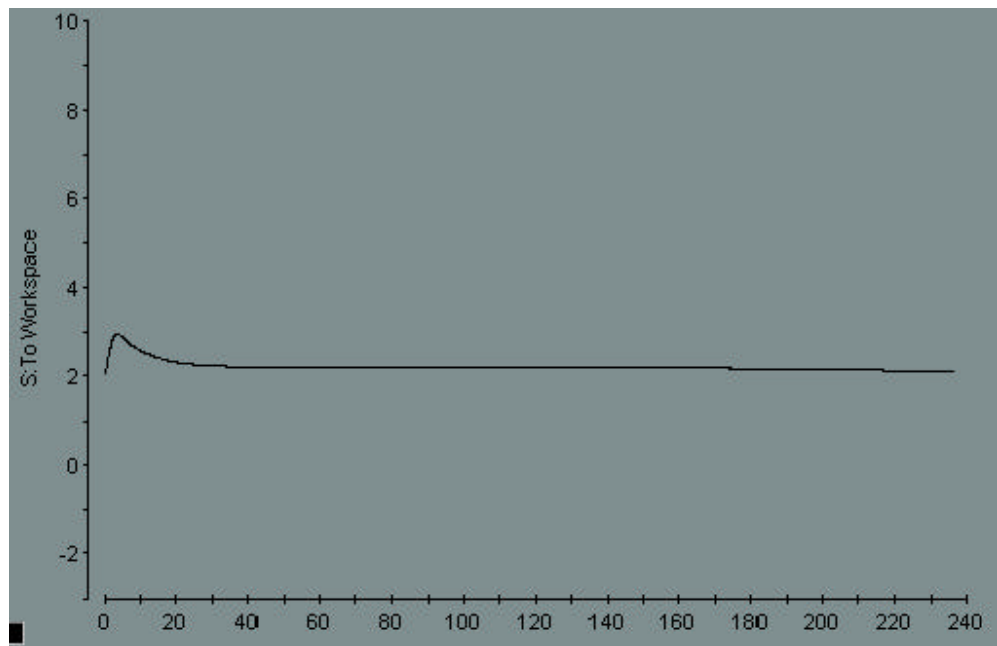


**Slika. 5.12. Model vektorski regulisanog asinhronog pogona za minimizaciju gubitaka koji je implementiran na VEKTRI.**

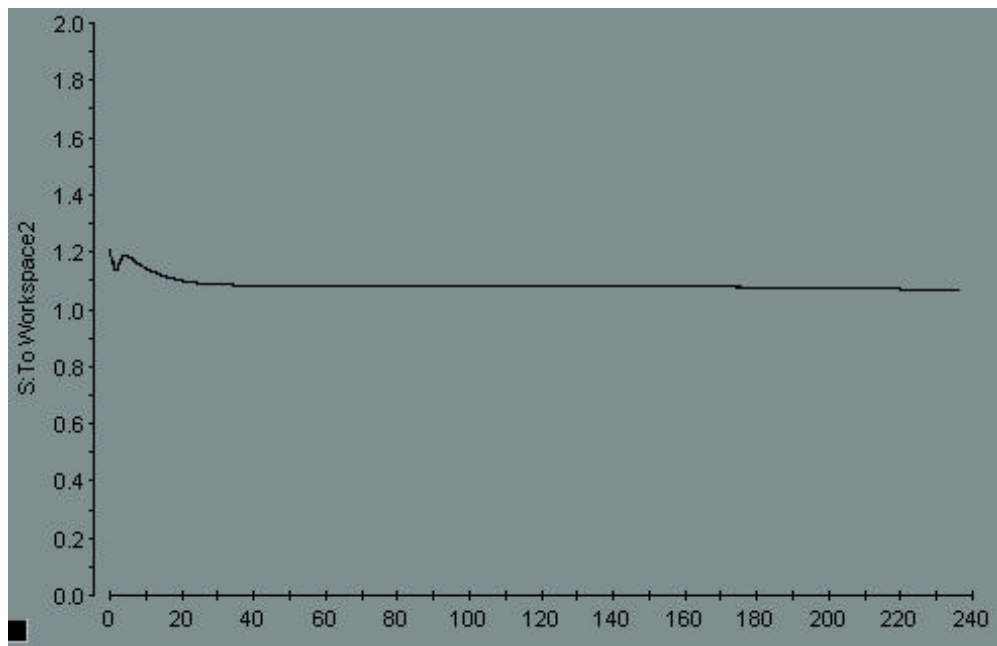
Prikaz mjereneh veličina u toku rada pogona realizovan je upotrebom *ControlDesk* grafičkog interfejsa i *plotter* alata.

Ovaj alat omogućuje *on-line* praćenje bilo koje veličine u modelu, te definisanje raspodjele po x i y osi. Takođe, moguće je definisati vremenski period u kome se uzima informacija o veličini koja se prikazuje. Ograničenje je da taj period mora da bude cijelobrojni umnožak definisanog perioda rada sistema.

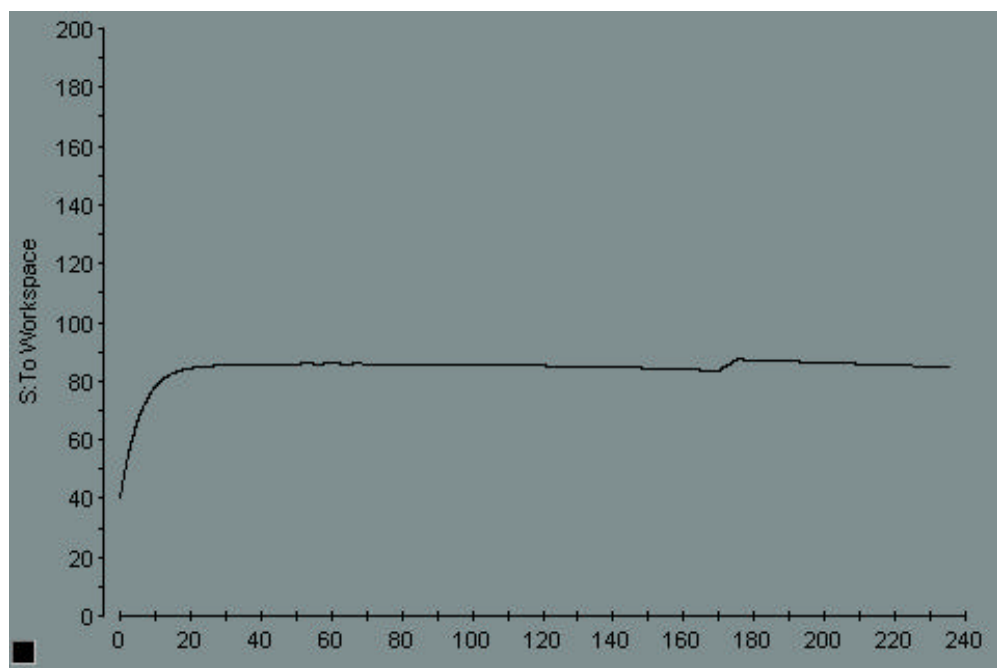
Na slikama 5.13-5.17 prikazani su eksperimentalni rezultati primjene algoritma za minimizaciju gubitaka za konstantan moment opterećenja  $M_{opt}=2\text{Nm}\approx0.4M_{em,n}$  i konstantnu mehaničku brzinu  $\omega_r=250$  obr/min. Parametri motora na kojem je vršena eksperimentalna provjera algoritma dati su u prilogu 2. rada.



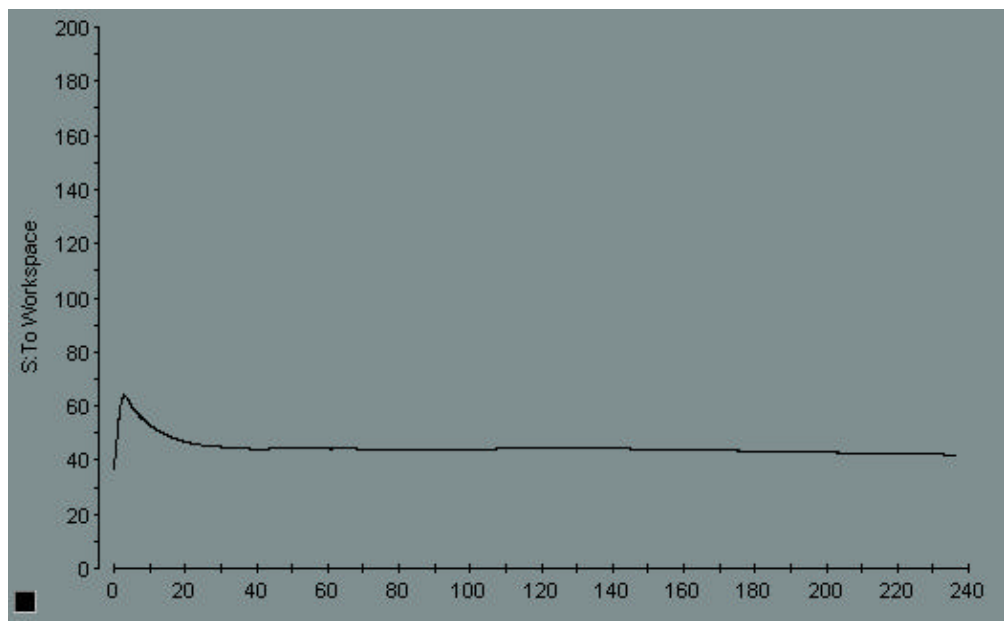
Slika 5.13. Grafik momenta optereženja za koga je vršena eksperimentalna provjera rada algoritma (kontinualna vrijednost momenta optereženja).



Slika 5.14. Grafik struje  $i_d$  dobijen eksperimentalnim putem za moment sa slike 5.13.



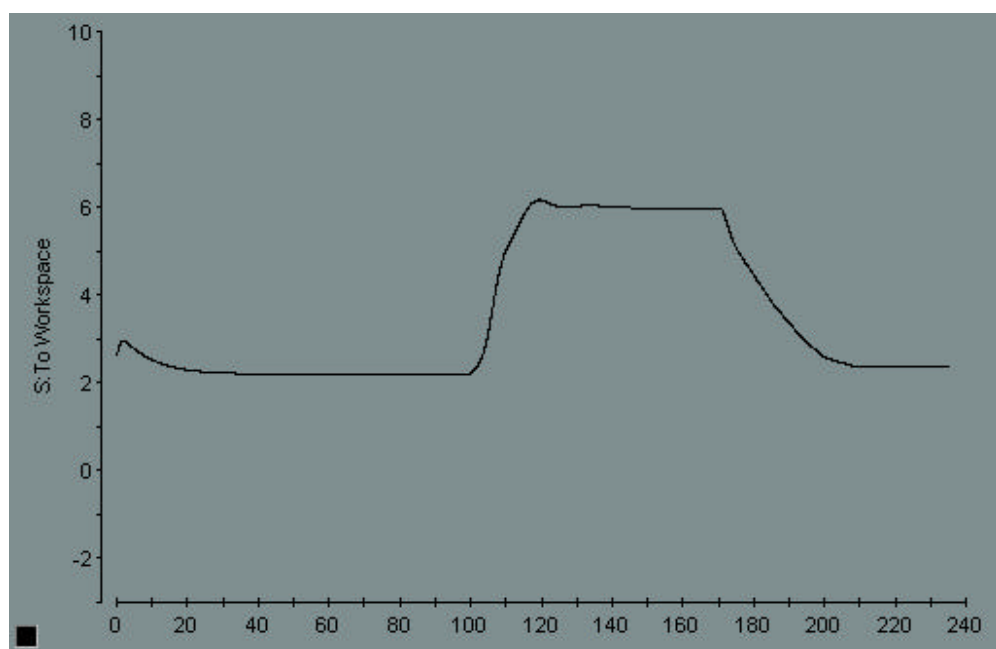
Slika 5.15. Grafik snage gubitaka dobijen eksperimentalnim putem za opterećenje sa slike 5.13 i bez prisustva optimizacionog regulatora.



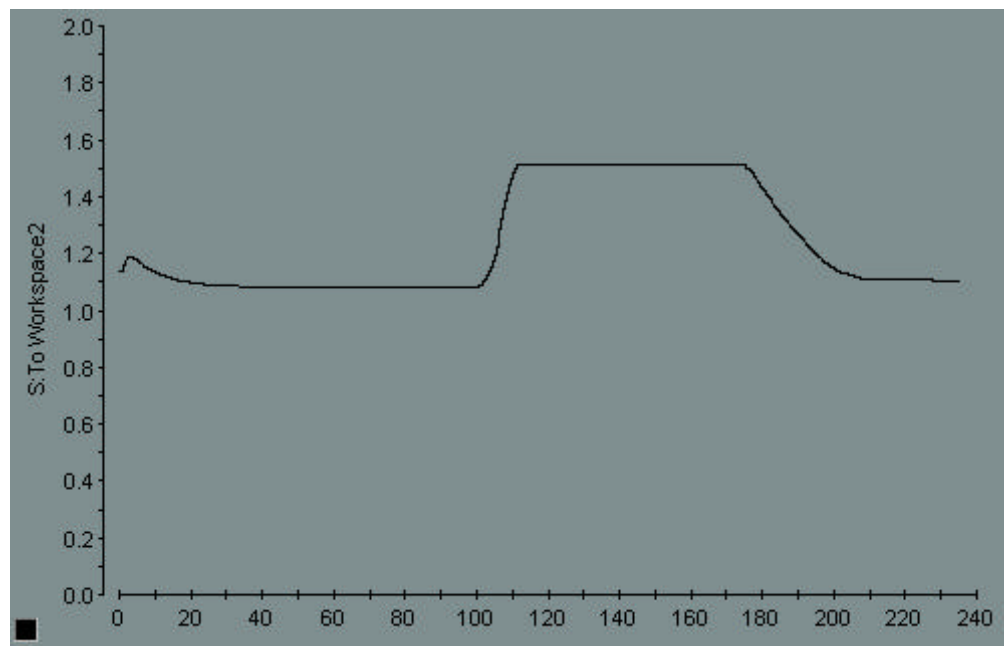
Slika 5.16. Grafik snage gubitaka dobijen eksperimentalnim putem za opterećenje sa slike 5.13 i sa prisustvom optimizacionog regulatora.

Sa slike 5.13–5.16 može se zaključiti, da su za konstantnu vrijednost momenta opterećenja  $M_{opt} \approx 0.4M_n$ , djelovanjem algoritma za minimizaciju gubitaka, električni gubici u pogonu smanjeni. Optimizacioni algoritam djeluje tako da smanjuje i gubitke u pogonu smanjuje vrijednost struje  $i_d$  odnosno fluksa, tako da je u stacionarnom stanju  $i_d = 1.1A = 0.71i_{dn}$  (sl. 5.14). Struja  $i_d$  za model bez optimizacionog regulatora jednaka je svojoj nominalnoj vrijednosti.

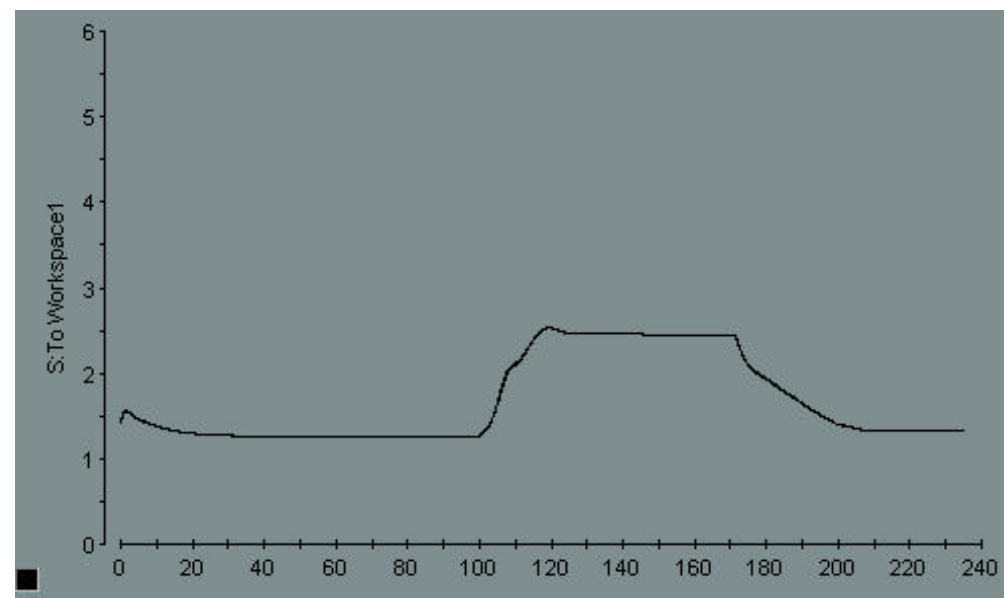
Na slikama 5.17–5.21 prikazani su eksperimentalni rezultati primjene algoritma za minimizaciju gubitaka pri skokovitoj promjeni momenta opterećenja i konstantnoj mehaničkoj brzini. Promjena momenta opterećenja je skokovita sa  $0.4M_{emn}$  na  $1.1M_{emn}$  i obrnuto. Trajanje eksperimenta je 240s.



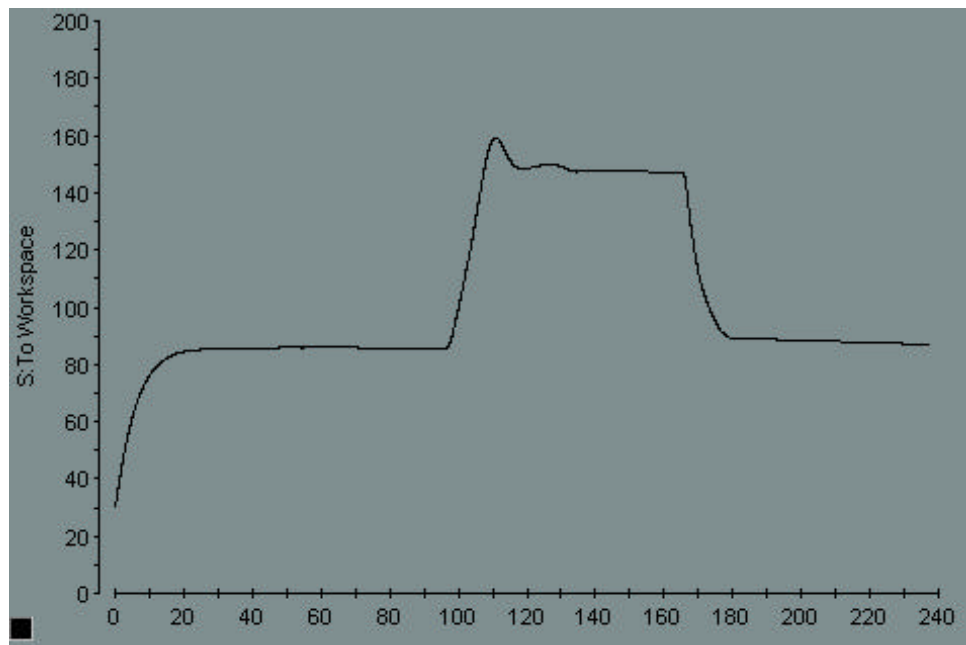
**Slika 5.17. Grafik momenta opterećenja za koga je vršena eksperimentalna provjera rada algoritma (skokovita promjena momenta opterećenja).**



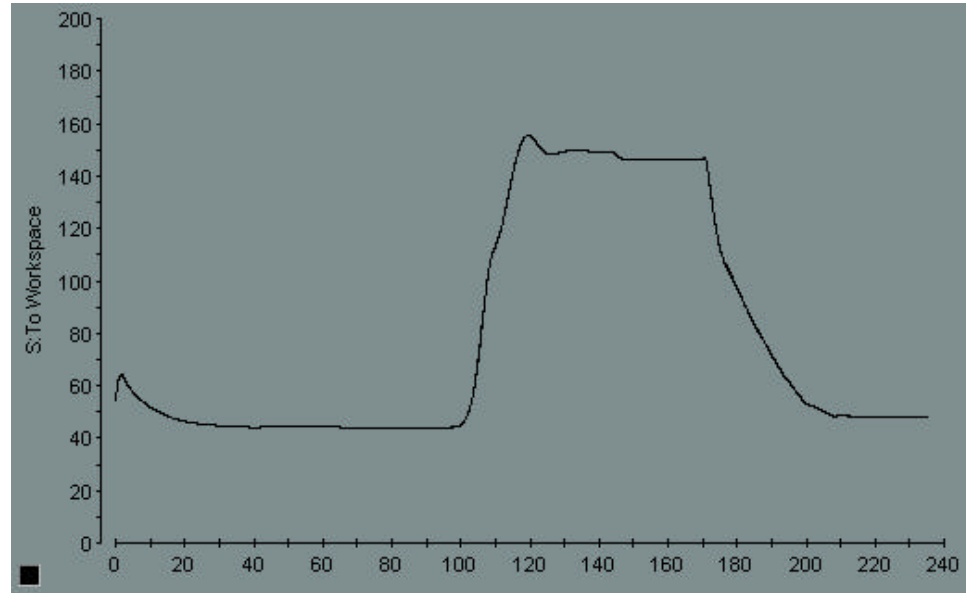
Slika 5.18. Grafik struje  $i_d$  dobijen eksperimentalnim putem za moment sa slike 5.17.



Slika 5.19. Grafik struje  $i_q$  dobijen eksperimentalnim putem za moment opterećenja sa slike 5.17.



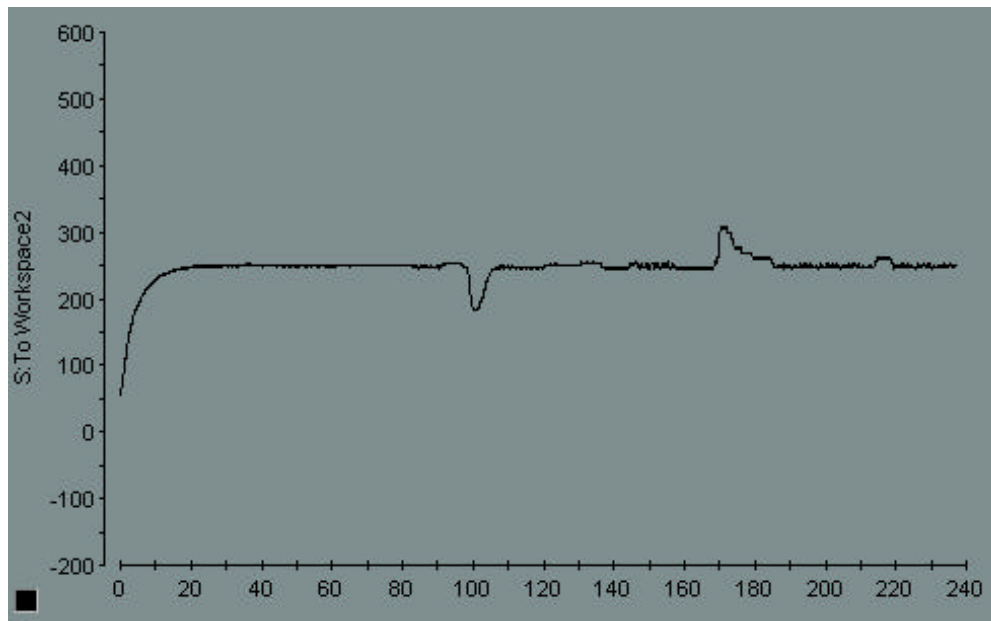
Slika 5.20. Grafik snage gubitaka dobijen eksperimentalnim putem za opteređenje sa slike 5.17 i bez optimizacionog regulatora.



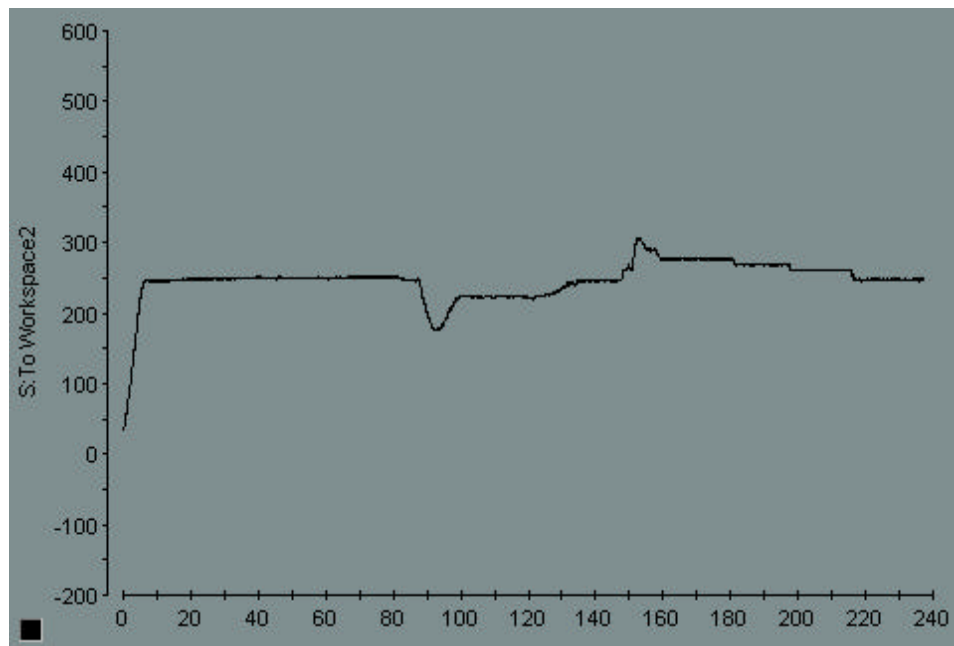
Slika 5.21. Grafik snage gubitaka dobijen eksperimentalnim putem za opteređenje sa slike 5.17 sa optimizacionim regulatorom.

Na slikama 5.17-5.21 može se vidjeti djelovanje optimizacionog regulatora za slučaj skokovite promjene momenta opterećenja. Za opterećenja koja su manja od nominalnog optimizator djeluje smanjujući gubitke u pogonu. Kada je opterećenje blisko, ili veće od nominalnog, struja  $i_d$  raste na svoju nominalnu vrijednost, tako da pogon može razviti maksimalan elektromagnetski moment. U ovim uslovima rada djelovanje optimizatora je praktično isključeno, pa su električni gubici u oba slučaja jednaki.

Algoritam za minimizaciju gubitaka prati rezervu elektromagnetskog momenta, tako da se njegovo djelovanje ne održava negativno na kvalitativne karakteristike pogona. Na slikama 5.22 i 5.23 prikazani su grafici brzine, pri skokovitoj promjeni momenta opterećenja, za pogon bez optimizacionog regulatora i sa optimizacionim regulatorom. Brzina se održava na konstantnoj vrijednosti  $\omega_r=250$  obr/min. Pri skokovitoj promjeni opterećenja sa  $0.4M_{emn}$  na  $1.1M_{emn}$  (sl. 5.17) dolazi do smanjenja brzine, ali brzinski regulator djeluje tako da generiše veću referentnu vrijednost elektromagnetskog momenta i brzina se brzo i bez preskoka vraća na referentnu vrijednost. U slučaju negativne skokovite promjene momenta (sl. 5.17) dolazi do povećanja brzine, ali brzinski regulator djeluje tako da smanjuje referentni elektromagnetski momenat i brzina se ponovo brzo vraća na svoju referentnu vrijednost. U pogonu sa optimizacionim regulatorom, pri skokovitoj pozitivnoj promjeni momenta opterećenja, regulator djeluje tako da struja  $i_d$  brzo raste i postigne svoju nominalnu vrijednost. Nakon što struja  $i_d$  postigne svoju nominalnu vrijednost, pogon se ponaša na isti način kao kada nema optimizacionog regulatora.



**Slika 5.22. Grafik brzine dobijen eksperimentalnim putem za slučaj skokovite promjene momenta opterećenja i bez optimizacionog regulatora.**



Slika 5.23. Grafik brzine dobijen eksperimentalnim putem za slučaj skokovite promjene opterećenja i sa optimizacionim regulatorom.

## ZAKLJU^KAK

U ovom radu predstavljen je jedan algoritam za minimizaciju gubitaka vektorski regulisanog asinhronog pogona primjenom fazi logike. Predlo`eni metod pripada grupi algoritama pretra`ivanja. Razlog za ovakav izbor je u tome da algoritmi pretra`ivanja imaju dosta dobrih karakteristika kao {to su: mala osjetljivost na promjene parametara pogona, jednostavnost u primjeni, mogu se koristiti za bilo koji standardni asinhroni pogon i njihova primjena ne zahtjeva kori{tenje dodatnih senzora.

Snaga elektri~nih gubitaka kod asinhronog motora mo`e se izraziti kao eksponencijalna funkcija fluksa. To zna~i da postoji ta~no odre|ena vrijednost fluksa pri kojem }e elektri~ni gubici u motoru biti minimalni u datim uslovima rada pogona. Rad predlo`enog algoritma zasniva se na adaptivnom pode{avanju fluksa u ma{ini, tako da za date uslove rada pogona (brzina i moment), pogon radi sa minimalnim gubicima. Struja  $i_d$ , odnosno fluks mijenjaju se u ekvidistantnim trenucima dovoljno dugim da bi se zavr{io prelazni procesi i uspostavile nove vrijednosti fluksa i struje  $i_q$ . Da bi se ostvario brz prelaz u optimalnu radnu ta~ku pogona sa adaptivnom promjenom koraka struje  $i_d$ , optimizacioni regulator relalizovan je sa fazi kontrolerom. Kontroler omogu}uje da se na osnovu ulaznih veli~ina i `eljenog odziva formiraju fazi skupovi i pravila, te obu~i tako da se dobije `eljeno pon{anje sistema.

Jedan od zadataka u okviru rada bio je i da se provjeri na~in na koji se mogu smanjiti nedostaci algoritama tra`enja kao {to su talasnost momenta i osjetljivost pogona na promjenu momenta optere}enja. Jedna od ulaznih veli~ina u fazi kontroler je i rezerva elektromagnetskog momenta. Kontroler }e preduzimati odgovaraju}e korake, tako da }e bez obzira na rad optimizacionog regulatora, odr`avati dovoljno veliku rezervu elektromagnetskog momenta. U slu~aju skokovitog pove}anja momenta optere}enja, pogon }e mo}i razviti potreban elektromagnetski moment. Na ovaj na~in smanjena je osjetljivost pogona na nagle promjene optere}enja {to je bio jedan od zna~ajnih nedostataka algoritama tra`enja. Pri malim optere}enjima pogona, zbog odr`avanja dovoljne rezerve momenta, vrijednost fluksa u ma{ini bi}e ve}a od optimalne i zbog toga }e gubici biti ne{to ve}i od minimalnih za te uslove rada. S druge strane, zbog ve}eg nivoa fluksa od optimalnog, pri skokovitom pove}anju momenta optere}enja, gubici u prelaznom re`imu bi}e ve}i nego kada nema kontrole rezerve momenta. Pokazano je da ovaj algoritam, s jedne strane osigurava dovoljnu rezervu elektromagnetskog momenta, a da s druge strane ne uti~e zna~ajnije na pove}anje gubitaka zbog uvo|enja ovog ograni~enja.

Napravljen je model za ovaj algoritam i izvr{ena provjera njegovog rada putem ra~unarske simulacije elektri~nog pogona sa asinhronim motorom. Simulacijom su dobiveni rezultati na osnovu kojih se mo`e zaklju~iti da ovaj algoritam daje pribli`no iste, ili ~ak bolje rezultate u odnosu na druge optimizacione metode ve} publikovane u literaturi, i to u razli~itim uslovima rada pogona.

Eksperimentalno testiranje rada predlo`enog algoritma izvr{eno je na laboratorijskoj stanici za vektorsko upravljanje asinhronim pogonom – VEKTRI. Kao upravlja~ki modul upotrebljena je *dSPACE* kartica, a odgovaraju}i programski model napravljen je u programu Matlab-Simulink i *dSPACE*-ovom paketu za razvoj aplikacija u realnom vremenu. Dobijeni eksperimentalni rezultati bliski su onima koji

su dobijeni putem simulacija za iste radne uslove pogona. Na ovaj na~in je i prakti~no potvr|ena valjanost predlo`enog algoritma.

Pona{anje fazi kontrolera moglo bi se pobolj{ati ako bi se u toku obuke kontrolera koristili alati vje{ta~ke inteligencije, na primjer neuronske mre`e. Tako|e, elektromagnetski moment posjeduje odre|ene pulsacije koje su posljedice ~injenice da u radu algoritama za minimizaciju struja  $i_d$  nikad ne dosti`e stacionarno stanje, nego osciluje oko ravnote`ne ta~ke sa nekim malim korakom. Ovaj problem zahtjeva rje{enje, ako se `eli otkloniti mogu}nost pojave mehani~ke rezonancije. Ovo su samo neke od smjernica koje mogu biti interesantne za dalje istra`ivanje u ovoj oblasti.

## **Prilog 1. Parametri motora TYP ZK-80 “Sever” Subotica**

3MOT	$\Delta 220/Y380V$
3,6/2,1 A	0.75kW
$\cos j = 0,72$	1390 o/min
50 Hz	

$R_s = 10\Omega$	
$R_r = 6,3\Omega$	
$L_{ys} = 43,067mH$	$L_y = 40,107mH$
$L_{mn} = 0,4212H$	
$J_m = 0,00442kgm^2$	

## **Prilog 2. Parametri motora TYP IEC80T4 0.75**

3MOT	$\Delta 220/Y380V$
3,7/2,12 A	0.75kW
$\cos j = 0,71$	1410 o/min
50 Hz	

$R_s = 10.4 \Omega$	
$R_r = 11.6 \Omega$	
$L_{ys} = 22 mH$	$L_y = 22 mH$
$L_{mn} = 0,557H$	
$J_m = 0,0008316 kgm^2$	

## LITERATURA

- [1] S. N. Vukosavić: *Projektovanje adaptivnog mikroprocesorskog upravljanja brzinom i pozicijom asinhronog motora*, doktorska disertacija, Univerzitet u Beogradu, 1989.
- [2] V. Vučković: *Električni pogoni*, Elektrotehnički fakultet Beograd, 1997.
- [3] V. Vučković: *Opšta teorija električnih mačina*, Nauka, Beograd 1992.
- [4] Timothy J. Ross: *Fuzzy Logic with Engineering Applications*, McGraw-Hill, Inc., 1995.
- [5] Daniel W. Hart: *Introduction of Power Electronics*, Prantice-Hall International, 1997.
- [6] Latinka ] alasan i Menka Petkovska, *MATLAB i dodatni moduli Control Sistem Toolbox i Simulink*, Mikro knjiga, Beograd 1995.
- [7] Gradimir V. Milovanović, *Numerička analiza I deo*, Naučna knjiga, Beograd, 1985.
- [8] Milić R. Stojić, *Digitalni sistemi upravljanja*, Nauka, Beograd, 1994.
- [9] S. N. Vukosavić: "Present Trends in Controlled Electrical Drives", *Jugoslovenska konferencija ETRAN-a*, pp.1-11, Vrnjačka Banja 1998.
- [10] L. Matić: *Razvoj algoritma za minimizaciju snage gubitaka elektromotornog servopogona sa asinhronim motorom*, magistarski rad, Elektrotehnički fakultet u Beogradu, 1999.
- [11] Vladan R. Dimitrijević: *Estimator brzine obrtanja indupcionog motora zasnovan na merenju struje međukola pogonskog pretvarača snage*, magistarski rad, Elektrotehnički fakultet Beograd, 1998.
- [12] F. Abrahamsen, J. K. Pedersen, F. Blaabjerg: "State-of-Art of Optimal Efficiency Control of Low Cost Induction Motor Drives", *Proceedings of PESC'96*, pp. 920-924, 1996.
- [13] Gilberto C. D. Sousa, Bimal K. Bose and John G. Cleland, "Fuzzy Logic Based On-Line Efficiency Optimization Control of an Indirect Vector Controlled Induction Motor Drive", *IEEE Transaction on Industrial Electronics*, Vol. 42, No.2, pp. 192-198, April 1995.

- [14] Bimal K. Bose, N. R. Patel, K. Rajashekara, "A Neuro Fuzzy Based On-Line Efficiency Optimization Control of a Stator Flux Oriented Direct Vector Controlled Induction Motor Drive", *IEEE Transaction on Industrial Electronics*, Vol. 44, No.2, pp. 270-273, April 1997.
- [15] Li Zheng and Longya Xu, "On-Line Fuzzy Tuning of Indirect Field Oriented Induction Machine Drives", *IEEE Transaction on Power Electronics*, Vol. 13, No.1, pp. 134-141, January 1998.
- [16] Vijay V. Deshpande and Seshagiri Rao Doradla, "A Detailed Study of Losses in the Reduced Voltage Resonant Link Inverter Topology", *IEEE Transaction on Power Electronics*, Vol. 13, No.2, pp. 337-344, March 1998.
- [17] Ali Yazdian-Varjani, Sarah Pereira and Joe F. Chicharo, "A Centroid PWM Switching Technique for Full-Bridge Inverter Applications", *IEEE Transaction on Power Electronics*, Vol. 13, No.1, pp. 115-124, January 1998.
- [18] Ahmet M. Hava, Russel J. Kerkman and Thomas A. Lipo, "Simple analytical and Graphical Methods for Carrier-Based PWM-VSI Drives", *IEEE Transaction on Power Electronics*, Vol. 14, No.1, pp. 49-61, January 1999.
- [19] Mihai Puiu-Berezintu, Dan Rotar, "Efficiency Increase Within the Inverter-Induction Motor System by the Slip Optimization", X Simpozijum Energetska elektronika Ee'99, Novi Sad, pp.261-266, Oktobar 1999.
- [20] Thomas G. Wilson, "The Evolution of Power Electronics", *IEEE Transaction on Power Electronics*, Vol.15, No.3, pp.439-446, May 2000.
- [21] Heung G. Kim, Seung K. Sul, Min H. Park: "Optimal Efficiency Drive of a Current Source Invereter Fed Induction Motor by Flux Control", *IEEE Transactions on Industry Applications*, Vol.IA-20, No.2, pp.1453-1459, November/December 1984.
- [22] H. R. Andersen, J. K. Pedersen: "Low Cost Energy Optimized Control Strategy for a VariableSpeed Three-Phase Induction Motor", *Proceedings of PESC'96*, pp. 920-924, 1996.
- [23] T. Hatanaka, N. Kuwahara: "Method and Apparatus for Controlling the Supply of Power to an Induction Motor to Maintain High Efficiency Under Varying Load Conditions", U.S. Patent 5 241 256, Aug. 31, 1993.
- [24] J. K. Pedersen, F Blaabjerg: "An Electrical Car Drive System Using an Energy-Optimized Control Strategy Based on an AC-machine and a Microcontroller", *Proceedings of the 11<sup>th</sup> International Electrical Vehicle Symposium*, pp.12.031-1203.13, 1992.

- [25] P. Thogersen, M. Tonnes, U Jeger, S. E. Nielsen: “New High Performance Vector Controlled AC Drive with Automatic Energy Optimizer”, *Proceedings of EPE’95*, Vol.3, pp.381-386, 1995.
- [26] Stephen Williamson, Roy G. Cann: “A Comparasion of PWM Switching Strategies on the Basis of Drive System Efficiency”, *IEEE Transaction on Industry Applications*, Vol.IA-20, No.6, pp.1460-1472, November/December 1984.
- [27] Gilberto C. D. Sousa and Bimal K. Bose: “A Fuzzy Set Theory Based Control of a PhaseControlled Converter DC Machine Drive”, *IEEE/Industrial Application Society Annual Meeting Conference*, pp.854-861, 1991.
- [28] Branko L. Dokic}: *Energetska elektronika*, Glas srpski i Elektrotehni~ki fakultet u Banjaluci, Banja luka 2000.
- [29] Emmanuele Cerruto, Alfio Consoli, Angelo Raciti and Antonio Testa: ”Fuzzy Adaptive Vector Control of Induction Motor Drives”, *IEEE Transaction on Power Electronics*, Vol.12, No.6, pp.1028-1039, Novemeber 1997.
- [30] A. Barazzouk, A. Cheriti and G. Olivier: “A Neural Networks Based Field Oriented Control Scheme for Induction Motors”, *IEEE Industry Applications Society Annual Meeting*, New Orleans, October 5-9, 1997.
- [31] Jinhwan Jung and Kwanghee Nam: “A Dinamic Decoupling Control Scheme for High Speed Operation of Induction Motors”, *IEEE Transaction on Industrial Electronics*, Vol.46, No.1, pp.100-108, February 1999.
- [32] Benoit Robyns, Frederique Berthreau, Jaun Paul Hautier and Herve Buyse: ”A Fuzzy logic Based Multimodel Field Orintation in an Indirect FOC of an Induction Motor”, *IEEE Transaction on Industrial Electronics*, Vol.47, No.2, pp.380-388, April 2000.
- [33] Marek J. Patyra, Janos L. Granter and Kirby Koster: ”Digital Fuzzy Logic Controller: Design and Implementation“, *IEEE Transaction on Fuzzy Systems*, Vol.4, No.4, pp.439-459, November 1996.
- [34] Alfredo Munoz and Thomas A. Lipo, “On-Line Dead-Time Compensation Technique for Open-Loop PWM-VSI Drives”, *IEEE Transaction on Power Electronics*, Vol.14, No.4, pp.683-689, July 1999.
- [35] Alexander Domijan, Dariusz Czarkowski and J. Herbert Johnson: “Power Mesurement of Variable Speed Motors”, *IEEE IAS Annual Meeting*, New Orleans, LA, 1997.
- [36] Lotfi A. Zadeh: “Fuzzy Logic=Computing with Words”, *IEEE Transaction on Fuzzy Systems*, Vol.4, No.2, pp.103-111, May 1996.

- [37] Susumu Tadakuma, Shigeru Tanaka, Haruo Naitoh and Kazuo Shimane: “Improvement of robustness of Vector-Controlled Induction Motors Using Feedforward and Feedback Control”, *IEEE Transaction on Power Electronics*, Vol.12, No.2, pp.221-226, March 1997.
- [38] Seung Ki Sul and Min Ho Park: “A Novel Technique for Optimal Efficiency Control of Current-Source Inverter Fed Induction Motor”, *IEEE Transaction on Power Electronics*, Vol.3, No.2, pp.192-199, April 1988.
- [39] Iordanis Kioskeridis and Nikos Margaris: “Loss Minimization in Scalar-Controlled Induction Motor Drives with Search Controllers”, *IEEE Transaction on Power Electronics*, Vol.11, No.2, pp.213-220, March 1996.
- [40] *MATLAB<sup>TM</sup>: User guide*, The MATH WORKS , Natick, 1994.
- [41] *SIMULINK<sup>TM</sup>: User guide*, The MATH WORKS , Natick, 1994.
- [42] *FUZZY LOGIC TOOLBOX<sup>TM</sup>: User guide*, The MATH WORKS , Natick, 1994.
- [43] *Floating-Point Controller Board, DS1102 User's guide*, dSPACE digital signal processing and control engineering GmbH, 1996.
- [44] *Installation and Configuration Guide, DS1102 DSP Controller Board*, dSPACE digital signal processing and control engineering GmbH, May 1999.
- [45] *MLIB/MTRACE MATLAB-dSPACE Interface Libraries*, dSPACE digital signal processing and control engineering GmbH, May 1999.
- [46] *ControlDesk Experiment Guide*, dSPACE digital signal processing and control engineering GmbH, May 1999.
- [47] *Real Time Interface (RTI and RTI-MP) Implementation Guide*, dSPACE digital signal processing and control engineering GmbH, May 1999.